

**STUDI ANALISA PENYEIMBANGAN BEBAN PADA
PENYULANG KBL05 PADA GARU INDUK KALIBAKAL
UNTUK PERBAIKAN SUSUT TEKNIS DAN TEGANGAN
PELAYANAN MENGGUNAKAN ETAP 12.6**

LAPORAN TUGAS AKHIR

Laporan ini disusun untuk memenuhi salah satu
Syarat memperoleh Gelar S1 pada Prodi Teknik Elektro
Fakultas Teknologi Industri Universitas Islam Sultan Agung Semarang



OLEH :

PRARIARGA MAOLANA

30601401653

**PROGRAM STUDI TEKNIK ELEKTRO
FAKULTAS TEKNOLOGI INDUSTRI
UNIVERSITAS ISLAM SULTAN AGUNG
SEMARANG
2021**

**ANALISIS STUDY OF LOAD BALANCED ON FEEDER KBL05
AT KALIBAKAL SUBSTATION FOR TECHNICAL LOSS AND
SERVICE VOLTAGE REPAIR USE ETAP 12.6**

Proposed to complete the requirement to obtain a bachelor's degree (S1) at Departement of Electrical Engineering, Faculty of Industrial Technology, Universitas Islam Sultan Agung



OLEH :

PRARIARGA MAOLANA

30601401653

DEPARTEMENT OF ELECTRICAL ENGINEERING

FACULTY OF INDUSTRIAL TECHNOLOGY

UNIVERSITAS ISLAM SULTAN AGUNG

SEMARANG

2021

LEMBAR PENGESAHAN BIMBINGAN

Laporan Tugas Akhir dengan judul "**STUDI ANALISA PENYEIMBANGAN BEBAN PADA PENYULANG KBL05 PADA GARU INDUK KALIBAKAL UNTUK PERBAIKAN SUSUT TEKNIS DAN TEGANGAN PELAYANAN MENGGUNAKAN ETAP 12.6**" ini disusun oleh :

Nama : Prariarga Maolana

NIM : 30601401653

Program Studi : Teknik Elektro

Telah disahkan oleh dosen pembimbing pada :

Hari : Senin

Tanggal : 13 Desember 2021

Pembimbing I


Ir. Ida Widiastuti, M.T.
NIDN : 0005036501

Pembimbing II


Gunawan, S.T., M.T.
NIDN : 0607117101

Mengetahui

Ketua Program Studi Teknik
Elektro



Jenny Putri Hapsari, S.T., M.T.
NIDN : 0607018501

LEMBAR PENGESAHAN PENGUJI

Laporan Tugas Akhir dengan judul “**STUDI ANALISA PENYEIMBANGAN BEBAN PADA PENYULANG KBL05 PADA GARDU INDUK KALIBAKAL UNTUK PERBAIKAN SUSUT TEKNIS DAN TEGANGAN PELAYANAN MENGGUNAKAN ETAP 12.6**” Telah dipertahankan didepan Dosen Penguji Tugas Ahir :

Hari : Senin

Tanggal : 13 Desember 2021

TIM PENGUJI

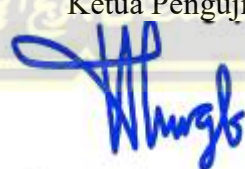
Anggota 1


Ir. Agus Adhi Nugroho, M.T.
NIDN. 0628086501

Anggota 2


Agus Suprajitno, S.T., M.T.
NIDN. 0602047301

Ketua Penguji


Dedi Nugroho, S.T., M.T.
NIND. 0617126602

SURAT PERNYATAAN KEASLIAN

Yang bertanda tangan dibawah ini :

Nama : Prariarga Maolana

NIM : 30601401653

Judul Tugas Akhir : **STUDI ANALISA PENYEIMBANGAN BEBAN**

PADA PENYULANG KBL05 PADA GARUD

INDUK KALIBAKAL UNTUK PERBAIKAN

SUSUT TEKNIS DAN TEGANGAN PELAYANAN

MENGGUNAKAN ETAP 12.6

Dengan bahwa ini saya menyatakan bahwa judul dan isi Tugas Akhir yang saya buat dalam rangka menyelesaikan Pendidikan Strata Satu (S1) Teknik Elektro tersebut adalah asli dan belum pernah diangkat, ditulis ataupun dipublikasikan oleh siapapun baik keseluruhan maupun sebagian, kecuali yang secara tertulis diacu dalam naskah ini dan disebutkan dalam daftar pustaka, dan apabila dikemudian hari ternyata terbukti bahwa judul Tugas Akhir tersebut pernah diangkat, ditulis ataupun dipublikasikan, maka saya bersedia dikenakan sanksi akademis. Demikian surat pernyataan ini saya buat dengan sadar dan penuh tanggung jawab.

Semarang, 12 April 2021

Yang Menyatakan



Prariarga Maolana

PERNYATAAN PERSETUJUAN PUBLIKASI KARYA ILMIAH

Yang bertanda tangan dibawah ini :

Nama : Prariarga Maolana
NIM : 30601401653
Program Studi : Teknik Elektro
Fakultas : Teknologi Industri
Alamat Asal : Perum Griya Mukyi Indah Blok D 111 Desa Kecepak
Kec Batang Kab Batang

Dengan ini menyatakan Karya Ilmiah berupa tugas Ahir dengan judul : **STUDI ANALISA PENYEIMBANGAN BEBAN PADA PENYULANG KBL05 PADA GARDU INDUK KALIBAKAL UNTUK PERBAIKAN SUSUT TEKNIS DAN TEGANGAN PELAYANAN MENGGUNAKAN ETAP 12.6.**

Menyetujui menjadi hak milik Universitas Islam Sultan Agung serta memberikan Hak bebas Royalti Non-Eksklusif untuk disimpan, dialihmediakan, dikelola dan pangkalan data dan dipublikasikan diinternet dan media lain untuk kepentingan akademis selama tetap menyantumkan nama penulis sebagai pemilik hak cipta. Pernyataan ini saya buat dengan sungguh-sungguh. Apabila dikemudian hari terbukti ada pelanggaran Hak Cipta/Plagiatisme dalam karya ilmiah ini, maka segala bentuk tuntutan hukum yang timbul akan saya tanggung secara pribadi tanpa melibatkan Universitas Islam Sultan Agung.

Semarang, 12 Juni 2021

Yang Menyatakan

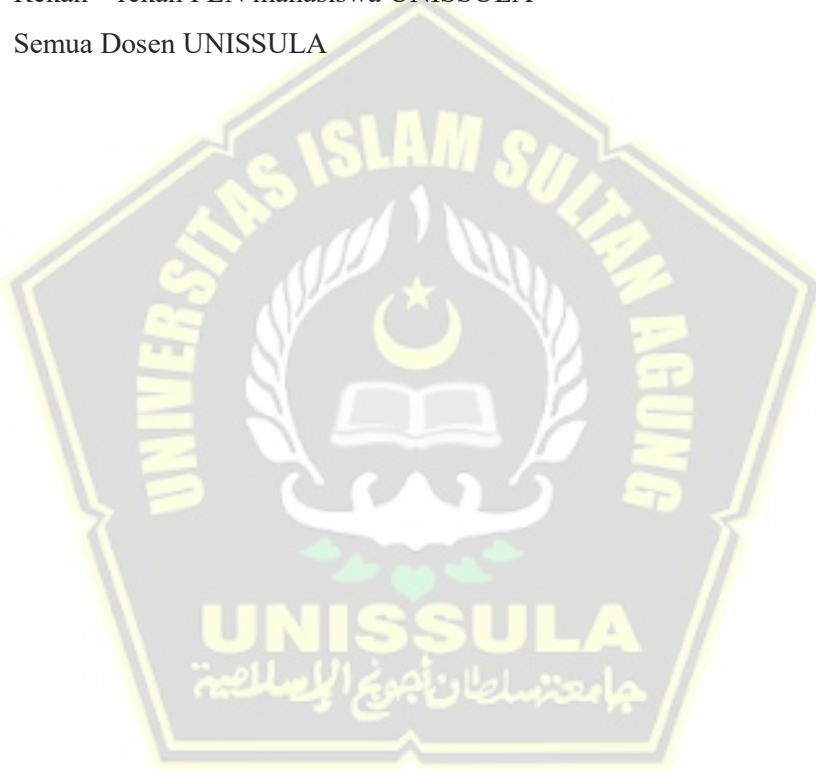


Prariarga Maolana

HALAMAN PERSEMPAHAN

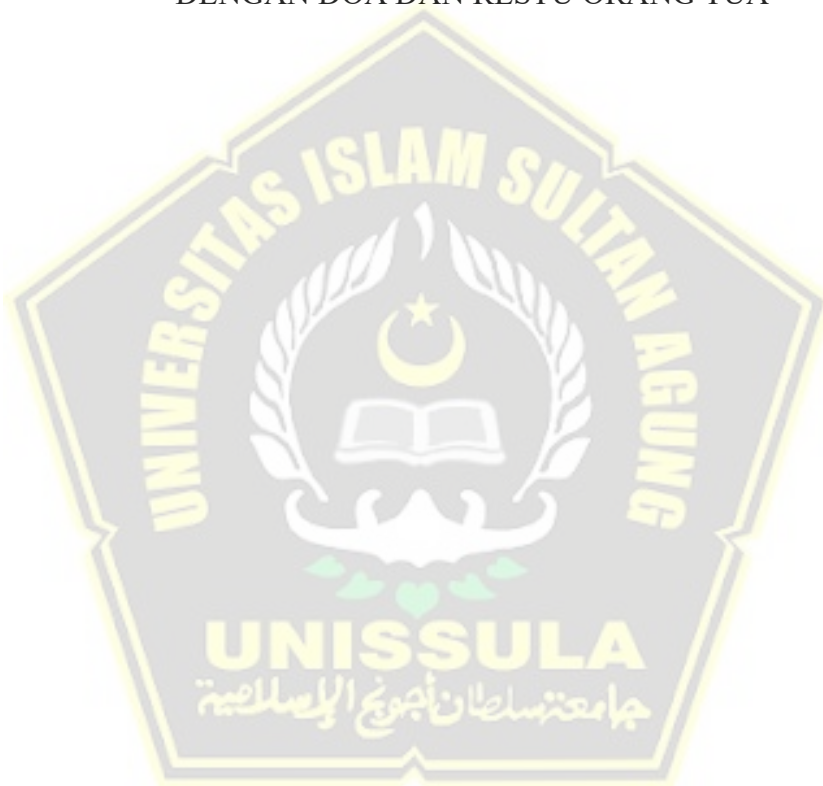
Skripsi ini saya persembahkan kepada :

- a) Kedua orang tua tercinta
- b) Wulan Maysari dan Ketiga Anak Saya (Safira , Kanta dan Lana)
- c) Rekan – rekan PLN mahasiswa UNISSULA
- d) Semua Dosen UNISSULA



MOTO

SEMANGAT BERJUANG PANTANG MENYERAH TIDAK LUPA DIIRINGI
DENGAN DOA DAN RESTU ORANG TUA



KATA PENGANTAR

Segala puji dan syukur penulis panjatkan ke hadirat Allah SWT, berkat hidayah dan rahmatNya akhirnya penulis mampu menyelesaikan Skripsi ini. Skripsi ini disusun guna memenuhi syarat mencapai derajat Sarjana Teknik pada Jurusan Teknik Elektro di Universitas Islam Sultan Agung Semarang.

Skripsi ini tidak mungkin dapat terselesaikan tanpa bantuan dari banyak pihak. Maka pada kesempatan ini penulis menghaturkan terima kasih sebesar-besarnya kepada :

1. Ibu Dr. Ir. Novi Marlyana, S.T., M.T., selaku Dekan Fakultas Teknologi Industri Universitas Islam Sultan Agung Semarang.
2. Ibu Jenny Putri Hapsari, S.T., M.T., selaku Ketua Jurusan Teknik Elektro
3. Ibu Ir. Ida Widi hastuti, S.T., M.T., selaku Dosen Pembimbing I skripsi.
4. Bapak Gunawan, S.T., M.T., selaku Dosen Pembimbing II skripsi.
5. Seluruh Jajaran dosen dan Staf Universitas Islam Sultan Agung Semarang.
6. Keluarga Pegawai PT PLN (Persero) Unit Layanan Pelanggan Purwokerto Kota, yang telah memberikan ijin untuk melakukan penelitian tugas Ahir..
7. Kawanku yang tidak bisa disebut satu persatu, yang telah banyak membantu dalam motivasi untuk menyelesaikan skripsi ini.

Penulis menyadari bahwa skripsi ini masih mempunyai banyak kekurangan. Kritik dan saran sangat penulis harapkan demi perbaikan dan penyempurnaan skripsi ini. Akhir kata, penulis berharap semoga laporan ini dapat bermanfaat bagi pembaca dan bagi perkembangan ilmu pengetahuan.

Semarang , 30 Oktober 2021



Prariarga Maolana

DAFTAR ISI

HALAMAN JUDUL.....	i
HALAMAN JUDUL.....	ii
LEMBAR PENGESAHAN BIMBINGAN	i
LEMBAR PENGESAHAN PENGUJI	ii
SURAT PERNYATAAN KEASLIAN.....	iii
PERNYATAAN PERSETUJUAN PUBLIKASI KARYA ILMIAH	iv
HALAMAN PERSEMPAHAN	v
MOTO	vi
KATA PENGANTAR	vii
DAFTAR ISI.....	viii
DAFTAR GAMBAR	xi
DAFTAR TABEL.....	xiii
BAB I PENDAHULUAN.....	1
1.1 Latar Belakang	1
1.2 Perumusan Masalah.....	2
1.3 Pembatasan Masalah	2
1.4 Tujuan.....	3
1.5 Manfaat.....	3
1.6 Sistematika Penulisan.....	4
BAB 2 TINJAUAN PUSTAKA DAN LANDASAN TEORI	6
2.1 Tinjauan Pustaka	6

2.2	Landasan Teori	8
2.2.1	Sistem Distribusi	8
2.2.2	Peralatan Sistem Distribusi	16
2.2.3	Trafo Tenaga	18
2.2.4	OLTC (On Load Tap Changer).....	20
2.2.5	Konduktor Pada Sistem 20 kV.....	23
2.2.6	Ketidak Seimbangan Beban	25
2.2.7	Arus Netral Beban Tidak Seimbang	26
2.2.8	Penyaluran dan Susut Daya.....	28
2.2.9	Perhitungan dan Rugi Rugi Penyulang.	29
2.2.10	Tegangan Jatuh atau Drop Voltage.....	32
2.2.11	Persamaan Aliran Daya.....	34
2.2.12	Metode Perhitungan Aliran Daya.....	36
2.2.13	ETAP Power Station 12.6	38
BAB 3	METODE PENELITIAN	41
3.1	Tempat dan Waktu Penelitian	41
3.2	Metode Penelitian.....	41
3.3	Alur penelitian.....	43
BAB 4	HASIL dan PEMBAHASAN.....	45
4.1	Data Pembebanan GI Kalibakal	45
4.2	Single Line Diagram KBL05	46
4.3	Perhitungan Arus Netral KBL05	46
4.4	Jaringan Distribusi Penyulang KBL05	48

4.5	Pemodelan Single Line Pada Program ETAB.....	48
4.6	Hasil Simulasi Susut Daya	64
4.7	Hasil Simulasi Drop Tegangan.....	71
4.8	Perbandingan Data Sebelum dan Sesudah Penyeimbangan Beban.....	76
BAB 5	KESIMPULAN	78
5.1	Kesimpulan.....	78
5.2	Saran	78
	DAFTAR PUSTAKA	79



DAFTAR GAMBAR

Gambar 2.1 Komponen penyusun sistem distribusi [5].....	9
Gambar 2.2 Pembagian/Pengelompokan Jaringan Distribusi Tenaga Listrik [5].....	11
Gambar 2.3 Sistem Jaringan Distribusi Radial [6]	12
Gambar 2.4 Sistem Jaringan Distribusi Loop [6]	13
Gambar 2.5 Sistem Jaringan Distribusi Loop [6]	14
Gambar 2.6 Hubungan Tegangan Menengah ke.....	14
Gambar 2.7 Trafo Tenaga 150 kV / 20 kV GI Kalibakal.....	18
Gambar 2.8. Komponen / Bagiam – Bagian OLTC.....	22
Gambar 2.9. Konduktor AAAC	23
Gambar 2.10. Kabel NA2XSEYBY 3x240mm ²	24
Gambar 2.11. Vektor Diagram Arus [8]	26
Gambar 2.12. Segitiga Daya.....	29
Gambar 2.13 Persamaan Daya Semu terhadap daya Aktif dan Reaktif.....	30
Gambar 2.14 Persamaan Daya terhadap Arus dan Tegangan	31
Gambar 2.15. Rangkaian <i>ekivalen</i> distribusi listrik	33
Gambar 2.16 Persamaan Impedansi terhadap Resistansi dan Reaktansi	33
Gambar 3.1 Diagram alir penelitian.....	44
Gambar 4.1 <i>Single line</i> diagram Gardu Induk Kalibakal	46
Gambar 4.2 Diagram Vektor Arus 3 Phasa.....	46
Gambar 4.3 <i>Power Grid Editor</i>	49
Gambar 4.4 Simbol <i>Power Grid</i>	49
Gambar 4.5 Tranformator Rating.....	50
Gambar 4.6 <i>Tranformator Rating</i>	51
Gambar 4.7 Simbol <i>Tranformator</i>	51
Gambar 4.8 Cable impedance Editor	52
Gambar 4.9 Data Panjang Kawat Penghantar	53
Gambar 4.10 2 <i>Winding Trafo Editor</i>	54
Gambar 4.11 <i>Load Editor</i> (3 Phasa)	55

Gambar 4.12 Load Editor (1 Phasa)	56
Gambar 4.13 Langkah menjalankan program <i>Unbalanced Load Flow Analysis</i>	57
Gambar 4.14 Hasil <i>running</i> sebelum pemerataan beban	58
Gambar 4.15 Taping 1 Phasa 20 kV	60
Gambar 4.16 Sambungan Trafo 1 Phasa Pada Jalur Utama 20 kV.....	62
Gambar 4.17 Hasil Running Unbalanced Load Analysis	65
Gambar 4.18 Unbalanced Load Flow Manager KBL05 Existing.....	66
Gambar 4.19 Lump Load Editor	70
Gambar 4.20 Hasil Running Unbalanced Load Analysis 2	70
Gambar 4.21 Pembebanan Pangkal KBL05 Kondisi Eksisting	72
Gambar 4.22 Tegangan Pangkal KBL05 Kondisi Eksisting.....	73
Gambar 4.23 Tegangan Ujung KBL05 Kondisi Eksisting.....	73
Gambar 4.24 Pembebanan Pangkal KBL05 Kondisi Rencana	74
Gambar 4.25 Tegangan Pangkal KBL05 Kondisi Rencana.....	75
Gambar 4.26 Tegangan Ujung KBL05 Kondisi Rencana.....	75
Gambar 4.27 Perbandingan Drop Tegangan.....	77
Gambar 4.28 Perbandingan Susut Teknis sebelum dan sesudah penyeimbangan	77



DAFTAR TABEL

Tabel 2.1. Tahanan (R) dan reaktansi (XL) Penghantar AAAC 20 kV [7]	24
Tabel 2.2. Tahanan (R) dan reaktansi (XL) penghantar NA2XSEYBY (IEC. 502)	25
Tabel 4.1 Pembebanan GI Kalibakal 01 Juni 2021.....	45
Tabel 4.2 Spesifikasi Trafo Tenaga	52
Tabel 4.3 Namplate Trafo CSP 1 Phasa.....	54
Tabel 4.4 Namplate Trafo Distribusi 3 Phasa.....	55
Tabel 4.5 Pengukuran Taping 1 Phasa 20 kV	59
Tabel 4.6 Sambungan Phasa dan Pengukuran Trafo CSP pada Jalur Utama.....	60
Tabel 4.7 Beban Pelanggan 3 Phasa	62
Tabel 4.8 Ketidakseimbangan beban KBL05	64
Tabel 4.9 Branch Losses Summary Report KBL 05 Existing.....	66
Tabel 4.10 <i>Summay of Total Generation , loading & Demand</i>	67
Tabel 4.11 Rencana Pemindahan Beban Trafo CSP	69
Tabel 4.12 Rencana Pemindahan Beban Jaringan 1 Phasa	69
Tabel 4.13 Ketidakseimbangan Beban Per Section	70
Tabel 4.14 Summary of total Generation , loading & Demand 2	71
Tabel 4.15 : Tabel Perbandingan Sebelum dan Sesudah Rencana Penyeimbangan Beban.....	76
Tabel 4.16 Perbandingan Drop Tegangan.....	76
Tabel 4.17 Perbandingan Susut Teknis sebelum dan sesudah penyeimbangan.....	77

BAB I PENDAHULUAN

1.1 Latar Belakang

Sistem Tenaga listrik yang dikelola PLN merupakan Sistem Interkoneksi dimana masing-masing Pembangkit terhubung dalam Jaringan Transmisi 500 kV dan ditransformasikan menjadi Beberapa Subsistem 150 kV. Tegangan menjadi salah satu parameter pelayanan PLN dalam melayani konsumen. Sistem 150 kV di jawa tengah terbagi menjadi 5 Subsistem. Dalam subsitem ini terdapat beberapa Gardu induk 150 kV sebagai Pusat Pembagi beban dan Transformasi tegangan dari tegangan 150 kV menjadi tegangan pelayanan baik pada tegangan Menengah atau tegangan Rendah. Fluktuasi tegangan 150 kV pada Jaringan transmisi dapat diantisipasi oleh OLTC Trafo Tenaga dimana Tegangan keluaran akan senantiasa dijaga pada seting Center Tap sebesar 20,5 kV. Gardu Induk Kalibakal adalah Gardu Induk Pada Subsistem Jawatengah bagian Selatan. Total Kapasitas Trafo GI Kalibakali adalah 230 MVA dengan Persentase pembebanan sebesar 79 MVA dengan persentase pembebanan 34.3 % dan Panjang Jaringan 228,03 kms, dengan daerah cakupan layanan Kabupaten Banyumas dan Sekitarnya.

Dari hasil Pembacaan Tegangan Pelayanan pada Tegangan Ujung ditemukan perbedaan Tegangan secara Linier pada Penyalur KBL05 dengan besar masing masing phasa 10,93 kV , 11,19 dan 10,21 kV. dengan Tegangan Terendah di Phasa T yaitu 10,21 kV. Sesuai SPLN 72 Tahun 1987 pasal 19 ayat 1 batas bawah tegangan yang diijinkan untuk Jaringan Distribusi Tegangan menengah sebesar 5% untuk JTM dengan konfigurasi radial [1] . Tegangan pada Phasa T turun seberar 11,51 % dari tegangan nominal 1 Phasa yaitu 11,54 kV. Angka tersebut melewati batas tegangan standar pelayanan.

Munculnya arus netral pada masing masing penyulang sebagai dampak ketidakseimbangan pembebanan Jaringan Tegangan Menengah , dengan besaran terendah 5,6 A dan tertinggi 63,79 A dengan persentase ketidakseimbangan beban 12,4%. Ketidakseimbangan beban pada penyulang KBL 05 melebihi standard IEC ketidak seimbangan beban yang diijinkan adalah 5% dengan Kondisi diatas maka perlu dilakukan Studi dengan Judul “ANALISA PENYEIMBANGAN BEBAN PADA PENYULANG KBL05 PADA GARDU INDUK KALIBAKAL UNTUK PERBAIKAN SUSUT TEKNIS DAN TEGANGAN PELAYANAN MENGGUNAKAN ETAB 12.6 “.

1.2 Perumusan Masalah

Berdasarkan latar belakang masalah diatas, maka dapat dirumuskan beberapa masalah dalam tugas akhir ini adalah:

1. Bagaimana dampak ketidakseimbangan beban terhadap Arus netral pada system 3 Phasa 4 Kawat ?
2. Bagaimana dampak ketidakseimbangan beban dan Impedansi Jaringan Penyulang KBL05 terhadap susut Jaringan ?
3. Bagaimana dampak ketidakseimbangan beban dan Impedansi Jaringan Penyulang KBL05 terhadap Drop Tegangan ?
4. Apakan Penyeimbangan Beban dapat memperbaiki Susut Teknis dan Drop Tegangan ?

1.3 Pembatasan Masalah

Adapun batasan masalah yang diambil adalah sebagai berikut :

1. Tugas akhir ini berdasarkan observasi lapangan pada tegangan GI Kalibakal Trafo 3 60 MVA pada Penyulang KBL05

2. Pengambilan data Load Profile dan Realtime Pembebanan pada KWH Meter Trafo 3 GI Kalibakal menggunakan Sistem AMR (Automatic Meter Reading)
3. Pengambilan data spesifikasi Aset dan Panjang Jaringan pada penyulang KBL05
4. Perhitungan dampak ketidak seimbangan beban dan Sifat beban pada jaringan terhadap susut Jaringan Tegangan menengah 20 kV.

1.4 Tujuan

Tujuan dari penelitian ini adalah

1. Mendapatkan hasil perhitungan susut teknis pada kondisi eksisting
2. Merencanakan penyeimbangan beban penyulang KBL5 dengan melakukan penataan ulang sambungan 1 phasa .
3. Rencana penyeimbangan beban tersebut akan dianalisa kembali dampak terhadap Tegangan Pelanayan dan Susut Teknis.
4. Mendapatkan Perbandingan Dampak susut Teknis dari Perubahan kondisi Pebebana yang seimbang menggunakan Aplikasi ETAP 12.6

1.5 Manfaat

Manfaat yang dapat diambil dari skripsi ini adalah mendapatkan perhitungan susut teknis pada Penyulang 20 kV . Implementasi perangkat lunak analisis aliran daya yang berupa ETAP untuk proses analisis merupakan manfaat teknologi. Sedangkan manfaat ekonomi adalah dengan diketahuinya nilai *losses* yang ditimbulkan akibat ketidakseimbangan beban, selanjutnya akan dapat dilakukan perbaikan *losses* yang terjadi pada jaringan 20 kV dengan metode pemerataan beban sehingga menjadikan sistem bekerja secara efektif.

1.6 Sistematika Penulisan

Untuk mempermudah melihat dan mengetahui pembahasan yang ada pada skripsi ini secara menyeluruh, maka perlu dikemukakan sistematika untuk memahami permasalahan pada Tugas Akhir dengan sistimatika sebagai berikut:

BAB I	PENDAHULUAN
	<p>Pada bab ini menjelaskan diantaranya, latar belakang, perumusan masalah, pembatasan masalah, tujuan penulisan, manfaat penulisan serta sistematika penulisan tugas akhir.</p>
BAB II	TINJAUAN PUSTAKA DAN LANDASAN TEORI.
	<p>Tinjauan Pustaka yang berisi Ringkassamn dari Jurnal .Landasam Teori diantaranya Sistem Distribusi, Peralatan Sistem Jaringan Distribusi, Koordinasi Proteksi ,Impedansi Hantaran Tegangan Menengahdan .Rumus rumas yang digunakan diantaranya Daya Listrik, Drop Tegangan, Susut Daya dan Software ETAP 12.6 untuk diguanakan dalam simulasi Perhitungan Drop Tegangan dan Susut Daya.</p>
BAB III	METODE PENELITIAN
	<p>Bab ini berisi tentang bagaimana metode / cara yang dipilih agar setiap rencana pada tujuan dapat dicapai. Data data Spesifikasi Peralatan Seperti Trafo Tenaga , Perlalatan Switching, Jenis dan diameter Konduktor dan Sigle line diagram didapatkan dari Data Aset PT. PLN (Persero) ULP Purwokerto Kota. Hasil Pengukuran diambil melalui Loog Book Pengukuran baik dari</p>

Pembacaan KWH Meter PLN atau Pengukuran Manual menggunakan Ampere Meter Tegangan Menengah. Kemudian Data Dimasukkan ke software ETAP 12.6 dan dianalisa Load Flownya.

BAB IV

HASIL dan PEMBAHASAN

Berisi bagaimana proses Permasalahan Ketidakseimbangan beban diselesaikan dengan metode metode Penyeimbangan beban Perseception. Pengolahan data parameter parameter yang dimasukkan ke Aplikasi Etap 12.6. Sehingga Muncul Pembebanan masing masing Phasa pada setiap Section . kemudian dibuat Rencanan Pembagian Beban persection dan membuat Perbandingan Hasil Susut Teknis dan Drop Tegangan pada Penyulang KBL05 pada kondisi sebelum dan Sesudah Penyeimbangan beban.

BAB V

KESIMPULAN

Bab ini berisi kesimpulan dan saran dari seluruh penelitian yang telah dilakukan. Kesimpulan dapat dikemukakan masalah yang ada pada penelitian serta hasil dari penyelesaian penelitian yang bersifat analisis obyektif. Sedangkan saran berisi mencantumkan jalan keluar untuk mengatasi masalah dan kelemahan yang ada. Saran ini tidak lepas ditujukan untuk ruang lingkup penelitian.

BAB II TINJAUAN PUSTAKA DAN LANDASAN TEORI

2.1 Tinjauan Pustaka

Sistem distribusi merupakan salah satu sistem dalam tenaga listrik yang berperan menyalurkan tenaga listrik dari sumber daya sampai ke pusat - pusat beban. Jaringan distribusi dapat dibedakan menjadi jaringan distribusi primer dan sekunder. Jaringan distribusi primer adalah jaringan listrik yang dimulai dari sisi sekunder trafo pada Gardu Induk sampai ke sisi primer gardu distribusi. Jaringan distribusi primer biasa disebut Jaringan Tegangan Menengah (JTM) memiliki tegangan kerja 20 kV. Sedangkan jaringan distribusi sekunder atau Jaringan Tegangan Rendah (JTR) adalah jaringan listrik yang berasal dari sisi sekunder gardu distribusi sampai ke konsumen dengan tegangan kerja 220/380 V.

Dalam Jurnal yang ditulis oleh EKO PRASETIYO, berjudul “RUGI RUGI DAYA AKIBAT BEBAN TIDAK SEIMBANG PENYULANG 03 GARDU INDUK RAWALO”, menjelaskan pada jurnal penelitian ini mengenai ketidakseimbangan beban sering terjadi karena pembagian beban pada trafo distribusi yang tidak merata. Ketidakseimbangan beban akan mengakibatkan adanya arus pada penghantar netral untuk sistem tiga fasa - empat kawat yang mengakibatkan rugi daya akibat arus netral. Semakin besar ketidakseimbangan beban pada jaringan listrik, arus netral menjadi semakin besar [2].

Dalam Jurnal yang ditulis oleh Eko Hadiyanto , berjudul “REDUKSI DROP VOLTAGE PENYULANG JPR05 DAN JPR10” Dengan Pembangunan Penyulang Baru”. Penelitian ini menjelaskan mengenai drop tegangan berpotensi mengurangi kualitas penyaluran listrik pada penyulang tersebut sesuai Standar SPLN T6:001 2013 menyatakan “ Tegangan tertinggi dan terendah tidak boleh dari $\pm 10\%$ dari tegangan Sistem. Bila drop tegangan diluar

batas toleransi yang diijinkan akan berdampak pada pemborosan Energi listrik yang diproduksi dengan yang diterima. Dampak dari permasalahan tersebut mengakibatkan kerugian perusahaan penyedia listrik juga konsumen Energi Listrik. Pada Penyulang JPR05 dengan Drop Voltage 2,4 kV dan JPR10 sebesar 2,6 kV dari tegangan Sistem 20 kV salah satu cara untuk memperbaiki Drop Voltage pada permasalahan ini adalah dengan dengan membangun jaringan baru untuk mengurangi beban dan memperpendek Jarak [3]

Dalam Jurnal yang ditulis oleh Zidan Abdul Aziz , berjudul “PERHITUNGAN JATUH TEGANGAN PADA JTM DARI TBL 06 SAMPAI KE UJUNG DENGAN MENGGUNAKAN APLIKASI ETAP DI PT. PLN (PERSERO) UP3 SEMARANG”. Penelitian ini menjelaskan mengenai Pengaturan susut tegangan pada PT. PLN (Persero) UP3 Semarang guna menjaga kualitas suatu jaringan dan untuk meminimalisir kerugian yang terjadi akibat susut tegangan. Terdapat beberapa cara dalam memperbaiki susut atau mengurangi persentase susut tegangan salah satunya dengan menggunakan Tap Changer. Tap changer adalah alat perubah perbandingan transformasi untuk mendapatkan tegangan operasi sekunder yang lebih baik (diinginkan) dari tegangan jaringan / primer yang berubah-ubah. Tujuan penelitian ini adalah untuk menghitung besarnya susut tegangan dengan program etap dan bagaimana cara mengatasinya pada trafo menggunakan tap changer dan seperti apa pengaturan pada tap changer. Hasil dari pengamatan, pengujian dan persentase susut tegangan yang menggunakan etap 12.6 yang telah dilakukan adalah sebesar 2,17%. Angka itu masih termasuk batas toleransi susut tegangan yaitu dibawah 5%. Sehingga hasil susut tegangan pada penyulang masih baik dan tidak perlu dilakukan tapping pada tap changer karena masih terjaga keandalannya [4]

2.2 Landasan Teori

2.2.1 Sistem Distribusi

Sistem Distribusi merupakan bagian dari sistem tenaga listrik. Sistem distribusi ini berguna untuk menyalurkan tenaga listrik dari sumber daya listrik besar (Bulk Power Source) sampai ke konsumen [5].

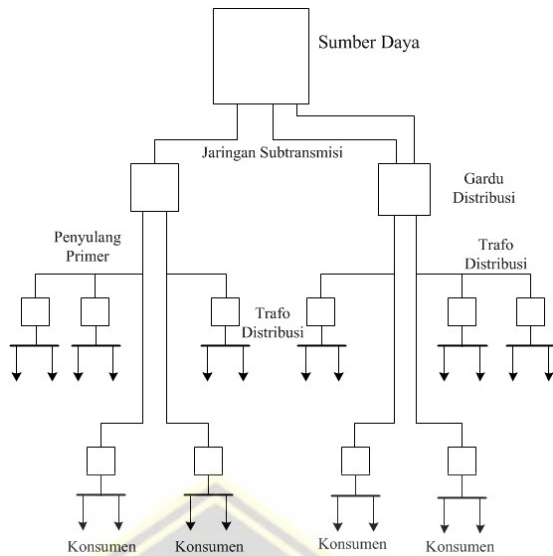
Jadi fungsi distribusi tenaga listrik adalah:

1. pembagian atau penyaluran tenaga listrik ke beberapa tempat (pelanggan)
2. merupakan sub sistem tenaga listrik yang langsung berhubungan dengan pelanggan.

Tenaga listrik yang dihasilkan oleh pembangkit tenaga listrik besar dengan tegangan dari 11 kV sampai 24 kV dinaikkan tegangannya oleh gardu induk dengan transformator penaik tegangan menjadi 70 kV, 154 kV, 220 kV atau 500 kV kemudian disalurkan melalui saluran transmisi. Tujuan menaikkan tegangan ialah untuk memperkecil kerugian daya listrik pada saluran transmisi, dimana dalam hal ini kerugian daya adalah sebanding dengan kuadrat arus yang mengalir ($I^2 \cdot R$).

Di Gardu Induk Tegangan dari Transmisi ditransformasikan menggunakan Trafo Tenaga menjadi Tegangan 20 kV dan didistribusikan melalui Jalur Jalur Penyulang 20kV . Kemudian tegangan 20 kV dibagikan ke telanggan – telanggan Industri atau daya diatas 200 kVA dan diterima Trafo Distribusi untuk didistribusikan ke konsumen tegangan rendah 220 V / 381 V.

Kemudian di alirkan melalui sistem jaringan tegangan rendah ke konsumen dengan bagan sebagai berikut.



Gambar 2.1 Komponen penyusun sistem distribusi [5]

Secara umum yang termasuk ke dalam sistem distribusi antara lain

a. Sumber Daya

Sumber daya mewakili sebuah jaringan yang memiliki daya besar yang kemudian akan disalurkan ke gardu distribusi utama.

b. Jaringan Subtransmisi

Jaringan Subtransmisi berfungsi untuk mengalirkan daya dari sumber daya listrik yang besar menuju gardu distribusi utama.

c. Gardu Distribusi Utama

Gardu distribusi merupakan unit dalam sistem distribusi yang berfungsi untuk menyalurkan daya dari GI atau dari jaringan subtransmisi untuk kemudian disalurkan kepada penyulang primer atau langsung kepada konsumen.

d. Saluran penyulang primer

Saluran penyulang primer berfungsi sebagai penghubung antara gardu distribusi utama dengan gardu transformator distribusi. Penyulang primer sistem distribusi di Indonesia umumnya menggunakan tegangan 20 kV.

e. Transformator distribusi

Transformator distribusi berfungsi untuk mengubah tegangan menengah (20 kV) menjadi tegangan rendah (220/380 V). kemudian daya dengan tegangan rendah disalurkan ke konsumen.

f. Rangkaian sekunder

Rangkaian sekunder merupakan rangkaian yang berasal dari transformator distribusi yang berfungsi melayani konsumen yang tersebar di seluruh jaringan distribusi.

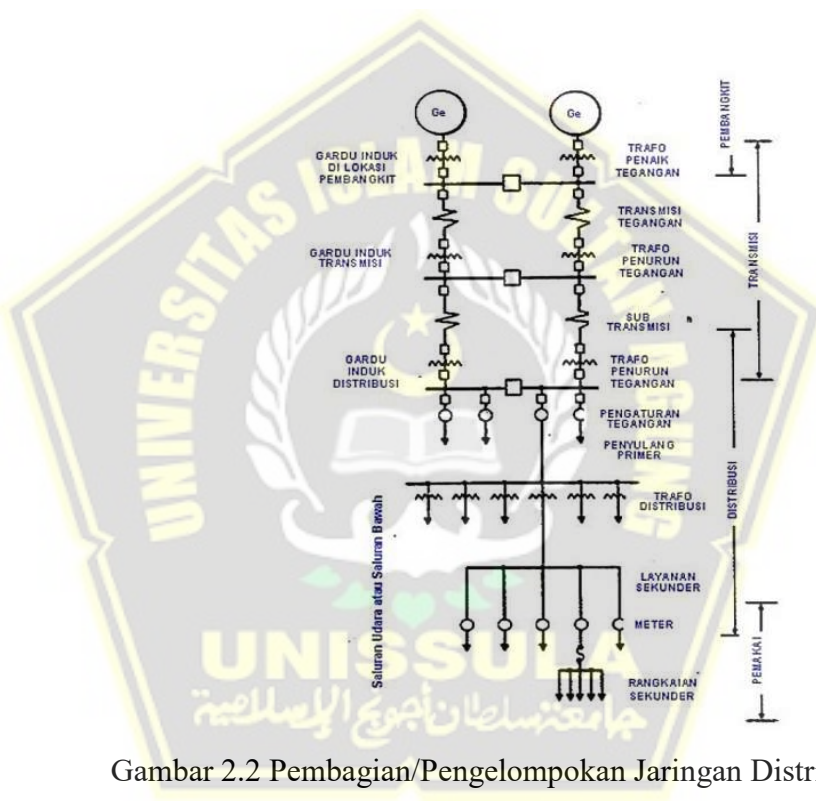
Instalasi Tenaga Listrik Secara Kesuruhan dibagi menjadi 4 Daerah, diantaranya.

- a. Daerah I : Bagian pembangkitan (Generation)
- b. Daerah II : Bagian penyaluran (Transmission), bertegangan tinggi (HV, UHV, EHV).
- c. Daerah III : Bagian distribusi primer, bertegangan menengah (6 atau 20 kV).
- d. Daerah IV: (Di dalam bangunan pada beban/konsumen), Instalasi, bertegangan rendah.

Berdasarkan pembatasan-pembatasan tersebut, maka diketahui bahwa porsi materi Sistem Distribusi adalah Daerah III dan IV, yang pada dasarnya dapat diklasifikasikan menurut beberapa cara, bergantung dari segi apa klasifikasi itu dibuat. Dengan demikian ruang lingkup Jaringan Distribusi adalah:

- a. SUTM, terdiri dari tiang dan peralatan kelengkapannya, konduktor dan peralatan perlengkapannya, serta peralatan pengaman dan pemutus.

- b. SKTM, terdiri dari kabel tanah, indoor dan outdoor termination, batu bata, pasir dan lain-lain.
- c. Gardu Trafo, terdiri dari transformator, tiang, pondasi tiang, rangka tempat transformator, LV panel, pipa-pipa pelindung, Arrester, kabel-kabel, peralatan grounding, dan lain-lain.
- d. SUTR, terdiri dari perlengkapan/ material yang sama yang terdapat pada SUTM dan SKTM. Yang membedakan hanya dimensinya.



Gambar 2.2 Pembagian/Pengelompokan Jaringan Distribusi Tenaga

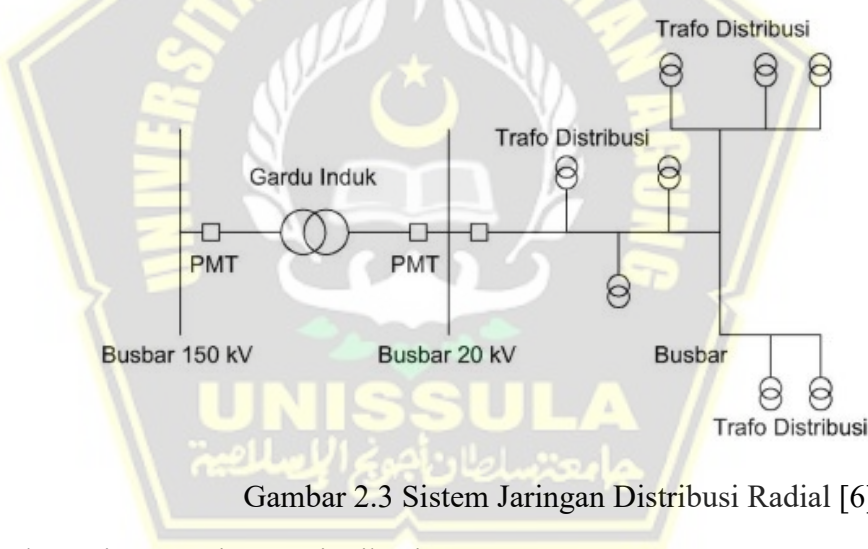
Listrik [5]

Jaringan listrik yang mendistribusikan Tegangan 20 kV . Terdiri dari Jaringan 3 Phasa dan Jaringan 1 Phasa. Jaringan distribusi primer berfungsi

menyalurkan daya listrik dan menjelajahi daerah asuhan ke gardu / transformator distribusi. Jaringan distribusi primer dilayani oleh gardu hubung atau langsung dari gardu induk atau dari pusat pembangkit. Berdasarkan konfigurasi jaringan, maka sistem jaringan distribusi ini dapat dikelompokan menjadi 3 (tiga) macam, yaitu sistem jaringan distribusi radial, loop dan spindel.

a. Sistem Jaringan Distribusi Radial.

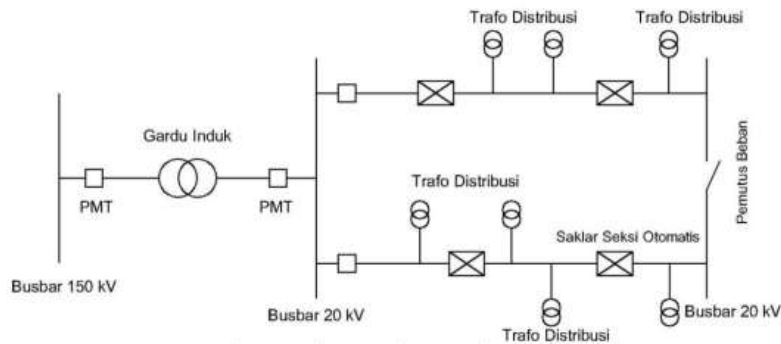
Termasuk konfigurasi jaringan yang simple dan banyak digunakan. Dinamakan radial karena saluran ini ditarik secara radial dari suatu titik yang merupakan sumber dari jaringan itu dan dicabang-cabangkan ke titik-titik beban yang dilayani, seperti terlihat pada gambar 2.3



Gambar 2.3 Sistem Jaringan Distribusi Radial [6]

b. Sistem Jaringan Distribusi Loop

Jaringan ini merupakan bentuk tertutup, disebut juga bentuk jaringan ring. Susunan rangkaian saluran membentuk ring, seperti terlihat pada gambar 2.4 yang memungkinkan titik beban terlayani dari dua arah saluran sehingga Kehandalan dan kualitas Penyaluran Energi listrik dapat lebih terjamin.



Gambar 2.4 Sistem Jaringan Distribusi Loop [6]

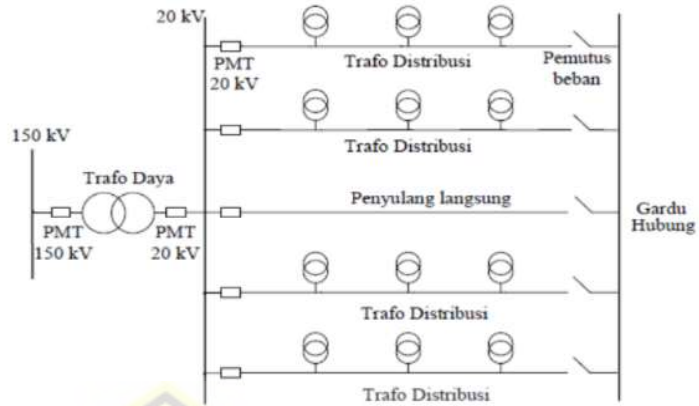
Bentuk sistem jaringan distribusi loop ini ada 2 macam yaitu :

- Bentuk open loop, bila dilengkapi dengan normally open switch yang terletak pada salah satu bagian gardu distribusi, dalam keadaan normal rangkaian selalu terbuka.
- Bentuk close loop, bila dilengkapi dengan normally close switch yang terletak pada salah satu bagian diantara gardu distribusi, dalam keadaan normal rangkaian selalu tertutup.

c. Sistem Jaringan Distribusi Spindel

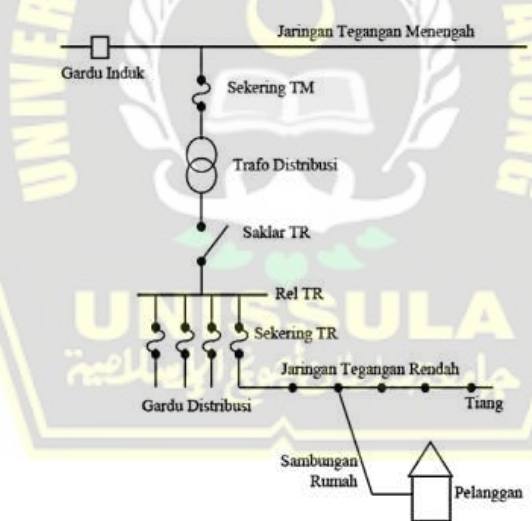
Jaringan distribusi spindel (seperti gambar 2.5) merupakan saluran kabel tanah tegangan menengah (SKTM) yang penerapannya sangat cocok di kota-kota besar. Sistem jaringan distribusi spindel sangat cocok untuk memenuhi kebutuhan - kebutuhan antara lain:

- Peningkatan keandalan atau kontinuitas pelayanan sistem.
- Menurunkan atau menekan rugi-rugi akibat gangguan.
- Sangat baik untuk menyuplai daerah beban yang memiliki kerapatan beban yang cukup tinggi, serta perluasan jaringan mudah dilakukan.



Gambar 2.5 Sistem Jaringan Distribusi Loop [6]

Sistem distribusi sekunder seperti pada Gambar 2.5 merupakan salah satu bagian dalam sistem distribusi, yaitu mulai dari gardu transformator sampai pada pemakai akhir atau konsumen.



Gambar 2.6 Hubungan Tegangan Menengah ke Tegangan Rendah dan Konsumen

Melihat letaknya, sistem distribusi ini merupakan bagian yang langsung berhubungan dengan konsumen, jadi sistem ini berfungsi menerima daya listrik dari sumber daya (transformator distribusi), juga akan mengirimkan serta mendistribusikan daya tersebut ke konsumen. mengingat bagian ini berhubungan langsung dengan konsumen, maka kualitas listrik selayaknya harus sangat diperhatikan.

Sistem penyaluran daya listrik pada Jaringan tegangan rendah dapat dibedakan menjadi dua yaitu sebagai berikut:

- a. Saluran Udara Tegangan Rendah (SUTR) Jenis penghantar yang dipakai adalah kabel telanjang (tanpa isolasi) seperti kabel AAAC, kabel ACSR.
- b. Saluran Kabel Udara Tegangan Rendah (SKUTR) Jenis penghantar yang dipakai adalah kabel berisolasi seperti kabel LVTC (Low Voltage Twisted Cable).ukuran kabel LVTC adalah : 2x10mm² , 2x16mm² , 4x25mm² , 3x 35mm² , 3x50mm² , 3x70mm² .

Penyambungan JTR menurut SPLN No.74 tahun 1987 yaitu “sambungan JTR adalah sambungan rumah (SR) penghantar di bawah tanah atau di atas tanah termasuk peralatannya mulai dari titik penyambungan tiang JTR sampai alat pembatas dan pengukur (APP)”.

Sistem distribusi sekunder digunakan untuk menyalurkan tenaga listrik dari gardu distribusi ke beban-beban yang ada di konsumen. Pada sistem distribusi sekunder bentuk saluran yang paling banyak digunakan ialah sistem radial. Sistem ini dapat menggunakan kabel yang berisolasi maupun konduktor tanpa isolasi. Sistem ini biasanya disebut sistem tegangan rendah yang langsung akan dihubungkan kepada konsumen/pemakai tenaga listrik dengan melalui peralatanperalatan sebagai berikut:

- a. Papan pembagi pada transformator distribusi.
- b. Hantaran tegangan rendah (saluran distribusi sekunder).
- c. Saluran Layanan Pelanggan (SLP) (ke konsumen/pemakai).
- d. Alat Pembatas dan pengukur daya (kWH. meter) serta fuse.

atau pengaman pada pelanggan.

2.2.2 Peralatan Sistem Distribusi

Jaringan distribusi yang baik adalah jaringan yang memiliki perlengkapan dan peralatan yang cukup lengkap, baik itu peralatan guna kontruksi maupun peralatan proteksi. Untuk jaringan distribusi sistem saluran udara, peratan-peralatanm proteksi dipasangkan diatas tiang-tiang listrik berdekatan dekat letak pemasangan trafo, perlengkapan utama pada sistem distribusi tersebut antara lain.

a. Tiang

Merupakan Penopang Kontruksi – Kohntruksi Penghantar dan Peralatan seperti Trafo Distribusi , isolator, arrester, recloser dan sebagainya. Tiang dibagi menjadi 3 jenis yaitu :

- tiang kayu
- Ting besi
- Tiang beton

b. Konduktor

Senagai penghantar Arus listrik dari Trafo Tenaga menuju Maing Masing Peralatan Switching sampai ke Trafo Distribusi.

c. Kapasitor

Sebagai Kompemsator Daya Reaktif untuk memperbaiki factor daya pada pada Jaringan Distribusi dan Instalasi.

d. Recloser

Sebagai Peralatan Proteksi yang terdiri dari Komparlemen tegangan Tinggi

yaitu Circuit Breaker dan Komparlemen tegangan Renyah yaitu Relay Penutup Balik. Recloser berfungsi mengisolasi daerah terganggu . Dan menutup secara otomatis sesuai dengan Setting Arus yang telah ditentukan.

e. Fuse

Pemutus dengan sistem kerja termal.dimana akan bekerja apabila rating Fuse link dilewati Arus yang sudah melebihi karakteristik kerjanya.

f. PMT

Berfungsi Sebagai Peralatan Pemutus Tegangan Tinggi dalam keadaan berbeban atau Gangguan. PMT dilengkapi Pemadam Busur Api sehingga aman dalam Pemutusan beban kondisi bebebebhan.

g. Transformer

Berfungsi mentransformasikan Tegangan sesuai dengan rasio pada namplatnya.

h. Isolator

Sebagai Penopang Konduktor agar tidak terhubung ke Tanah atau Kobduktor yang beda phasa.

Perlengkapan – perlengkapan diatas sangat penting keberadaannya, terutama untuk peralatan proteksi. Agar dapat bekerja dengan baik dan terjaminnya kontinuitas pelayanan, maka harus dilakukan pemeliharaan secara rutin untuk mengetahui kerusakan dan kehandalan dari masing-masing peralatan tersebut. Pemeliharaan peralatan yang rutin sangat penting dilakukan agar setiap saat dapat diawasi keadaannya apakah masih layak dipakai atau tidak.

2.2.3 Trafo Tenaga



Gambar 2.7 Trafo Tenaga 150 kV / 20 kV GI Kalibakal

Trafo tenaga adalah suatu peralatan tenaga listrik yang berfungsi untuk mentransformasikan daya listrik dari tegangan tinggi ke tegangan rendah atau sebaliknya.

Bagian – bagian Trafo Tenaga diantaranya :

a. Inti besi

Berfungsi untuk mempermudah jalan fluksi, yang ditimbulkan oleh arus listrik yang melalui kumparan. Dibuat dari lempengan-lempengan besi tipis yang berisolasi, untuk mengurangi panas (sebagai rugi-rugi besi) yang ditimbulkan oleh Eddy Current.

b. Kumparan

beberapa lilitan kawat berisolasi yang membentuk suatu kumparan. Kumparan tersebut terdiri dari kumparan primer dan kumparan sekunder yang diisolasi baik terhadap inti besi maupun terhadap antar kumparan dengan isolasi padat seperti karton, pertinak dan lain-lain.

c. Minyak Trafo

Seluruh kumparan dan inti besi transformator direndam dalam minyak trafo. Minyak berfungsi sebagai media pemindah panas trafo (pendingin) serta berfungsi sebagai isolasi.

d. Tangki dan Konservator

Pada umumnya bagian-bagian dari trafo yang terendam minyak trafo berada (ditempatkan) dalam tangki. Untuk menampung pemanasan minyak trafo, tangki dilengkapi dengan konservator.

e. Bushing

Hubungan antara kumparan trafo ke jaringan luar melalui sebuah bushing yaitu sebuah konduktor yang diselubungi oleh isolator, yang sekaligus berfungsi sebagai penyekat antara konduktor tersebut dengan tangki trafo.

Peralatan bantu transformator diantarnya :

a. Pendingin

Pada inti besi dan kumparan-kumparan akan timbul panas akibat rugi-rugi besi dan rugi-rugi tembaga. Bila panas tersebut mengakibatkan kenaikan suhu yang berlebihan, akan merusak isolasi (di dalam transformator). Maka untuk mengurangi kenaikan suhu trafo yang berlebihan maka perlu dilengkapi dengan alat/sistem pendingin untuk menyalurkan panas keluar transformator. Media yang dipakai pada sistem pendingin dapat berupa minyak dan udara. Sedangkan dalam pengalirannya (sirkulasi) dapat berupa alamiah (natural) dan tekanan/paksaan.

b. Tap changer

Alat perubah perbandingan transformasi untuk mendapatkan tegangan operasi sekunder yang lebih baik (diinginkan) dari tegangan jaringan/primer yang berubah-ubah.

c. Alat Pernapasan (Silicagel)

Karena pengaruh naik turunnya beban transformator maupun suhu udara luar, maka suhu minyak pun akan berubah-ubah, sehingga mengakibatkan adanya pemuaian dan penyusutan minyak trafo. Menyusutnya minyak trafo mengakibatkan permukaan minyak menjadi turun dan udara akan masuk ke dalam tangki. Proses demikian disebut pernapasan trafo. Akibat pernafasan tersebut maka minyak trafo akan bersinggungan dengan udara luar. Untuk mencegah hal ini maka ujung pipa penghubung udara luar dilengkapi dengan alat pernapasan berupa tabung berisi kristal zat hygrokopis (silicagel).

d. Indikator

Untuk mendeteksi transformator yang beroperasi maka dilengkapi dengan indikator suhu minyak, indikator suhu kumparan, indikator level minyak, indikator sistem pendingin serta indikator kedudukan tap changer.

f. Peralatan proteksi

Untuk mengamankan transformator yang diakibatkan karena gangguan maka dipasang relai pengaman seperti; Relai differensial, Buchloz, tekanan lebih, relai tangki tanah, relai hubung tanah, relai thermis, relai tekanan lebih, sudden pressure, relai jansen, arus lebih dan Arrester

2.2.4 OLTC (On Load Tap Changer)

OLTC adalah salah satu bagian utama dari Trafo Tenaga yang berfungsi untuk melayani pengaturan tegangan trafo tersebut, dengan cara memilih/merubah ratio tegangan, perubahan Ratio (perbandingan transformasi)

antara kumparan Primer dan Sekunder, untuk mendapatkan tegangan operasi disisi sekunder sesuai dengan yang diinginkan, kualitas (besarnya) tegangan pelayanan disisi sekunder dapat berubah karena tegangan jaringan/sistem yang berubah akibat dari pembebatan ataupun kondisi Sistem, perubahan ratio yang diatur oleh tap changer adalah perubahan dengan range kecil antara +10 %, - 15 % dari tegangan dasar trafo tersebut.

Perbandingan besar tegangan antara sisi Primer terhadap tegangan sisi Sekunder adalah berbanding lurus dengan jumlah belitan pada masing-masing kumparan, ($E_{\text{Primer}} / E_{\text{Sekunder}} = N_{\text{Primer}} / N_{\text{Sekunder}}$), maka untuk mendapatkan tegangan di sisi sekunder yang tetap harus menambah atau mengurangi jumlah belitan disisi Primer, Untuk mendapatkan range yang luas didalam pengaturan tegangan, pada kumparan utama trafo biasanya ditambahkan kumparan bantu (tap winding) yang dihubungkan dengan tap selektor pada OLTC.

Secara umum Tap Changer diletakkan pada kumparan Primer dengan pertimbangan sebagai berikut :

- a. Lebih mudah cara penyambungan karena kumparan Primer terletak pada belitan paling luar,
- b. Arus di sisi primer lebih kecil daripada disisi Sekunder tujuannya untuk memperkecil resiko bila terjadi los kontak dan dengan arus yang lebih kecil dapat dipergunakan ukuran/jenis konduktor yang kecil pula.

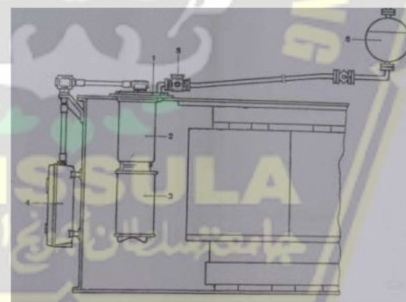
Jenis Pengoperasian tap changer ada 2 macam , diantaranya :

- a. Tap changer yang dioperasikan dalam kondisi tidak bertegangan Atau disebut “ No Load Tap Changer”. Saklar Pemindah terletak dibagian atas Trafo.

- b. Tap changer yang dapat beroperasi untuk memindahkan tap transformator dalam keadaan berbeban disebut “On Load Tap Changer” (OLTC), pengoperasianya dapat secara manual maupun elektris / motor rise.

Transformator yang terpasang di gardu induk pada umumnya menggunakan tap changer yang dapat dioperasikan dalam keadaan trafo berbeban (OLTC) yang dipasang di sisi primer. berfungsi untuk melayani pengaturan tegangan keluar dari trafo, dengan cara memilih/merubah ratio tegangan tanpa harus melakukan pemadaman.

Tap Changer Trafo tenaga ditempatkan dalam tabung / Compartment dan direndam minyak, ditempatkan terpisah dari tangki Utama (Main-tank) Trafo karena dalam pengoperasian OLTC terjadi switching ketika kontak-kontak didalam OLTC bergerak sehingga kualitas minyak cepat menurun terutama warnanya cepat kotor berwarna hitam (korbon dioksida), oleh karena itu Miyak Tap Changer ditempatkan terpisah dari minyak Trafo di Tanki utama. Penempatan OLTC dirancang sedekat mungkin dengan belitan/kumparan Trafo untuk memperpendek pemakaian konduktor yang dipakai untuk menghubungkan Tap Changer dengan belitan



Gambar 2.8. Komponen / Bagian – Bagian OLTC

Komponen / Bagian-bagian OLTC :

- a. Tap Changer Head.
- b. Diverter switch.

- c. Tap Selector.
- d. Mekanik motor penggerak.
- e. Relay Proteksi RS 2000.
- f. Konservator.

2.2.5 Konduktor Pada Sistem 20 kV

Konduktor atau Penghantar Listrik adalah Material yang bersifat mudah menghasilkan electron electron dari 1 titik ke titik lainnya dengan mudah.

- a. AAC

AAC (All Aluminium Alloy Conductor) yaitu penghantar yang terbuat dari kawat-kawat aluminium campuran yang dipilin, tidak berisolasi dan tidak berinti Kabel jenis ini mempunyai ukuran diameter antara 1,50 – 4,50 mm, dengan bentuk fisiknya berurat banyak.



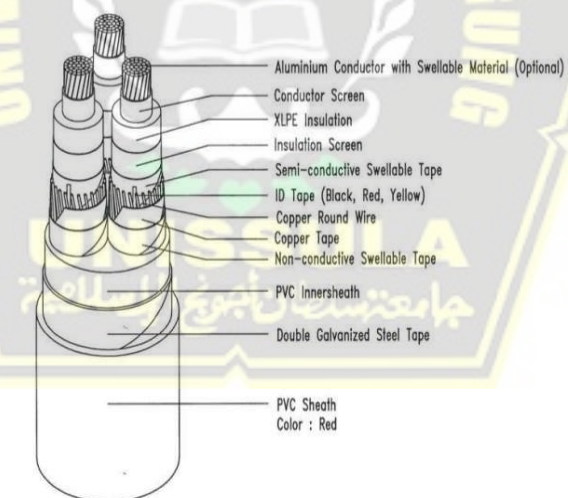
Gambar 2.9. Konduktor AAC

Tabel 2.1. Tahanan (R) dan reaktansi (XL) Penghantar AAAC 20 kV
[7]

Luas Penampang (mm ²)	Jari ² m m	Urat	GMR (mm)	Impedansi urutan positif (Ohm / km)	Impedansi urutan Nol (Ohm / km)
16	2,2563	7	1,638	2,0161 + j 0,4036	2,1641 + j 1,6911
25	2,8203	7	2,0475	1,2903 + j 0,3895	1,4384 + j 1,6770
35	3,3371	7	2,4227	0,9217 + j 0,3790	1,0697 + j 1,6665
50	3,9886	7	2,8957	0,6452 + j 0,3678	0,7932 + j 1,6553
70	4,7193	7	3,4262	0,4608 + j 0,3572	0,6088 + j 1,6447
95	5,4979	19	4,1674	0,3096 + j 0,3449	0,4876 + j 1,6324
120	6,1791	19	4,6837	0,2688 + j 0,3376	0,4168 + j 1,6324
150	6,9084	19	5,2365	0,2162 + j 0,3305	0,3631 + j 1,6180
185	7,6722	19	5,8155	0,1744 + j 0,3239	0,3224 + j 1,6114
240	8,7386	19	6,6238	0,1344 + j 0,3158	0,2824 + j 1,6034

b. Kabel Tanah Dengan Penghantar Al

Kabel tanah berinti tunggal Gambar 2.5. yaitu kabel tanah jenis NA2XSEYBY 3x240mm² menyatakan suatu kabel berinti banyak, untuk tegangan nominal 12/20 kV, berisolasi XLPE, berpenghantar aluminium dengan luas penampang 240mm². Kabel ini digunakan dalam penelitian yang sudah terpasang pada trasformator 150/20 kV 4 di GI Kalibakal.



Gambar 2.10. Kabel NA2XSEYBY 3x240mm²

Tabel 2.2. Tahanan (R) dan reaktansi (XL) penghantar
NA2XSEYBY (IEC. 502)

A (mm ²)	R (Ω/km)	L (mH/k m)	C (mf/km)	Impedansi urutan positif (Ω /km)	Impedansi urutan Nol (Ω/km)
150	0,206	0,33	0,26	$0,206 + j0,104$	$0,356 + j0,312$
240	0,125	0,31	0,31	$0,125 + j0,097$	$0,275 + j0,029$
300	0,1	0,3	0,34	$0,100 + j0,094$	$0,250 + j0,282$

2.2.6 Ketidak Seimbangan Beban

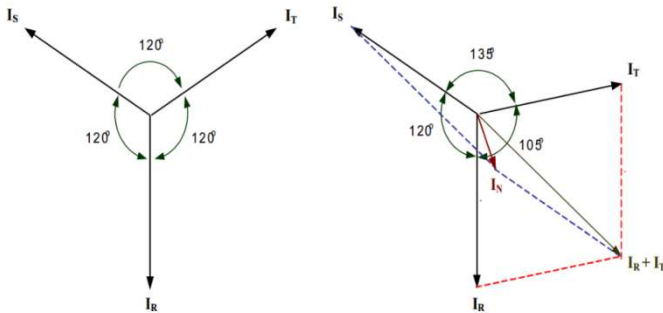
Yang dimaksud dengan keadaan seimbang adalah suatu keadaan di mana [8]:

- a. Ketiga vektor arus / tegangan sama besar.
- b. Ketiga vektor saling membentuk sudut 120° satu sama lain.

Sedangkan yang dimaksud dengan keadaan tidak seimbang adalah keadaan dimana salah satu atau kedua syarat keadaan seimbang tidak terpenuhi. Kemungkinan keadaan tidak seimbang ada 3 yaitu :

- a. Ketiga vektor sama besar tetapi tidak membentuk sudut 120°.
- b. Ketiga vektor tidak sama besar tetapi membentuk sudut 120°
- c. Ketiga vektor tidak sama besar dan tidak membentuk sudut 120°

Pada gambar 2.2. terlihat perbedaan vektor diagram arus kondisi seimbang dan tidak seimbang.



Gambar 2.11. Vektor Diagram Arus [8]

2.2.7 Arus Netral Beban Tidak Seimbang

Untuk arus tiga fasa dari suatu sistem yang tidak seimbang dapat juga diselesaikan dengan menggunakan metode komponen simetris. Dengan menggunakan notasi-notasi tegangan akan didapatkan persamaan-persamaan untuk arus-arus fasanya sebagai berikut [9]:

$$I_a = I_1 + I_2 + I_0 \quad (2.1)$$

$$I_b = a^2 I_1 + a I_2 + I_0 \quad (2.2)$$

$$I_c = a I_1 + a^2 I_2 + I_0 \quad (2.3)$$

Dengan tiga langkah yang telah dijabarkan dalam menentukan tegangan urutan positif, urutan negatif, dan urutan nol terdahulu, maka arus - arus urutan juga dapat ditentukan dengan cara yang sama, sehingga kita dapatkan juga.

$$I_1 = \frac{1}{3} (I_a + a I_b + a^2 I_c) \quad (2.4)$$

$$I_2 = \frac{1}{3} (I_a + a^2 I_b + a I_c) \quad (2.5)$$

$$I_0 = \frac{1}{3} (I_a + I_b + I_c) \quad (2.6)$$

Dalam sistem tiga fasa empat kawat ini jumlah arus saluran sama dengan arus netral yang kembali lewat kawat netral, menjadi [9]:

$$I_N = I_a + I_b + I_c \quad (2.7)$$

Dengan mensubstitusikan persamaan (2.7) ke (2.8) maka diperoleh :

$$I_N = 3I_0 \quad (2.8)$$

Atau dengan melihat pada gambar (2.2) didapatkan perhitungan untuk arus netral .

$$I_N \angle n^o = I_R \angle r^o + I_S \angle s^o + I_T \angle t^o \quad (2.9)$$

$$I_N = (I_{Rr} + j I_{Xr}) + (I_{Rs} + j I_{Xs}) + (I_{Rt} + j I_{Xt})$$

$$I_N = (I_{Rn} + j I_{Xn})$$

$$IN = \sqrt{I_{Rn}^2 + I_{Xn}^2}$$

$$\angle In = \text{arc Tan} (I_{Xn} / I_{Rn})$$

Dimana :

I_N = Arus Netral (A)

$\angle n^o$ = Sudut Arus Netral (Derajat)

I_{Rn} = Komponen Resistif Arus Netral (A)

I_{Rn} = Komponen Reaktansi Arus Netral (A)

Sebagai akibat dari ketidakseimbangan beban antara tiap - tiap fasa pada sisi sekunder trafo (fasa R, fasa S, fasa T) mengalirlah arus di netral trafo. Arus yang mengalir pada pengantar netral trafo ini menyebabkan losses (rugi - rugi). Losses pada pengantar netral trafo ini dapat dirumuskan sebagai berikut:

$$P_N = I_{N^2} \times R_N \quad (2.10)$$

dimana:

P_N = losses pada pengantar netral trafo (watt)

I_N = arus yang mengalir pada netral trafo (A)

R_N = tahanan penghantar netral trafo (Ω)

2.2.8 Penyaluran dan Susut Daya

Total daya yang diberikan oleh sebuah generator tiga - fasa atau yang diserap suatu beban tiga fasa diperoleh dengan menjumlahkan daya pada ketiga fasanya. (Stevenson, 1996).

$$P = 3 \times [V] \times [I] \times \cos \phi \quad (2.14)$$

Daya yang sampai ujung terima akan lebih kecil dari P karena terjadi penyusutan dalam saluran. Jika $[I]$ adalah besaran arus fasa dalam penyaluran daya sebesar P pada keadaan seimbang, maka pada penyaluran daya yang sama tetapi dengan keadaan tak seimbang besarnya arus-arus fasa dapat dinyatakan dengan koefisien a , b dan c sebagai berikut :

$$\left. \begin{aligned} [I_r] &= a [I] = a = \frac{I_r}{I} \\ [I_s] &= b [I] = b = \frac{I_s}{I} \\ [I_t] &= c [I] = c = \frac{I_t}{I} \end{aligned} \right\} \quad (2.15)$$

Dengan I_r , I_s dan I_t berturut-turut adalah arus di fasa R,S dan T. bila faktor daya di ketiga fasa dianggap sama walaupun besarnya berbeda dengan besar Daya Aktif yang disalurkan dapat dinyatakan sebagai :

$$P = (a + b + c) \times [V] \times [I] \times \cos \phi \quad (2.16)$$

Apabila persamaan (2.16) dan persamaan (2.14) menyatakan daya yang besarnya sama, maka dari kedua persamaan itu dapat diperoleh persyaratan untuk koefisien a , b dan c yaitu:

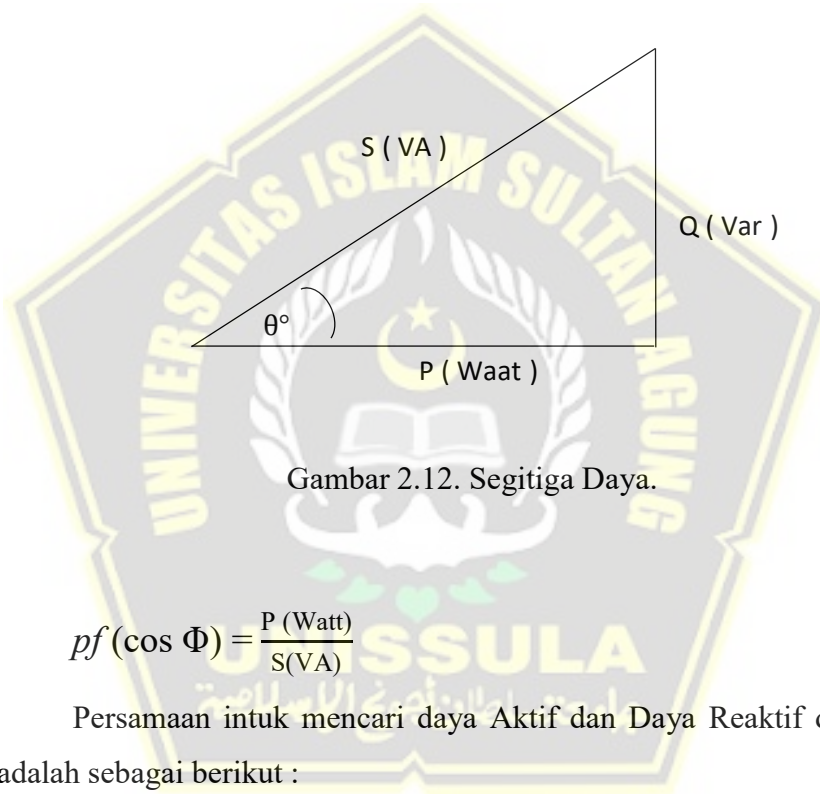
$$a + b + c = 3 \quad (2.17)$$

Pada keadaan seimbang, besarnya koefisien a, b dan c adalah 1. Dengan demikian rata-rata ketidakseimbangan beban (dalam %) adalah :

$$\% Ub = \frac{\{I_a - 1 I + I_b - 1 I + I_c - 1 I\}}{3} \quad (2.18)$$

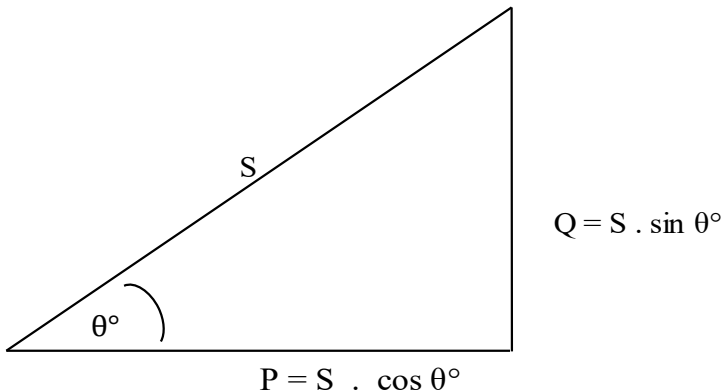
2.2.9 Perhitungan dan Rugi Rugi Penyalang.

Dalam teori listrik arus bolak-balik penjumlahan daya dilakukan secara vektoris, bentuk vektornya merupakan segitiga siku-siku, yang dikenal dengan segitiga daya seperti terlihat pada gambar 2.13



$$pf(\cos \Phi) = \frac{P (\text{Watt})}{S(\text{VA})} \quad (2.19)$$

Persamaan intuk mencari daya Aktif dan Daya Reaktif dari daya Semu adalah sebagai berikut :



Gambar 2.13 Persamaan Daya Semu terhadap daya Aktif dan Reaktif

$$P = S \cdot \cos \theta^\circ \quad (2.20)$$

$$Q = S \cdot \sin \theta^\circ \quad (2.21)$$

Dimana :

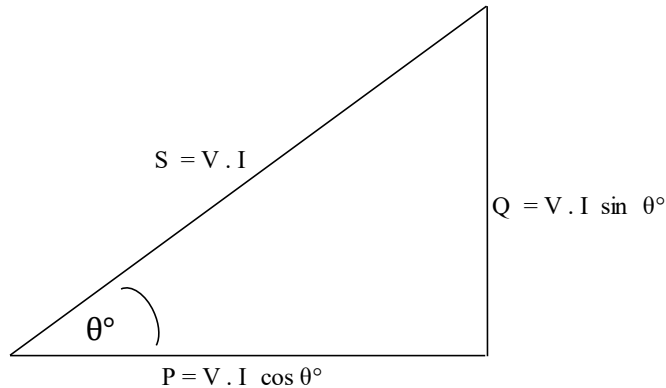
S : Daya Semu (VA)

P : Daya Aktif (Watt)

Q : Daya Reaktif (Var)

θ : Sudut Phasa ($^\circ$)

sedangkan persamaan untuk mencari rugi-rugi daya tiga fasa pada penyulang adalah sebagai berikut.



Gambar 2.14 Persamaan Daya terhadap Arus dan Tegangan

P disebut Daya Nyata (*real power*). Satuan dasar dari daya. Cosinus dari sudut θ diantara Daya Semu dan daya nyata dinamakan faktor daya (*power factor*)[9].

$$Pf = \cos \theta^\circ$$

$$P = (I_R \cdot V_R \cdot pf_R) + (I_S \cdot V_S \cdot pf_S) + (I_T \cdot V_T \cdot pf_T) \quad (2.22)$$

$$\Delta P = (I_R^2 \cdot R) + (I_S^2 \cdot R) + (I_T^2 \cdot R) \quad (2.23)$$

$$\text{Susut (\%)} = \frac{\Delta P}{P} \times 100 \% \quad (2.24)$$

dimana:

P : Daya aktif (Watt)

ΔP : Rugi daya aktif (Watt)

I : Arus beban (Ampere)

R : Resistansi saluran (Ω)

pf : faktor daya beban

Dalam sistem penyaluran tenaga listrik berbagai upaya dilakukan untuk memperkecil nilai susut tegangan dan rugi daya yang terjadi pada saluran distribusi. Hal tersebut mutlak dilakukan karena merugikan perusahaan penyedia

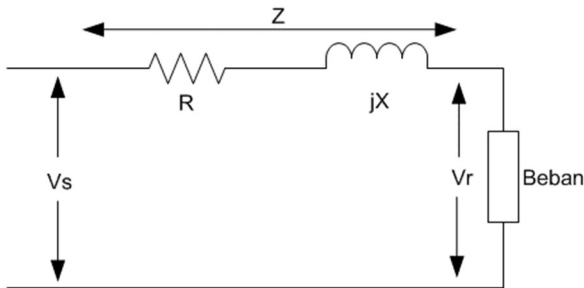
tenaga listrik dan pelanggan / konsumen dari listrik itu sendiri. Beberapa langkah untuk mengurangi *losses* pada jaringan antara lain:

- a. Meningkatkan besar tegangan primer
- b. Keseimbangan jaringan
- c. Mengubah jaringan satu fasa menjadi tiga fasa
- d. Mengurangi pembebanan
- e. Meningkatkan faktor daya (Kapasitor)
- f. Rekonduktor

2.2.10 Tegangan Jatuh atau Drop Voltage.

Tegangan harus selalu di jaga konstan, terutama rugi tegangan yang terjadi di ujung saluran. Tegangan yang tidak stabil dapat berakibat merusak alat - alat yang peka terhadap perubahan tegangan (khususnya alat - alat elektronik). Demikian juga tegangan yang terlalu rendah akan mengakibatkan alat-alat listrik tidak dapat beroperasi sebagaimana mestinya. Salah satu syarat penyambungan alat-alat listrik, yaitu tegangan sumber harus sama dengan tegangan yang dibutuhkan oleh peralatan listrik tersebut [5].

Tegangan jatuh didefinisikan sebagai perbedaan antara tegangan sumber dan tegangan beban. Variasi tegangan menurut SPLN 1 : 1995 ditetapkan maksimum + 5% dan minimum – 10 % terhadap tegangan nominal. Gambar 2.3 menunjukan rangkaian ekivalen distribusi listrik[10].



Gambar 2.15. Rangkaian *ekivalen* distribusi listrik

Tegangan jatuh dapat dinyatakan dengan persamaan berikut :

$$\Delta V = V_s - V_r \quad (2.25)$$

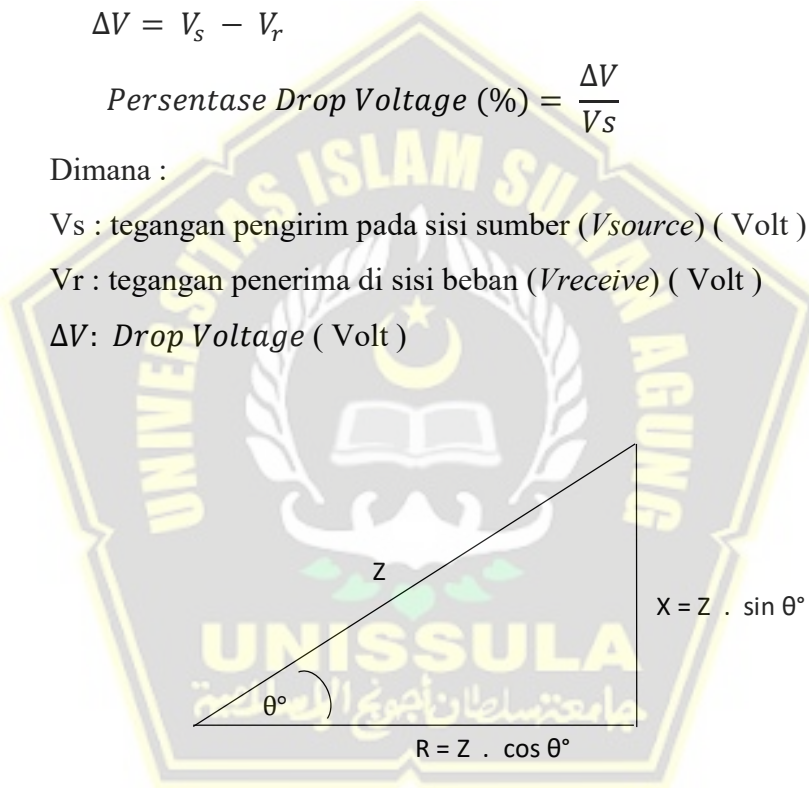
$$\text{Persentase Drop Voltage (\%)} = \frac{\Delta V}{V_s}$$

Dimana :

V_s : tegangan pengirim pada sisi sumber (V_{source}) (Volt)

V_r : tegangan penerima di sisi beban ($V_{receive}$) (Volt)

ΔV : *Drop Voltage* (Volt)



Gambar 2.16 Persamaan Impedansi terhadap Resistansi dan Reaktansi

Bentuk Persamaan Bilangan Komplek

$$Z = R + j X \quad (2.26)$$

Bentuk Polar

$$Z = \sqrt{R^2 + X^2} \quad (2.27)$$

Drop Tegangan

$$\Delta V = I \cdot Z$$

$$\Delta V = I \cdot (R + jX)$$

$$\Delta V = I \cdot (Z \cos \theta^\circ + j Z \sin \theta^\circ) \quad (2.28)$$

Untuk Drop Tegangan saluran satu fasa

$$\Delta V = I \times L (Z \cos \theta + j Z \sin \theta)$$

atau

$$\Delta V = I \times L \times Z \quad (2.29)$$

Untuk Drop Tegangan saluran tiga fasa

$$\Delta V = \sqrt{3} \times I \times L (R \cos \theta + j X \sin \theta)$$

Atau

$$\Delta V = \sqrt{3} \times I \times L \times Z \quad (2.30)$$

Dimana :

ΔV : Tegangan Jatuh (Volt)

Z : Impedansi (Ω)

I : arus (Ampere)

L : panjang (m atau km)

R : resistansi/tahanan pada saluran (Ω)

jX : reaktansi saluran (Ω)

θ : sudut daya atau beda sudut antara I dengan E ($^\circ$).

2.2.11 Persamaan Aliran Daya

Aliran daya listrik akan selalu mengalir ke beban, sehingga aliran daya disebut juga aliran beban. Beban-beban tersebut direpresentasikan sebagai impedansi tetap (Z), daya yang tetap (P), tegangan (V), dan arus yang tetap

(I). Pada dasarnya beban dapat digolongkan menjadi dua macam, yaitu beban statis (static load) dan beban dinamis (dynamic load).

Besarnya aliran daya yang diserap oleh saluran transmisi beserta rugiruginya dapat diketahui dengan menghitung lebih dahulu besaran (magnitude) tegangan dan sudut fasornya pada setiap simpul saluran. Pada setiap simpul saluran terdapat empat parameter, yaitu :

- a. Daya nyata (P) dengan satuan megawatt (MW)
- b. Daya reaktif (Q) dengan satuan megavolt ampere reaktif (MVAR)
- c. Besaran tegangan (V) dengan satuan kilovolt (kV)
- d. Sudut fasa tegangan (ϕ) dengan satuan radian

Bila simpul sendiri mempunyai beban, daya pada simpul adalah selisih daya yang dibangkitkan dengan bebannya, tetapi bila simpulnya tidak mempunyai generator, beban pada saluran tersebut dianggap sebagai generator yang membangkitkan daya negatif ke simpul tersebut.

Keempat parameter, untuk mendapatkan penyelesaian aliran daya pada setiap simpul perlu diketahui dua buah parameternya, tergantung pada parameter-parameter yang diketahui maka setiap simpul pada sistem diklasifikasikan dalam tiga kategori :

- a. Simpul beban (Bus PQ).

Parameter yang diketahui adalah P dan Q , parameter yang tidak diketahui adalah V dan ϕ .

- b. Simpul kontrol (Bus generator)

Parameter-parameter yang diketahui adalah P dan V , dimana pada simpul ini mempunyai kendala untuk daya semu (Q) yang melalui simpul, bila kendala ini dalam perhitungan integrasinya tidak dapat dipenuhi maka simpul ini akan berganti menjadi simpul beban. Sebaliknya bila daya

memenuhi kendala maka akan dihitung sebagai simpul kontrol kembali. Parameter-parameter yang tidak diketahui adalah ϕ dan Q.

c. Simpul ayun (Swing bus atau slack bus)

Parameter-parameter yang diketahui adalah V dan ϕ (biasanya $\phi=0$).

Simpul ayun selalu mempunyai generator, dalam perhitungan aliran daya, P dan Q pada simpul ini tidak perlu dihitung. Simpul ini menentukan dalam perhitungan aliran daya untuk memenuhi kekurangan daya (rugi-rugi dan beban) seluruhnya karena kerugian pada jaringan tidak dapat diketahui sebelum perhitungan selesai dilakukan.

Besaran daya pada setiap bus dapat dinyatakan dengan persamaan :

$$S_i = S_{Gi} - S_{Ti} - S_{Li} \quad (2.31)$$

Keterangan :

S_{Gi} : daya yang masuk ke bus i (MVA)

S_{Ti} : daya yang keluar dari bus i (MVA)

S_{Li} : beban daya yang keluar dari bus i (MVA)

Dalam bentuk kompleks :

$$\begin{aligned} P_i + Q_i &= (P_{Gi} + jQ_{Gi}) - (P_{Ti} + jQ_{Ti}) - (P_{Li} + jQ_{Li}) \\ &= (P_{Gi} - P_{Ti} - P_{Li}) + j(Q_{Gi} - Q_{Ti} - Q_{Li}) \end{aligned} \quad (2.32)$$

Daya yang mengalir dari setiap bus juga dapat dinyatakan oleh persamaan :

$$S_{Ti} = V_i \cdot I_i \quad (2.33)$$

2.2.12 Metode Perhitungan Aliran Daya

Pada sistem distribusi seringkali terjadi beban yang tidak seimbang pada setiap fasanya (sistem distribusi merupakan sistem tiga fasa) atau terjadi kelebihan beban karena pemakaian alat-alat elektronik dari konsumen energi listrik. Keadaan tersebut jika dibiarkan terus-menerus maka akan menyebabkan terjadinya penurunan keandalan sistem tenaga listrik dan kualitas energi listrik

yang disalurkan serta menyebabkan kerusakan alat-alat yang bersangkutan. Untuk itu diperlukan suatu tindakan yang mengurangi pembebahan yang tidak seimbang (unbalanced loading) pada fasa dan kelebihan beban (over loading) pada jaringan distribusi listrik. Selain itu, sistem distribusi radial juga mempunyai rugi – rugi daya yang cukup besar sehingga menyebabkan keandalan sistem menjadi berkurang.

Dasar dari Metode Newton Raphson dalam penyelesaian aliran daya adalah Deret Taylor untuk suatu fungsi dengan dua variabel lebih. Metode Newton Raphson menyelesaikan masalah aliran daya dengan menggunakan suatu persamaan nonlinier untuk menghitung besarnya tegangan dan sudut fasa tegangan tiap bus.

Daya injeksi pada bus i adalah [11]:

$$P_i - jQ_i = V_i * \sum_{j=1}^n Y_{ij} V_j \quad (2.34)$$

Dengan:

P_i = Daya aktif ke-i

Q_i = Daya reaktif ke-i

V_i = Tegangan ke-i

Y_{ij} = Admintansi

Dalam hal ini dilakukan pemisahan daya nyata dan daya reaktif pada bus i.

Pemisahan ini akan menghasilkan suatu set persamaan simultan nonlinier [11]

Dalam koordinat kutub diketahui :

$$|V_i| \angle \delta_i = |V_i| e^{j\delta_i} \quad (2.35)$$

$$V_j \angle \delta_j = |V_j| e^{j\delta_j} \quad (2.36)$$

$$|Y_{ij}| \angle \theta_{ij} = |Y_{ij}| e^{j\delta_{ij}} \quad (2.37)$$

Karena $e^{(\delta j - \delta i + \theta_{ij})} = \cos(\delta j - \delta i + \theta_{ij})$ maka pemisahan daya pada bus i menjadi komponen real dan imajiner adalah:

$$\begin{aligned} P_i - jQ_i &= |V_i| \angle -\delta_i \sum_{j=1}^n Y_{ij} j V_j \angle \theta_{ij} + \delta_j \\ &= |V_i| e^{-j\delta_i} \sum_{j=1}^n Y_{ij} j V_j \angle (e^{(\delta j - \delta i + \theta_{ij})}) \quad (2.38) \end{aligned}$$

$$P_i = \sum_{j=1}^n |V_i V_j Y_{ij}| \cos(\delta_j - \delta_i + \theta_{ij}) \quad (2.39)$$

$$Q_i = \sum_{j=1}^n |V_i V_j Y_{ij}| \sin(\delta_j - \delta_i + \theta_{ij}) \quad (2.40)$$

Nilai daya aktif (P_i) dan daya reaktif (Q_i) telah diketahui, tetapi nilai tegangan (V_i) dan sudut (δ_i) tidak diketahui kecuali pada slack bus. Kedua persamaan nonlinier tersebut dapat diuraikan menjadi suatu set persamaan simultan linier dengan cara menyatakan hubungan antara perubahan daya nyata ΔP_i daya reaktif ΔQ_i terhadap perubahan magnitude tegangan ΔV_i dan sudut fasa tegangan $\Delta \delta_i$ (5).

2.2.13 ETAP Power Station 12.6

ETAP (Electric Transient and Analysis Program) merupakan suatu perangkat lunak yang mendukung sistem tenaga listrik. Perangkat ini mampu bekerja dalam keadaan offline untuk simulasi tenaga listrik, online untuk pengelolaan data real-time atau digunakan untuk mengendalikan sistem secara real-time. Fitur yang terdapat di dalamnya pun bermacam-macam antara lain fitur yang digunakan untuk menganalisa pembangkitan tenaga listrik, sistem transmisi maupun sistem distribusi tenaga listrik. ETAP ini awalnya dibuat dan dikembangkan untuk meningkatkan kualitas kesejahteraan nuklir di Amerika Serikat yang selanjutnya dikembangkan menjadi sistem monitor manajemen energi secara real time, simulasi, kontrol, dan optimasi sistem tenaga listrik [12]. ETAP dapat digunakan untuk membuat proyek sistem tenaga listrik dalam bentuk diagram satu garis (one line diagram) dan jalur sistem pentahanan untuk berbagai bentuk analisis, antara lain: aliran daya, hubung singkat, starting

motor, transient stability, koordinasi relay proteksi dan sistem harmonisasi. Proyek sistem tenaga listrik memiliki masing-masing elemen rangkaian yang dapat didefinisikan langsung dari diagram satu garis dan atau jalur sistem pentanahan. Untuk kemudahan hasil perhitungan analisis dapat ditampilkan pada diagram satu garis.

Etap Power Station memungkinkan anda untuk bekerja secara langsung dengan tampilan gambar single line diagram/diagram satu garis. Program ini dirancang sesuai dengan tiga konsep utama:

a. Virtual Reality Operasi

Sistem operasional yang ada pada program sangat mirip dengan sistem operasi pada kondisi realnya. Misalnya, ketika Anda membuka atau menutup sebuah sirkuit breaker, menempatkan suatu elemen pada sistem, mengubah status operasi suatu motor, dan untuk kondisi de-energized pada suatu elemen dan sub-elemen sistem ditunjukkan pada gambar single line diagram dengan warna abu-abu.

b. Total Integration Data

Etap Power Station menggabungkan informasi sistem elektrikal, sistem logika, sistem mekanik, dan data fisik dari suatu elemen yang dimasukkan dalam sistem database yang sama. Misalnya, untuk elemen sebuah kabel, tidak hanya berisikan data kelistrikan dan tentang dimensi fisiknya, tapi juga memberikan informasi melalui raceways yang dilalui oleh kabel tersebut. Dengan demikian, data untuk satu kabel dapat digunakan untuk dalam menganalisa aliran beban (load flow analysis) dan analisa hubung singkat (short circuit analysis) yang membutuhkan parameter listrik dan parameter koneksi serta perhitungan ampacity derating suatu kabel -yang memerlukan data fisik routing

c. Simplicity in Data Entry

Etap Power Station memiliki data yang detail untuk setiap elemen yang digunakan. Dengan menggunakan editor data, dapat mempercepat proses 45 entri data suatu elemen. Data-data yang ada pada program ini telah di masukkan sesuai dengan data-data yang ada di lapangan untuk berbagai jenis analisa atau desain

ETAP PowerStation dapat melakukan penggambaran single line diagram secara grafis dan mengadakan beberapa analisa/studi yakni Load Flow (aliran daya), Short Circuit (hubung singkat), motor starting, harmonisa, transient stability, protective device coordination, dan cable derating. ETAP PowerStation juga menyediakan fasilitas Library yang akan mempermudah desain suatu sistem kelistrikan. Library ini dapat diedit atau dapat ditambahkan dengan informasi peralatan bila perlu.

Beberapa hal yang perlu diperhatikan dalam bekerja dengan ETAP PowerStation adalah :

- One Line Diagram, menunjukkan hubungan antar komponen/peralatan listrik sehingga membentuk suatu sistem kelistrikan.
- Library, informasi mengenai semua peralatan yang akan dipakai dalam sistem kelistrikan. Data elektris maupun mekanis dari peralatan yang detail/lengkap dapat mempermudah dan memperbaiki hasil simulasi/analisa.
- Standar yang dipakai, biasanya mengacu pada standar IEC atau ANSI, frekuensi sistem dan metode – metode yang dipakai.
- Study Case, berisikan parameter – parameter yang berhubungan dengan metode studi yang akan dilakukan dan format hasil analisa

BAB III METODE PENELITIAN

3.1 Tempat dan Waktu Penelitian

Penelitian ini dilaksanakan di PT. PLN (Persero) ULP Purwokerto Kota dan waktu penelitian mulai bulan April 2021 sampai selesai.

3.2 Metode Penelitian.

Metode penelitian yang digunakan dalam penelitian ini adalah metode eksperimental dengan melakukan simulasi aliran daya menggunakan Software Etab 12.6 dengan metode Newton-Raphson. dan tahapan - tahapan yang dilakukan adalah sebagai berikut:

a. Tahap Pengumpulan Data.

Data yang digunakan dalam penelitian ini berupa bagan *single line diagram* jaringan tegangan menengah 20kV PT. PLN (Persero) Area Purwokerto, data transformator penyuplai penyulang KBL05, data beban pada penyulang KBL05, data jenis penghantar yang digunakan, serta data-data lain yang terkait dengan penelitian ini.

b. Rumus Perhitungan Analisa Ketidakseimbangan Beban

Melakukan Perhitungan secara manual pada section Pertama untuk parameter sebagai berikut :

- Perhitungan Nilai Persentase Load Unbalance (%Ub)
- Perhitungan Arus Netral (In)
- Perhitungan Susut Daya (P)
- Perhitungan Drop Tegangan (Delta V)

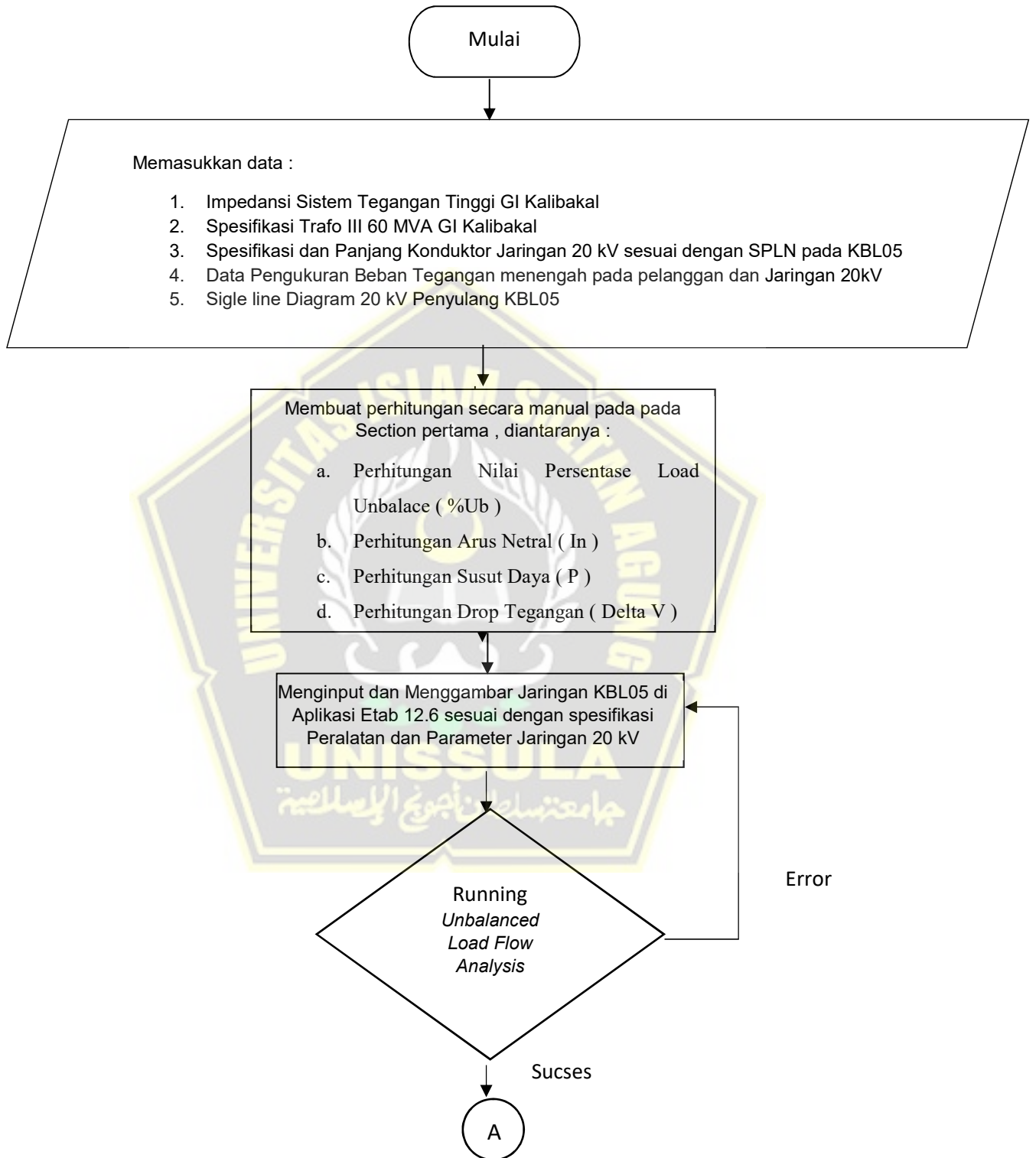
c. Tahap Simulasi dan Analisa

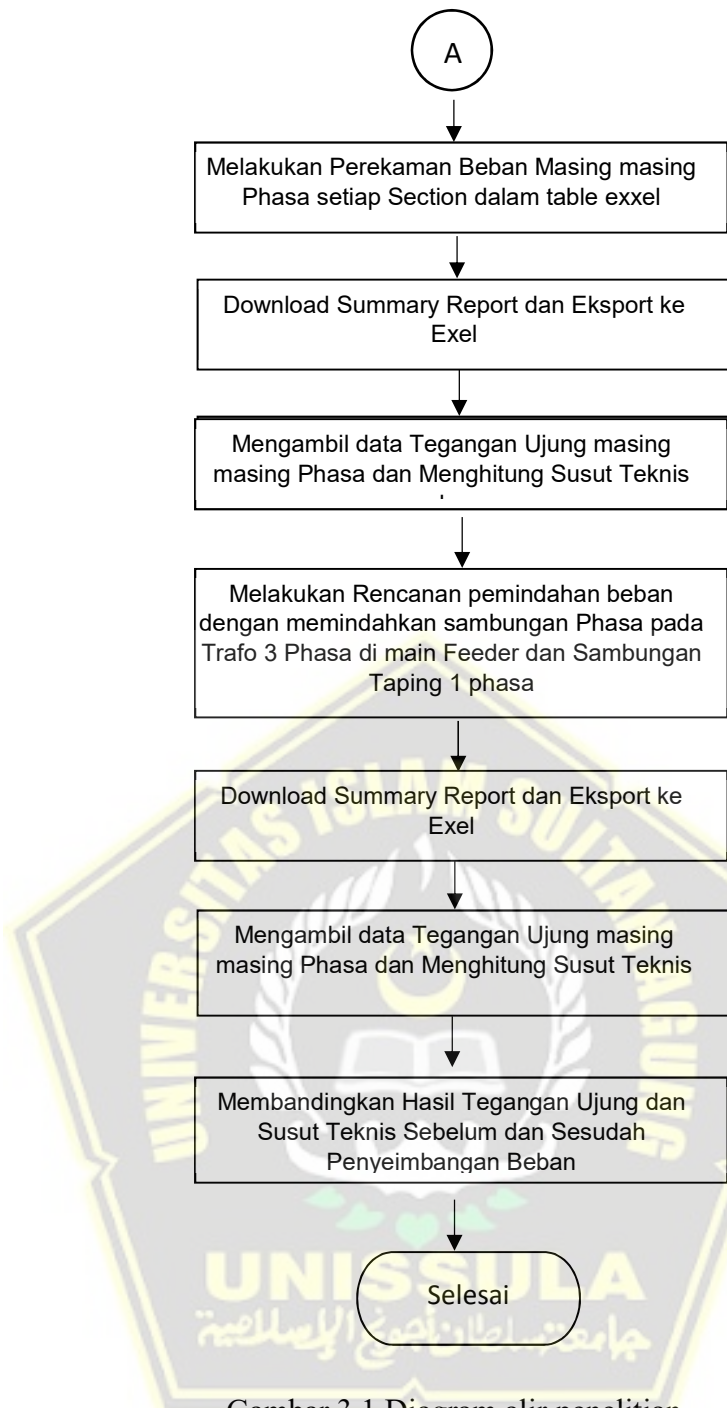
Setelah mendapatkan data Spesifikasi Trafo Tenaga, Spesifikasi Konduktor dan Data Pembebatan tahap selanjutnya adalah melakukan simulasi

menggunakan *software ETAP Power Station* untuk mengetahui besar *losses* yang terjadi. Sedangkan pada tahap analisis, data yang telah didapatkan kemudian diolah dan dilakukan sebuah analisa yang digunakan untuk mendapatkan penyelesaian dari permasalahan yang diangkat hingga terbentuknya laporan penelitian. Langkah - langkahnya adalah sebagai berikut :

- a. Menggambar *single line diagram feeder* KBL05 ke dalam *ETAP Power Station*.
- b. Melakukan Perhitungan Susut Teksis dan Drop tegangan pada pada Sectian Pertama di Penyulang KBL05 sesuai dengan spesifikasi Penghantar dan Pembebanan pada Single line Diagram.
- c. Memasukkan nilai dari data - data pada penyulang KBL05 seperti nilai pembebanan (kVA) tiap trafo distribusi yang disuply oleh KBL05, panjang saluran penghantar tiap tiang pada penyulang KBL05 serta nilai impedansi penghantar 1 fasa maupun 3 fasa.
- d. *Running single line diagram* dengan menu *unbalanced load flow analysis* sehingga muncul arus untuk tiap fasa pada bus pertama yang terhubung ke *Power Grid*.
- e. Melakukan perhitungan ketidakseimbangan beban dan persentase ketidakseimbangan beban menggunakan persamaan (2.1) dan (2.8).
- f. Melakukan perhitungan secara manual arus netral dan *losses* akibat arus netral, susut tegangan dan susut daya pada keadaan awal pembebanan dengan menggunakan persamaan (2.19) sd (2.30)
- g. Melakukan pemerataan beban untuk memperbaiki ketidakseimbangan beban dengan cara pemindahan beban dari fasa dengan beban terberat ke fasa dengan beban teringan dengan melihat keadaan jaringan distribusi pada penyulang KBL05.
- h. Menganalisis pengaruh pemerataan beban terhadap arus netral dan *losses* akibat arus netral, susut tegangan dan susut daya.

3.3 Alur penelitian





Gambar 3.1 Diagram alir penelitian

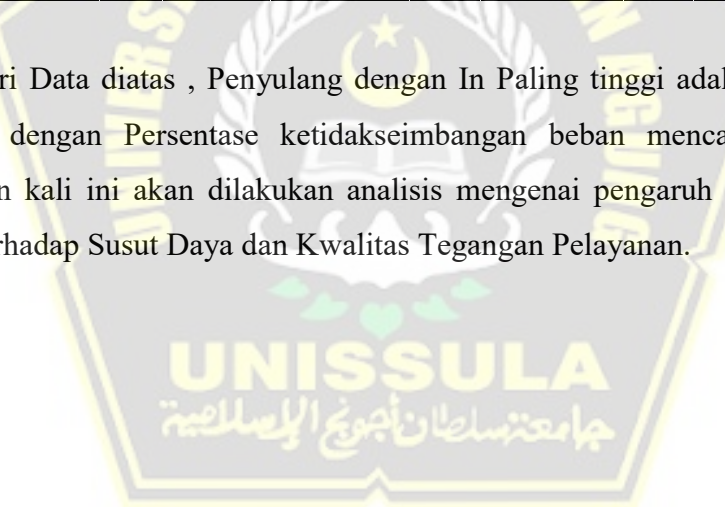
BAB IV HASIL DAN PEMBAHASAN

4.1 Data Pembebanan GI Kalibakal

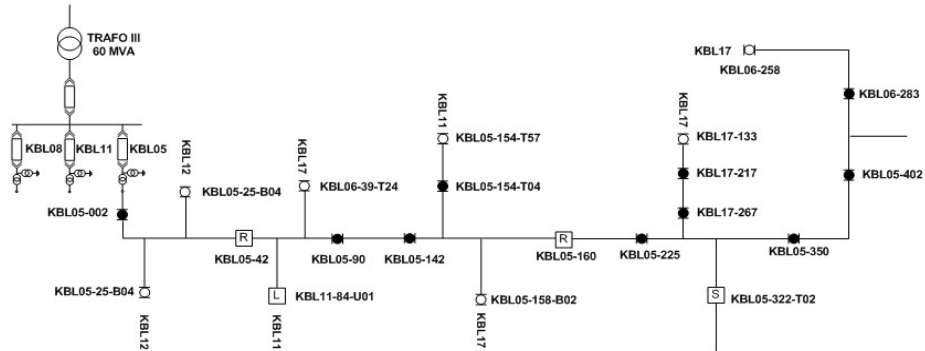
Tabel 4.1 Pembebanan GI Kalibakal 01 Juni 2021

TRAFO	No	Feeder	JAM 10:00			JAM 19:00			Beban Tidak Seimbang (%)	
			Beban Feeder (Ampere)			Beban Tidak Seimbang (%)	Beban Feeder (A)			
			R	S	T		R	S	T	
60	3	KBL05	185	148	195	10,6%	214	156	205	12,4%
		KBL08	197	187	195	2,1%	218	212	237	4,4%
		KBL11	73	69	63	5,2%	90	84	74	7,0%
60	4	KBL09	99	121	128	9,8%	145	169	175	7,4%
		KBL10	279	253	297	5,6%	267	244	276	4,7%
60	5	KBL06	229	251	254	4,3%	213	245	241	5,7%
		KBL07	136	114	128	6,3%	156	130	150	7,0%
		KBL15	101	102	92	4,3%	118	110	105	4,2%
		KBL16	137	159	152	5,5%	150	178	170	6,4%
		KBL17	134	135	150	4,9%	178	185	207	6,0%

Dari Data diatas , Penyulang dengan In Paling tinggi adalah KBL05 yaitu 47 Ampere dengan Persentase ketidakseimbangan beban mencapai 12.4 %. Pada penelitian kali ini akan dilakukan analisis mengenai pengaruh ketidak seimbangan beban terhadap Susut Daya dan Kwalitas Tegangan Pelayanan.



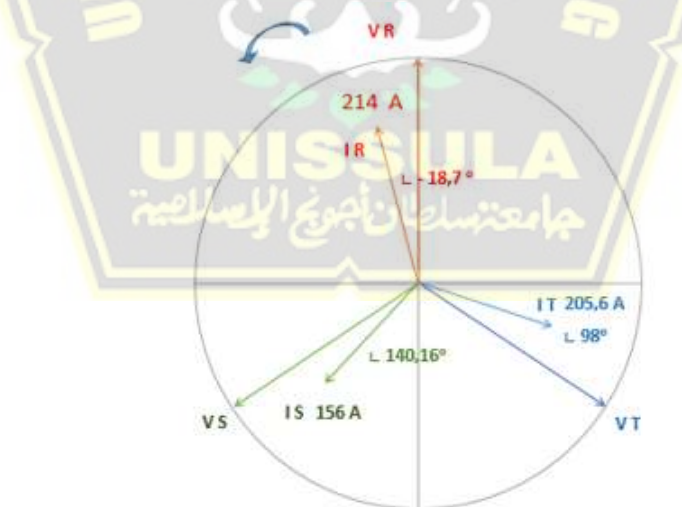
4.2 Single Line Diagram KBL05



Gambar 4.1 *Single line* diagram Gardu Induk Kalibakal

KBL05 Adalah Satu Penyulang dari 3 Penyulang pada Trafo III 60 MVA pada Gardu Induk Kalibakal dengan Panjang 47 kms ,memiliki 3 Zona Proteksi dan 14 Section. KBL05 memiliki Jumlah Trafo CSP 1 Phasa 325 Unit dan Trafo 3 Phasa sebanyak 46 Unit

4.3 Perhitungan Arus Netral KBL05



Gambar 4.2 Diagram Vektor Arus 3 Phasa

Diketahui :

$$I_r = 214 \text{ A} \quad \angle r = -18,77^\circ$$

$$I_s = 156 \text{ A} \quad \angle s = -140,16^\circ$$

$$I_t = 205 \text{ A} \quad \angle t = 98^\circ$$

$$I_{Rr} = I_r \cdot \cos \theta_r = 214 \cdot \cos -18,77^\circ = 202,6 \text{ A}$$

$$I_{Xr} = I_r \cdot \sin \theta_r = 214 \cdot \sin -18,77^\circ = -68,8 \text{ A}$$

$$I_{Rs} = I_s \cdot \cos \theta_s = 156 \cdot \cos -140,16^\circ = 119,7 \text{ A}$$

$$I_{Xs} = I_s \cdot \sin \theta_s = 156 \cdot \sin -140,16^\circ = -99,9 \text{ A}$$

$$I_{Rt} = I_t \cdot \cos \theta_t = 205 \cdot \cos 98^\circ = -28,9 \text{ A}$$

$$I_{Xt} = I_t \cdot \sin \theta_t = 205 \cdot \sin 98^\circ = -202,9 \text{ A}$$

$$I_n = (I_{Rr} + j I_{Xr}) + (I_{Rs} + j I_{Xs}) + (I_{Rt} + j I_{Xt})$$

$$= (202,6 + j -68,8) + (119,7 \text{ A} + j -99,9 \text{ A}) + (-28,9 + j 202,9)$$

$$= 53,892 + j 34,147$$

$$In = \sqrt{53,89^2 + 34,14^2} = 63,79 \text{ A}$$

$$\angle In = \arctan (Nb / Na) = 32,35^\circ$$

Dari perhitungan diatas maka KBL 05 memiliki arus Netral sebesar 63 A dengan sudut 32,35°

4.4 Jaringan Distribusi Penyulang KBL05

Jaringan distribusi primer yang dipakai di wilayah Area Purwokerto menggunakan sistem distribusi dengan rincian sebagai berikut :

- a. Tegangan pada sistem distribusi primer adalah 11,54 / 20 kV dan tegangan rendahnya 220/380 V.
- b. Sistem pentanahannya yaitu titik netral ditanahkan langsung sepanjang saluran dan kawat netral dipakai bersama untuk saluran tegangan menengah dan tegangan rendah yang berada di bawahnya.
- c. Pelayanan beban 3 fasa 4 kawat bertegangan 20 kV dan 1 fasa 2 kawat bertegangan 11,547 kV.

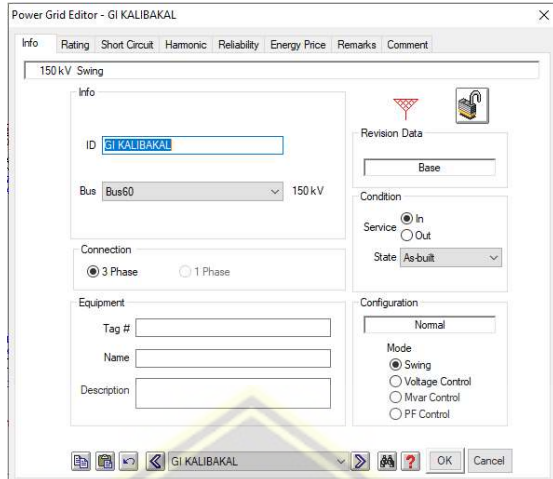
Konstruksi saluran udara terdiri atas :

- a. Kabel Keluaran Kubikel 20 kV menggunakan Kabel N2XSEKBY Ukuran $3 \times 240\text{mm}^2 + \text{AAAC } 150\text{mm}^2$ dengan nilai impedansi $0,100 + j0,094 \Omega/\text{km}$.
- b. Saluran utama (3 fasa) menggunakan kawat AAAC (*ALL Alluminium Alloy Conductor*) dengan ukuran $3 \times 240\text{mm}^2 + 150\text{mm}^2$ untuk sistem 3 fasa 4 kawat dengan nilai impedansi penghantar yaitu $0,1344 + j 0,3158 \Omega/\text{km}$.
- c. Saluran percabangan (1 fasa) menggunakan kawat AAAC (*ALL Alluminium Alloy Conductor*) dengan ukuran $3 \times 70 \text{ mm}^2 + 50 \text{ mm}^2$ untuk sistem 1 fasa 2 kawat dengan nilai impedansi penghantar yaitu $0,4608 + j 0,3572 (\Omega/\text{km})$.

4.5 Pemodelan Single Line Pada Program ETAB

Setelah semua data penunjang simulasi ETAP terkumpul seperti panjang jaringan, resistansi jaringan per km, rating trafo, impedansi urutan nol, positif dan negatif penghantar, persentase pembebanan trafo distribusi, dan dengan berpedoman pada *single line* penyulang Kalibakal 05 yang diperoleh dari PT. PLN (Persero) ULP Purwokerto Kota, penulis membuat pemodelan rangkaian pada program ETAP. Berikut Spesifikasi Data yang dimasukkan dalam Etab :

a. Power Grid



Gambar 4.3 Power Grid Editor



Gambar 4.4 Simbol Power Grid

Pada penelitian kali ini, terlihat pada gambar 4.2, *Power Grid* digunakan untuk system 150 kV yang ada di Gardu Induk Kalibakal. Adapun spesifikasi *power grid* yang dibutuhkan adalah :

1. Tegangan nominal yang digunakan menggunakan tegangan tegangan system 150 kV.
2. Kapasitas hubung singkat (MVAsc). Nilai MVAsc untuk *power grid* pada keluaran trafo adalah sesuai dengan Tabel Arus Hubung Singkat GI/GITET Sistem Jawa Bali Semester 1 Tahun 2020:
 - Kolom 3 fasa = 4091,97 MVAsc.
 - Kolom 1 fasa = 4091,97 MVAsc.

3. Arus hubung singkat = 15,75 kA_{sc}
4. *Short Circuit Impedance (100 MVA base)*

Saat memasukkan spesifikasi kapasitas hubung singkat, maka ETAP akan menghitung nilai arus hubung singkat dan *SC. Impedance* secara otomatis.

b. Data Trafo Tenaga

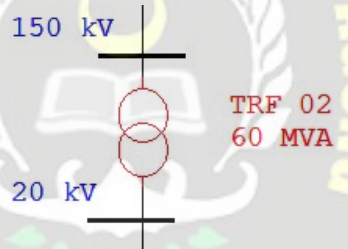
Impedance					Z Base	
	%Z	X/R	R/X	%X	%R	MVA
Positive	12.495	34.115	0.029	12.49	0.366	60
Zero	12.493	44.852	0.022	12.49	0.278	Other 65
<input type="button" value="Typical Z & X/R"/> <input type="button" value="Typical X/R"/>						

Z Variation		Z Tolerance				
@	% Tap	%Z	% Z Variation	+	-	%
-5	% Tap	12.495	0	0	0	%
5	% Tap	12.495	0	0	0	%

No Load Test Data (Used for Unbalanced Load Flow only)				
	% FLA	kW	% G	% B
Positive	0	0	0	0
Zero	0	0	0	0
<input type="checkbox"/> Buried Delta Winding	<input type="button" value="Zero Seq. Impedance"/>		<input type="button" value="Typical Value"/>	

Gambar 4.5 Tranformator Rating

2-Winding Transformer Editor - TRF 02								
Info	Reliability		Remarks					
	Rating	Impedance	Tap	Grounding	Sizing			
60 MVA ANSI Liquid-Fill Other 65 C								
Voltage Rating	kV	FLA	Bus kV/nom					
Prim.	150	230.9	150					
Sec.	20	1732	20					
Other 65								
Power Rating								
	MVA							
Rated	60							
Other 65								
Derated	60							
% Derating								
	0							

Gambar 4.6 *Tranformator Rating*Gambar 4.7 Simbol *Tranformator*

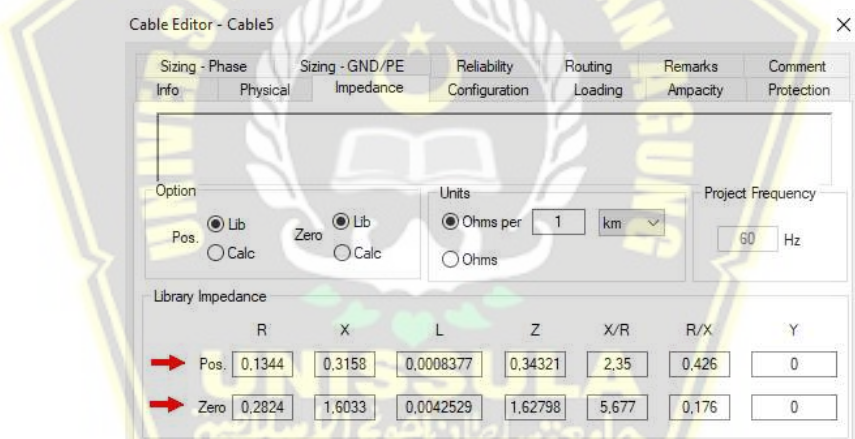
Data Tersebut dimbil dari Namplate Trafo Tenaga GI Kalibakal, dengan rincian sebagai berikut :

Tabel 4.2 Spesifikasi Trafo Tenaga

	HV	LV	
Rate Power	60	60	MVA
Rate Voltage	150	20	kV
Rate Current	230	1732	A
Insulation Level	650	125	kV
Impedansi		12,49	%

POSISI SADAPAN	TEGANGAN SADAPAN (VOLT)	TEGANGAN PENGENAL (VOLT)	POSISI SADAPAN	TEGANGAN SADAPAN (VOLT)	TEGANGAN PENGENAL (VOLT)
1	165750	20000	9	147750	
2	163500		10	145500	
3	161250		11	143250	
4	159000		12	143250	
5	156750		13	132750	
6	154500		14	133500	
7	152250		sd		
8	150000	20000	19	125000	20000

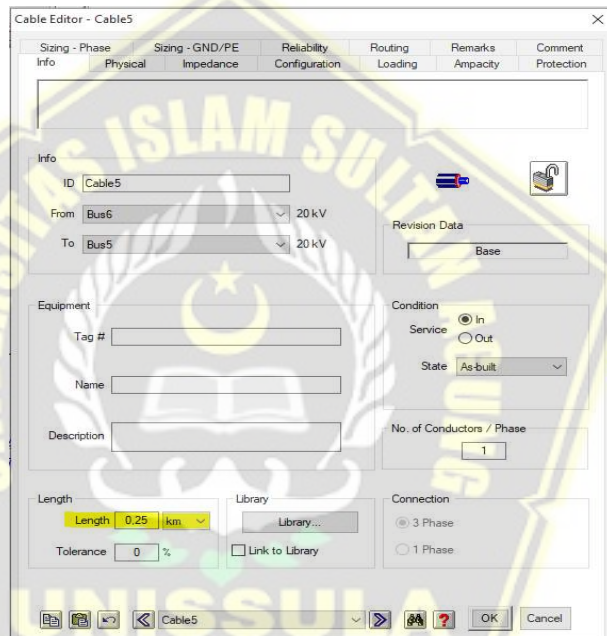
c. Data Penghantar



Gambar 4.8 Cable impedance Editor

Gambar 4.3 diatas merupakan data impedansi yang diisikan pada menu penghantar pada *software* ETAP. Sebelum memasukkan nilai penghantar secara manual, pastikan menggunakan fungsi *user-defined* seperti ditunjukkan pada gambar diatas. Jenis penghantar yang digunakan adalah AAAC dengan spesifikasi sebagai berikut :

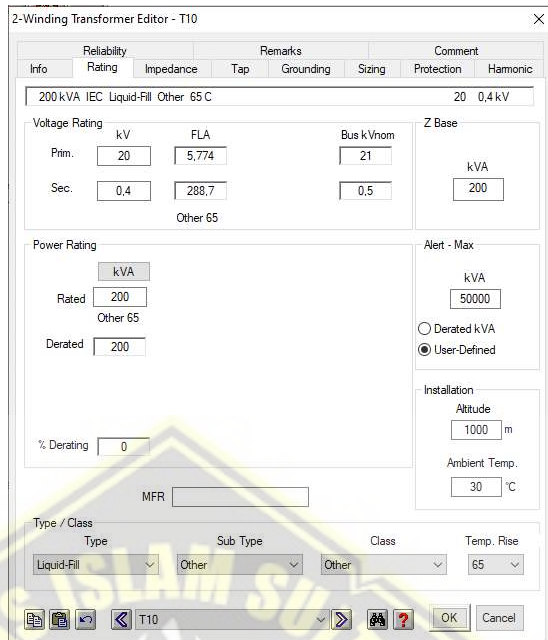
1. Jaringan 3 fasa menggunakan penghantar dengan luas penampang sebesar 240 mm^2 dengan nilai impedansi sebagai berikut :
 - Impedansi urutan positif $= (0,1344 + j 0,3158)$
 - Impedansi urutan nol $= (0,2824 + j 1,6033)$
2. Jaringan 1 fasa menggunakan penghantar dengan luas penampang sebesar 70 mm^2 dengan nilai impedansi sebagai berikut :
 - Impedansi urutan positif $= (0,4608 + j 0,3572)$
 - Impedansi urutan nol $= (0,6088 + j 1,6447)$



Gambar 4.9 Data Panjang Kawat Penghantar

Selain data - data impedansi, dimasukkan juga data panjang penghantar dengan satuan kilometer (km) seperti pada gambar 4.9 diatas. Data panjang penghantar setiap tiang didapatkan dengan melihat *asset management* PT. PLN (Persero) ULP Purwokerto Kota.

d. Data Trafo Distribusi



Gambar 4.10 2 Winding Trafo Editor

Parameter Trafo didapatkan dari Namplate Trafo Distribusi 3 Phasa dan 1 Phasa dengan Data sebagai berikut :

Tabel 4.3 Namplate Trafo CSP 1 Phasa

	HV	LV	MVA
Rate Power	50	50	MVA
Rate Voltage	11547	462/231	V
Rate Current	4,33	108,22 / 216,45	A
Insulation Level	125	0,1	kV
Impedansi		2,5	%

POSISI SADAPAN	TEGANGAN SADAPAN (VOLT)
1	12702
2	12124
3	11547
4	10970
5	10392

POSISI SADAPAN	TEGANGAN SADAPAN (VOLT)	TEGANGAN PENGENAL (
231	X1 - X4	X1 - X2 X3 - X4
462	X1 - X4	X3-X3

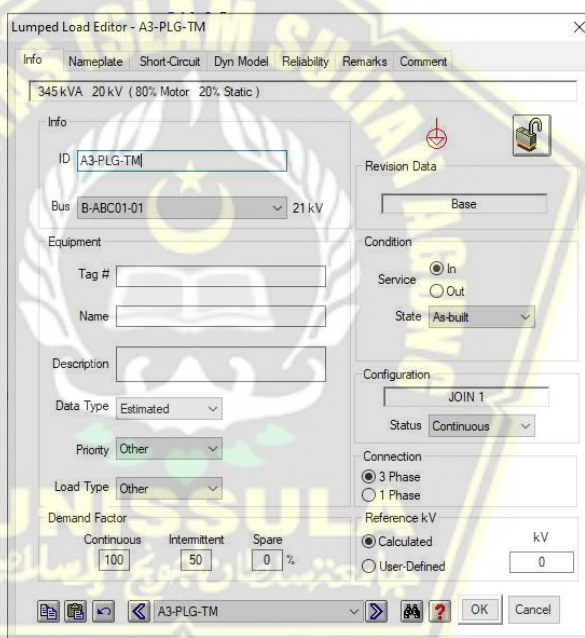
Tabel 4.4 Namplate Trafo Distribusi 3 Phasa

	HV	LV	
Rate Power	50	50	MVA
Rate Voltage	11547	462/231	V
Rate Current	4,33	108,22 / 216,45	A
Insulation Level	125	0,1	kV
Impedansi		2,5	%

POSISI SADAPAN	TEGANGAN SADAPAN (VOLT)
1	12702
2	12124
3	11547
4	10970
5	10392

POSISI SADAPAN	TEGANGAN SADAPAN (VOLT)	TEGANGAN PENGENAL (
231	X1 - X4	X1 - X2 X3 - X4
462	X1 -X4	X3-X3

e. Data pembabanan

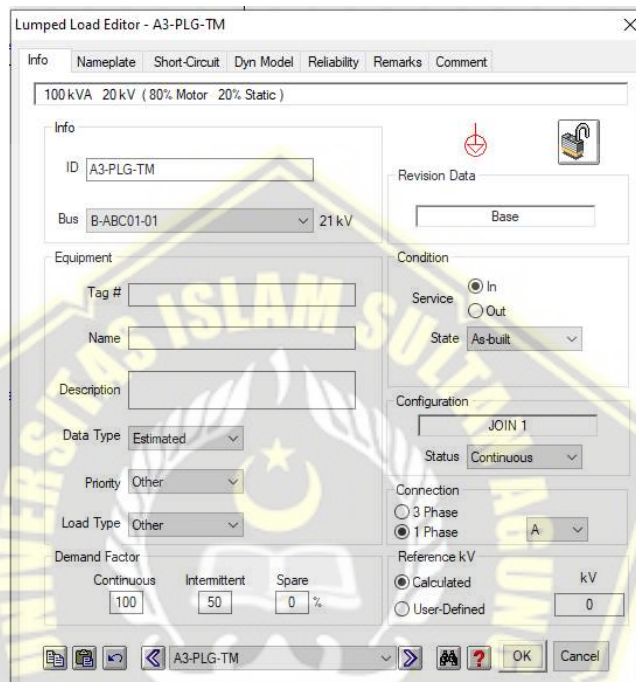


Gambar 4.11 Load Editor (3 Phasa)

Data *static load* pada gambar 4.5 diatas digunakan untuk mewakili trafo 1 fasa yang ada di jaringan distribusi penyulang rawalo 3. Pada menu diatas terdapat fungsi *connection* yang digunakan untuk menentukan sambungan trafo

pada masing - masing fasa. Ada 2 jenis *connection* yaitu 3 *phase* dan 1 *phase*. Untuk hubungan 1 *phase* dapat dijelaskan sebagai berikut.

- connection A* mewakili fasa R
- connection B* mewakili fasa S
- connection C* mewakili fasa T



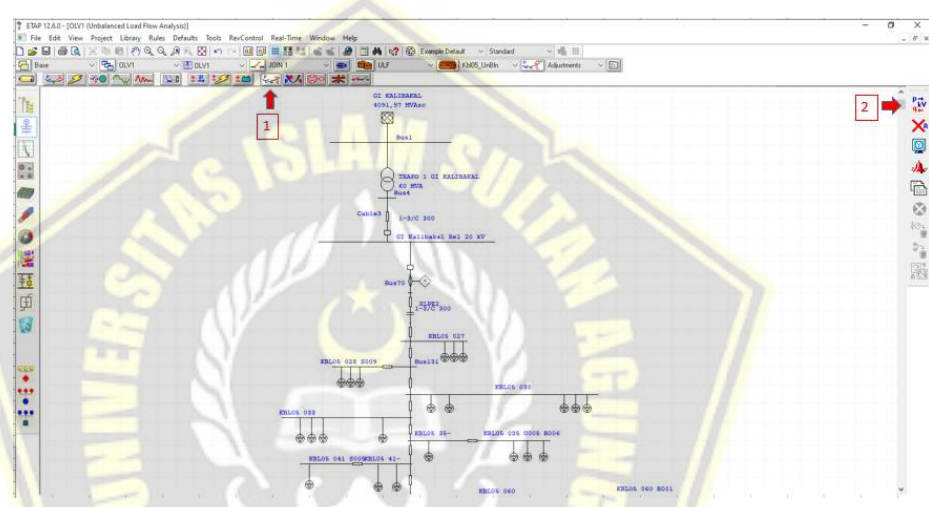
Gambar 4.12 Load Editor (1 Phasa)

Untuk trafo 1 fasa, maka *rated* tegangan yang digunakan sebesar 11.547 kV yang merupakan tegangan antara fasa - netral. Data *lumped load* yang dapat terlihat pada gambar 4.6 mewakili trafo 3 fasa yang ada di jaringan distribusi penyulang rawalo 3. Untuk trafo 3 fasa, maka *rated* tegangan bernilai 20 kV yang merupakan nilai tegangan antar fasa. Besarnya pembebanan (kVA) trafo distribusi yang merupakan beban pada siang hari dapat dilihat pada lampiran 1.

Setelah semua data yang diperlukan simulasi dimasukkan ke dalam program ETAP, selanjutnya simulasi dijalankan dengan menggunakan *unbalanced load*

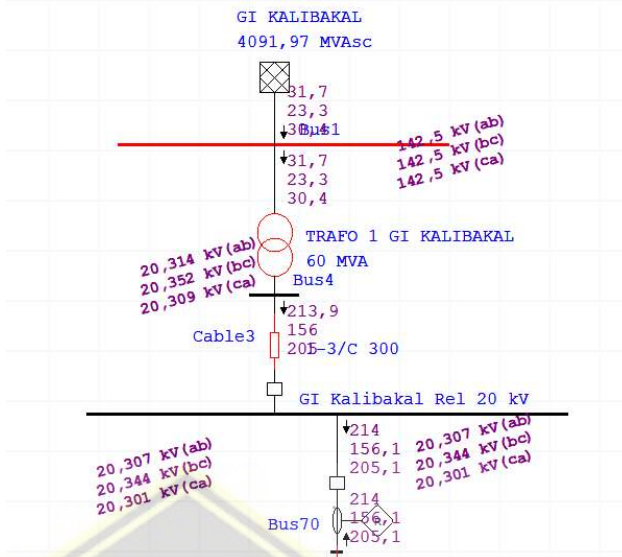
flow analysis untuk mengetahui besar arus masing - masing fasa. Berikut ini merupakan tampilan gambar langkah - langkah untuk melakukan simulasi dengan menggunakan menu *unbalanced load flow analysis*.

Setelah semua data yang diperlukan simulasi dimasukkan ke dalam program ETAP, selanjutnya simulasi dijalankan dengan menggunakan *unbalanced load flow analysis* untuk mengetahui besar arus masing - masing fasa. Berikut ini merupakan tampilan gambar langkah - langkah untuk melakukan simulasi dengan menggunakan menu *unbalanced load flow analysis*.



Gambar 4.13 Langkah menjalankan program *Unbalanced Load Flow Analysis*

Langkah eksekusi program diawali dengan memilih menu *Unbalanced Load Flow Analysis* yang ditunjukan pada gambar 4.7 panah nomor 1. Kemudian memilih *Run Unbalanced Load Flow* yang ditunjuk panah nomor 2. Berikut hasil nilai arus yang didapatkan pada masing - masing fasa.



Gambar 4.14 Hasil *running* sebelum pemerataan beban

Dari gambar 4.8 diatas maka arus fasa (R, S, T) pada saat kondisi sebelum pemerataan beban dapat dilihat pada tabel 4.2 di bawah ini. Setelah mendapatkan nilai arus masing - masing fasa, kemudian dapat dicari nilai arus rata - rata yang digunakan sebagai nilai pedoman untuk mendapatkan nilai arus yang setimbang. Ketiga arus dapat dikatakan seimbang jika nilainya sama dengan arus rata - rata atau mendekati nilai arus rata - rata..

$$I_{\text{rata-rat}} = \frac{I_r + I_s + I_t}{3} = \frac{214 + 156,1 + 205,1}{3} = 191,67 \text{ A}$$

Dengan menggunakan persamaan (2.15), koefisien a, b, dan c dapat diketahui besarnya. Dalam keadaan seimbang, besarnya arus masing - masing fasa sama dengan besarnya arus rata - rata (I_{rata})

$$\begin{aligned}
 [I_r] &= a [I] \text{ maka : } a = \frac{I_r}{I} = \frac{214}{191,67} = 1,12 \\
 [I_s] &= b [I] \text{ maka : } b = \frac{I_s}{I} = \frac{156,1}{191,67} = 0,81 \\
 [I_t] &= c [I] \text{ maka : } c = \frac{I_t}{I} = \frac{205,1}{26,06} = 1,07
 \end{aligned}$$

Pada keadaan seimbang, besarnya koefisien a, b dan c adalah 1. Dengan demikian, rata - rata ketidakseimbangan beban (dalam %) pada siang hari sebesar:

$$\begin{aligned}
 \%Ub &= \frac{\{|a-1| + |b-1| + |c-1|\}}{3} \times 100\% \\
 &= \frac{\{|1,12-1| + |0,81-1| + |1,07-1|\}}{3} \times 100\% \\
 &= \frac{\{0,12+0,81+0,07\}}{3} \times 100\% \\
 &= 12,4\%
 \end{aligned}$$

Beberapa Hal yang menyebabkan Beban Penyalang KBL05 tidak Seimbang :

- a. Penempatan Sambungan Phasa dan Besar Beban Taping 1 Phasa.

Tabel 4.5 Pengukuran Taping 1 Phasa 20 kV

No	NO TIANG	Waktu Pengukuran		Arus (A)		
		Tanggal	Jam	R	S	T
1	KBL05 041 S005	1 Juni 2020	18:30	2,70		
2	KBL05 060 B001	1 Juni 2020	18:36	3,90		
3	KBL05 066 T001	1 Juni 2020	18:45		29,40	
4	KBL05 070 B001	1 Juni 2020	18:59	2,20		
5	KBL05 078 T001	1 Juni 2020	19:02			2,90
6	KBL05 086 S005	1 Juni 2020	19:08	21,40		
7	KBL05 088 U001	1 Juni 2020	19:15	4,80		
8	KBL05 102 U001	1 Juni 2020	19:22	11,20		
9	KBL05 110 U001	1 Juni 2020	19:29	21,20		
10	KBL05 112 T001	1 Juni 2020	19:36		26,20	
11	KBL05 146 B001	1 Juni 2020	19:43	2,60		
12	KBL05 153 T015 U001	1 Juni 2020	19:50	1,70		
13	KBL05 153 T044 U001	1 Juni 2020	19:57	14,90		
14	KBL05 153 T050 U001	1 Juni 2020	18:24	2,10		
15	KBL05 174 T001	1 Juni 2020	18:33			27,90
16	KBL05 175 B001	1 Juni 2020	18:42	8,10		
17	KBL05 204 T001	1 Juni 2020	18:51		32,00	
18	KBL05 210 T001	1 Juni 2020	19:00	21,50		
19	KBL05 217 T001	1 Juni 2020	19:09	13,10		
20	KBL05 225 B001	1 Juni 2020	19:18	6,70		
21	KBL05 247 T001	1 Juni 2020	19:27			24,60
22	KBL05 259 T001	1 Juni 2020	19:36		7,90	
23	KBL05 316 B01	1 Juni 2020	19:45	4,30		
24	KBL05 331 U01	1 Juni 2020	19:54			22,20
25	KBL05 351 S03	1 Juni 2020	20:03			27,20



Gambar 4.15 Taping 1 Phasa 20 kV

b. Penempatan Sambungan Phasa Trafo CSP pada Jaringan utama 3 Phasa.

Terdapat 65 Unit Trafo 1 Phasa pada Jalur 3 Phasa penyulang KBL05 dengan penjamperan phasa sesuai dengan data yang diambil dari PT. PLN (Persero) ULP Purwokerto Kota.

Tabel 4.6 Sambungan Phasa dan Pengukuran Trafo CSP pada Jalur Utama.

NO	NO GARDU	NO TIANG/ NO GARDU	Arus (A)	ALAMAT	MERK	PHS	KVA	KET
1	GD-CSP-0001	KBL 05 029	1,070	MERSI	VOLTRA	T	50	1 JUNI 2021 18:14
2	GD-CSP-0002	KBL 05 030	2,007	MERSI	BD	T	50	1 JUNI 2021 18:13
3	GD-CSP-0003	KBL 05 031	1,612	MERSI	TRAFINDO	R	50	1 JUNI 2021 19:21
4	GD-CSP-0004	KBL 05 035	1,824	POLTEKES	VOLTRA	T	50	1 JUNI 2021 19:18
5	GD-CSP-0005	KBL 05 037	2,667	POLTEKES	TRAFINDO	T	50	1 JUNI 2021 19:34
6	GD-CSP-0006	KBL 05 041	1,158	POLTEKES	SINTRA	R	50	1 JUNI 2021 19:38
7	GD-CSP-0007	KBL 05 045	1,380	POLTEKES	TRAFINDO	T	50	1 JUNI 2021 19:46
8	GD-CSP-0008	KBL 05 060	1,508	STIKES	BD	R	50	1 JUNI 2021 19:44
9	GD-CSP-0009	KBL 05 064	2,259	STIKES	BD	T	50	1 JUNI 2021 19:57
10	GD-CSP-0010	KBL 05 067	2,631	STIKES	TRAFINDO	T	50	1 JUNI 2021 19:54
11	GD-CSP-0011	KBL 05 069	1,284	STIKES	SINTRA	R	50	1 JUNI 2021 20:11
12	GD-CSP-0012	KBL 05 070	1,698	STIKES	SINTRA	T	50	1 JUNI 2021 20:09
13	GD-CSP-0013	KBL 05 071	2,027	STIKES	TRAFINDO	T	50	1 JUNI 2021 20:25
14	GD-CSP-0014	KBL 05 073	1,166	STIKES	TRAFINDO	T	50	1 JUNI 2021 20:24
15	GD-CSP-0015	KBL 05 076	2,467	STIKES	SINTRA		50	1 JUNI 2021 20:35
16	GD-CSP-0015A	KBL 05 078	2,269	STIKES	BD	R	50	1 JUNI 2021 20:34

NO	NO GARDU	NO TIANG/ NO GARDU	Arus (A)	ALAMAT	MERK	PHS	KVA	KET
17	GD-CSP-0015B	KBL 05 081	0,608	DAMPIT	TRAFINDO	R	50	1 JUNI 2021 20:44
18	GD-CSP-0015C	KBL 05 083	1,794	DAMPIT	SINTRA		50	1 JUNI 2021 20:40
19	GD-CSP-0016	KBL 05 086	2,953	DAMPIT	BD	T	50	1 JUNI 2021 21:10
20	GD-CSP-0017	KBL 05 093	1,658	DAMPIT	BD	R	50	1 JUNI 2021 21:25
21	GD-CSP-0018	KBL 05 095	1,336	DAMPIT	SINTRA	T	50	2 JUNI 2021 18:12
22	GD-CSP-0019	KBL 05 101	2,013	DAMPIT	BD	T	50	2 JUNI 2021 18:18
23	GD-CSP-0020	KBL 05 104	1,704	DAMPIT	SINTRA	T	50	2 JUNI 2021 18:21
24	GD-CSP-0021	KBL 05 106	1,652	DAMPIT	SINTRA	T	50	2 JUNI 2021 18:20
25	GD-CSP-0022	KBL 05 107	1,456	DAMPIT	SINTRA	T	50	2 JUNI 2021 18:38
26	GD-CSP-0023	KBL 05 113	1,280	KARANG SARI	SINTRA	T	50	2 JUNI 2021 18:41
27	GD-CSP-0024	KBL 05 115	0,758	KARANG SARI	TRAFINDO	T	50	2 JUNI 2021 18:55
28	GD-CSP-0025	KBL 05 120	1,864	KARANG SARI	SINTRA	S	50	2 JUNI 2021 18:54
29	GD-CSP-0026	KBL 05 124	1,736	LARANGAN	SINTRA	S	50	2 JUNI 2021 19:05
30	GD-CSP-0027	KBL 05 128	2,373	LARANGAN	SINTRA	T	50	2 JUNI 2021 19:11
31	GD-CSP-0028	KBL 05 130	0,446	LARANGAN	TRAFINDO	T	50	2 JUNI 2021 19:05
32	GD-CSP-0029	KBL 05 136	1,572	LARANGAN	SINTRA	T	50	2 JUNI 2021 19:08
33	GD-CSP-0030	KBL 05 141	1,890	LARANGAN	SINTRA	S	50	2 JUNI 2021 19:30
34	GD-CSP-0031	KBL 05 143	1,354	LARANGAN	TRAFINDO	S	50	2 JUNI 2021 19:45
35	GD-CSP-0032	KBL 05 181	2,915	SUMBANG	BD	R	50	2 JUNI 2021 19:49
36	GD-CSP-0033	KBL 05 184	0,700	SUMBANG	SINTRA	T	50	2 JUNI 2021 20:11
37	GD-CSP-0034	KBL 05 198	1,844	SUMBANG	TRAFINDO	S	50	2 JUNI 2021 20:12
38	GD-CSP-0035	KBL 05 206	1,500	CIBEREM	UNINDO	T	50	2 JUNI 2021 20:25
39	GD-CSP-0036	KBL 05 209	0,264	CIBEREM	SINTRA	R	50	2 JUNI 2021 20:26
40	GD-CSP-0037	KBL 05 216	1,506	CIBEREM	BD	S	50	2 JUNI 2021 20:35
41	GD-CSP-0038	KBL 05 220	1,396	CIBEREM	BD	T	50	2 JUNI 2021 20:36
42	GD-CSP-0039	KBL 05 225	1,440	CIBEREM	BD	T	50	2 JUNI 2021 20:45
43	GD-CSP-0040	KBL 05 240	1,480	CEHENG	SINTRA	R	50	2 JUNI 2021 20:54
44	GD-CSP-0041	KBL 05 241	0,572	CEHENG	BD	S	50	2 JUNI 2021 21:02
45	GD-CSP-0042	KBL 05 263	1,316	CEHENG	VOLTRA	T	50	2 JUNI 2021 21:05
46	GD-CSP-0043	KBL 05 295	0,630	CEHENG	BD	R	50	2 JUNI 2021 21:11
47	GD-CSP-0044	KBL 05 352	0,382	CEHENG	SINTRA	R	50	2 JUNI 2021 21:15
48	GD-CSP-0045	KBL 05 354	0,744	GANDATAPA	UNINDO	S	50	3 JUNI 2021 18:15
49	GD-CSP-0046	KBL 05 365	0,772	WATU JARAN	SINTRA	T	50	3 JUNI 2021 18:25
50	GD-CSP-0047	KBL 05 401	0,254	BATURADEN	VOLTRA	T	50	3 JUNI 2021 18:24
51	GD-CSP-0048	KBL 05 430	0,180	BATURADEN	BD		50	3 JUNI 2021 18:35
52	GD-CSP-0049	KBL 05 433	0,194	BATURADEN	TRAFINDO	S	50	3 JUNI 2021 18:36
53	GD-CSP-0050	KBL 05 446	0,210	BATURADEN	EBT	R	50	3 JUNI 2021 18:48
54	GD-CSP-0051	KBL 06 279	1,706	BATURRADEN	TRAFINDO	S	50	3 JUNI 2021 18:58
55	GD-CSP-0052	KBL 06 276	1,454	BATURRADEN	SINTRA	S	50	3 JUNI 2021 19:05
56	GD-CSP-0053	KBL 06 275	1,168	BATURRADEN	SINTRA	T	50	3 JUNI 2021 19:04
57	GD-CSP-0054	KBL 06 270	1,258	BATURRADEN	BD	S	50	3 JUNI 2021 19:11
58	GD-CSP-0055	KBL 06 266	0,652	BATURRADEN	TRAFINDO	T	50	3 JUNI 2021 19:12
59	GD-CSP-0056	KBL 06 264	1,888	BATURRADEN	SINTRA	S	50	3 JUNI 2021 19:25
60	GD-CSP-0057	KBL 06 260	1,502	BATURRADEN	TRAFINDO	S	50	3 JUNI 2021 19:26
61	GD-CSP-0058	KBL 06 255	1,656	BATURRADEN	SINTRA	R	50	3 JUNI 2021 19:35
62	GD-CSP-0059	KBL 06 252	1,782	BATURRADEN	BD	R	50	3 JUNI 2021 19:45
63	GD-CSP-0060	KBL 06 250	1,438	BATURRADEN	SINTRA	R	50	3 JUNI 2021 20:05
64	GD-CSP-0061	KBL 06 232	1,540	BATURRADEN	BD	T	50	3 JUNI 2021 20:11
65	GD-CSP-0062	KBL 06 231	0,724	BATURRADEN	JP	S	50	3 JUNI 2021 20:25



Gambar 4.16 Sambungan Trafo 1 Phasa Pada Jalur Utama 20 kV

c. Ketidakseimbangan beban Pada Pelanggan 3 Phasa

Terdapat Sejumlah 46 Pelanggan 3 Phasa Pada Penyalang KBL05 . Pengambilan data pembebanan dilakukan menggunakan system AMR (Automatic mater Reading) dengan Pengambilan data saat waktu beban malam menyesuaikan pengukuran pada Taping 1 phasa.

Tabel 4.7 Beban Pelanggan 3 Phasa

No	Section		Daya (kVA)	READ_DATE	Rasio Sec	Arus (A)		
	I	II				R	S	T
1	ABSW I	KBL05-42	33000	1-JUNI-21 19:01:05	1	1,09	0,12	0,00
2	ABSW I	KBL05-42	82500	1-JUNI-21 19:11:10	5	0,31	0,29	0,50
3	ABSW I	KBL05-42	33000	1-JUNI-21 19:15:07	1	0,01	0,01	0,08
4	ABSW I	KBL05-42	33000	1-JUNI-21 19:14:08	1	0,33	0,32	0,38
5	ABSW I	KBL05-42	41500	1-JUNI-21 19:01:09	1	0,07	0,15	0,18
6	ABSW I	KBL05-42	82500	1-JUNI-21 19:03:10	5	0,73	0,64	0,53
7	KBL05-42	KBL05-90	66000	1-JUNI-21 19:05:59	5	1,35	0,85	0,82
8	KBL05-42	KBL05-90	66000	1-JUNI-21 19:10:54	5	1,22	2,14	1,24
9	KBL05-42	KBL05-90	41500	1-JUNI-21 19:17:21	1	0,01	0,01	0,12
10	KBL05-42	KBL05-90	33000	1-JUNI-21 19:18:20	1	0,82	0,52	0,59
11	KBL05-42	KBL05-90	66000	1-JUNI-21 19:05:15	5	0,05	0,35	0,28
12	KBL05-42	KBL05-90	82500	1-JUNI-21 19:04:47	5	0,04	0,26	0,50

No	Section		Daya (kVA)	READ_DATE	Ratio Sec	Arus (A)		
	I	II				R	S	T
13	KBL05-42	KBL05-90	53000	1-JUNI-21 19:00:11	5	0,03	0,05	0,07
14	KBL05-42	KBL05-90	33000	1-JUNI-21 19:08:15	1	0,05	0,07	0,02
15	KBL05-42	KBL05-90	53000	1-JUNI-21 19:14:17	5	0,50	0,17	0,47
16	KBL05-42	KBL05-90	197000	1-JUNI-21 19:15:17	5	0,88	0,60	0,51
17	KBL05-42	KBL05-90	240000	1-JUNI-21 19:14:54	5	2,29	2,49	2,28
18	KBL05-42	KBL05-90	41500	1-JUNI-21 19:24:15	1	0,08	0,15	0,29
19	KBL05-90	KBL05-142	53000	1-JUNI-21 19:28:32	5	1,21	0,44	0,60
20	KBL05-90	KBL05-142	33000	1-JUNI-21 19:27:14	1	0,18	0,07	0,08
21	KBL05-142	KBL05-225	105000	1-JUNI-21 19:24:54	5	0,16	0,02	0,02
22	KBL05-142	KBL05-225	33000	1-JUNI-21 19:08:14	1	0,02	0,06	0,04
23	KBL05-142	KBL05-225	131000	1-JUNI-21 19:45:14	5	0,65	1,12	1,24
24	KBL05-142	KBL05-225	53000	1-JUNI-21 19:24:10	5	0,00	0,00	0,04
25	KBL05-225	KBL05-350	147000	1-JUNI-21 19:12:18	5	0,02	0,09	0,02
26	KBL05-225	KBL05-350	33000	1-JUNI-21 19:15:15	1	0,03	0,09	0,03
27	KBL05-225	KBL05-350	33000	1-JUNI-21 19:25:24	1	0,68	0,71	0,74
28	KBL05-225	KBL05-350	33000	1-JUNI-21 19:04:11	1	0,04	0,04	0,04
29	KBL05-225	KBL05-350	197000	1-JUNI-21 20:01:54	5	3,42	3,68	3,77
30	KBL05-225	KBL05-350	197000	1-JUNI-21 20:05:11	5	3,01	2,92	2,80
31	KBL05-225	KBL05-350	197000	1-JUNI-21 20:02:24	5	3,47	3,78	3,82
32	KBL05-225	KBL05-350	105000	1-JUNI-21 20:14:08	5	1,73	1,79	1,84
33	KBL05-225	KBL05-350	197000	1-JUNI-21 20:15:25	5	1,36	1,45	1,51
34	KBL05-350	KBL05-402	82500	1-JUNI-21 20:14:47	5	1,97	1,58	2,03
35	KBL05-403	KBL06-284	131000	1-JUNI-21 20:25:27	5	1,92	2,36	2,38
36	KBL05-404	KBL06-285	105000	1-JUNI-21 20:34:25	5	0,35	0,41	0,81
37	KBL06-283	KBL06-258	33000	1-JUNI-21 20:05:11	1	0,22	0,10	0,14
38	KBL06-283	KBL06-258	41500	1-JUNI-21 20:54:17	1	0,49	0,03	0,28
39	KBL06-283	KBL06-258	131000	1-JUNI-21 20:25:17	5	0,27	0,34	0,22
40	KBL06-283	KBL06-258	41500	1-JUNI-21 20:15:18	1	0,05	0,05	0,18
41	KBL06-283	KBL06-258	240000	1-JUNI-21 20:07:20	5	0,00	0,00	0,00
42	KBL06-283	KBL06-258	33000	1-JUNI-21 20:05:11	1	0,00	0,00	0,00
43	KBL06-283	KBL06-258	41500	1-JUNI-21 20:05:08	1	0,27	0,23	0,32
44	KBL06-283	KBL06-258	240000	1-JUNI-21 20:48:05	5	0,03	0,05	0,03
45	KBL06-283	KBL06-258	41500	1-JUNI-21 20:08:28	1	0,69	0,95	0,80
46	KBL06-283	KBL06-258	164000	1-JUNI-21 20:04:57	5	0,66	0,79	0,70

Jaringan KBL 05 merupakan jaringan dengan Tipe Open Loop dimana Perubahan Konfigurasinya dapat melalui peralihan Section ke penyulang lain. Sehingga dilakukan pengambilan data beban persection untuk merencanakan Penyeimbangan beban pada penyulang KBL05 dengan data pembebanan sebagai berikut :

Tabel 4.8 Ketidakseimbangan beban KBL05

No	Section Awal	Section Ahir	Beban Feeder (A)			[Ir]	[Is]	[Ib]	%Ub
			R	S	T				
1	PMT KBL05	RECLOSER KBL5 42	6,8	1,3	9,1	1,19	0,23	1,59	51,55%
2	ABSW KBL42	ABSW KBL5 90	55,6	45,9	37,9	1,20	0,99	0,82	13,10%
3	ABSW KBL5 90	ABSW KBL5 142	35,6	26,5	10,7	1,47	1,09	0,44	37,27%
4	ABSW KBL5 142	ABSW KBL5 225	18,5	40,8	33,8	0,60	1,31	1,09	26,92%
5	ABSW KBL5 225	ABSW KBL5 350	84,2	23,5	69,5	1,43	0,40	1,18	40,14%
6	ABSW KBL5 350	ABSW KBL5 402	2,1	2,5	34,6	0,16	0,19	2,65	109,86%
7	ABSW KBL5 402	ABSW KBL6 283	2,8	3,1	3,1	0,93	1,03	1,03	4,44%
8	ABSW KBL6 283	ABSW KBL6 283	8,4	12,5	6,4	0,92	1,37	0,70	24,91%
Total			214	156,1	205,1	1,12	0,81	1,07	12,39%

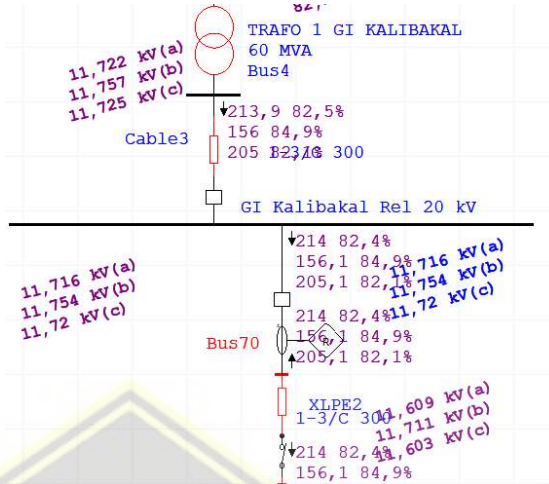
Dari table diatas , Nampak bahwa Komposisi pembebanan persection pada penyulang KBL05 tidak linier dengan Total pembebanan pada Penyulang KBL05. Sehingga perencanaan Penyeimbangan bahan akan merujuk pada Penyeimbangan beban Persection dengan pertimbangan sebagai berikut :

1. Besaran arus pada masing masing Bus akan seimbang sehingga dampak susut Teknis akan lebih efisien.
2. Apabila terjadi perubahan konfigurasi maka beban yang dilimpah tidak berdampak pada penambahan ketidakseimbangan beban pada penyulang yang menerima beban

4.6 Hasil Simulasi Susut Daya

Setelah Parameter Beban pada masing masing Bus dimasukkan. Maka akan didapatkan simulasi Pembelan Jaringan KBL05 pada kondisi Existing. Tahap berikutnya adalah perhitungan nilai susut daya dengan tahapan sebagai berikut :

a. Nilai Susut Daya Pada Penyulang KBL05 kondisi Existing



Gambar 4.17 Hasil Running Unbalanced Load Analysis

Berikut perhitungan Susut pada section Pertama Penyulang KBL05

1. Perhitungan Daya Aktif (Watt)

$$\begin{aligned}
 P &= (I_R \cdot V_R \cdot \cos \theta_R) + (I_S \cdot V_S \cdot \cos \theta_S) \\
 &\quad + (I_T \cdot V_T \cdot \cos \theta_T) \\
 &= (214 \cdot 11,716 \cdot 0.824) + (156.1 \cdot 11,754 \cdot 0.841) \\
 &\quad + (205.1 \cdot 11,720 \cdot 0.821) \\
 &= 2065952,57 + 1557744,69 + 1973496,81 \\
 &= 5597194,07 \text{ Watt}
 \end{aligned}$$

2. Perhitungan Susut Daya (Watt)

$$\Delta P = (I_R^2 \cdot R) + (I_S^2 \cdot R) + (I_T^2 \cdot R)$$

$$\begin{aligned}
 &= (214^2 \cdot 0,0336) + (156^2 \cdot 0,0336 \Omega) \\
 &\quad + (205^2 \cdot 0,0336 \Omega) \\
 &= 1538,74 + 818,73 + 1413,41 \\
 &= 3770,90 \text{ Watt}
 \end{aligned}$$

$$\text{Susut (\%)} = \frac{P \text{ Susut (Watt)}}{P \text{ Terpakai (Watt)}} \times 100 \%$$

$$\text{Susut (\%)} = \frac{3770,90}{5597194,07} \times 100 \%$$

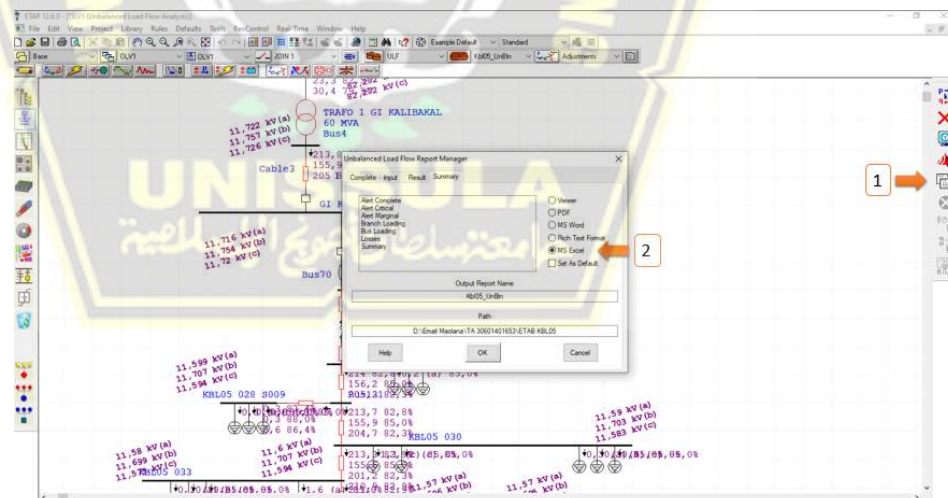
$$\text{Susut (\%)} = 0,067 \%$$

Hasil Susut Daya pada Section Pertama penyulang KBL 05 adalah 3,771 kWatt atau 0,067 %

3. Perhitungan Susut Total(kWatt)

Perhitungan susut Daya sesaat Total menggunakan Unbalance Load Flow Manager

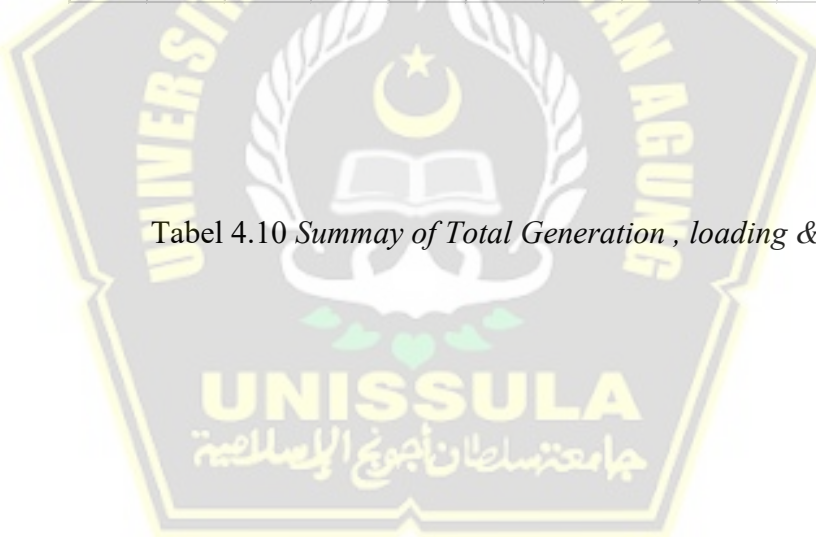
Gambar 4.18 Unbalanced Load Flow Manager KBL05 Existing



Tabel 4.9 Branch Losses Summary Report KBL 05 Exsisting

Branch Losses Summary Report										
CKT/ Branch		From-To Bus Flow		To-From Bus Flow		Losses		% Bus Voltage		Vd
ID	Phase	MW	Mvar	MW	Mvar	kW	kvar	From	To	% Drop in Vmag
Line277	B	0,167	0,100	-0,167	-0,100	0,0	-0,1	97,1	97,1	0,02
	C	0,103	0,060	-0,103	-0,061	0,0	-0,1	88,5	88,5	0,01
	A	0,000	0,000	0,000	0,000	0,0	0,0	95,2	95,2	0,00
Line278	B	0,000	0,000	0,000	0,000	0,0	0,0	97,2	97,2	0,00
	C	-0,209	-0,129	0,209	0,129	0,0	0,0	88,7	88,8	0,01
	A	0,000	0,000	0,000	0,000	0,0	-0,1	95,2	95,2	0,02
Line280	B	0,000	0,000	0,000	0,000	0,0	-0,1	97,1	97,1	0,01
	C	-0,255	-0,158	0,255	0,158	0,1	0,1	88,5	88,5	0,04
	A	0,000	0,000	0,000	0,000	0,0	-0,2	95,9	96,0	0,04
Cable3	B	0,000	0,000	0,000	0,000	0,0	-0,2	99,0	99,0	0,02
	C	0,267	0,166	-0,267	-0,165	0,2	0,1	93,6	93,5	0,10
	A	2,067	1,417	-2,067	-1,418	0,7	-1,1	101,5	101,5	0,05
XLP E2	B	1,558	0,966	-1,558	-0,968	0,3	-1,8	101,8	101,8	0,03
	C	1,974	1,371	-1,973	-1,373	0,8	-1,4	101,5	101,5	0,05
	A	2,067	1,418	-2,066	-1,420	0,9	-1,4	101,5	101,4	0,06
TRAFO 1C	B	1,558	0,968	-1,557	-0,970	0,3	-2,2	101,8	101,8	0,03
	C	1,973	1,373	-1,972	-1,375	1,0	-1,8	101,5	101,4	0,06
	A	2,093	1,554	-2,067	-1,417	25,7	137,1	95,0	101,5	6,51
	B	1,583	1,085	-1,558	-0,966	25,3	118,3	95,0	101,8	6,82
	C	1,999	1,505	-1,974	-1,371	25,6	133,8	95,0	101,5	6,55

Tabel 4.10 Summay of Total Generation , loading & Demand



SUMMARY OF TOTAL GENERATION , LOADING & DEMAND						
	Phase	MW	Mvar	MVA	% PF	
Source (Swing)	A	2,093	1,554	2,607	80,28	Lagging
	B	1,583	1,085	1,919	82,50	Lagging
	C	1,999	1,505	2,503	79,89	Lagging
Source (Non-Swing)	A	0	0	0		
	B	0	0	0		
	C	0	0	0		
Total Demand:	A	2,093	1,554	2,607	80,28	Lagging
	B	1,583	1,085	1,919	82,50	Lagging
	C	1,999	1,505	2,503	79,89	Lagging
Apparent Losses:	A	0,054	0,291			
	B	0,056	0,138			
	C	0,129	0,346			

$$\begin{aligned}
 \text{Susut (\%)} &= \frac{(\text{Losses A} + \text{Losses B} + \text{Losses C})}{(\text{Demand A} + \text{Demand B} + \text{Demand C})} \times 100 \% \\
 &= \frac{(0,054 + 0,056 + 0,129) \text{ Mega Watt}}{(2,093 + 1,583 + 1,999) \text{ Mega Watt}} \times 100 \% \\
 &= \frac{0,239 \text{ Mega Watt}}{5,676 \text{ Mega Watt}} \times 100 \% \\
 &= 4,21 \%
 \end{aligned}$$

4. Rencana Penyeimbangan beban pada Penyulang KBL 05
 - Pemindahan beban pada Trafo CSP 1 Phasa

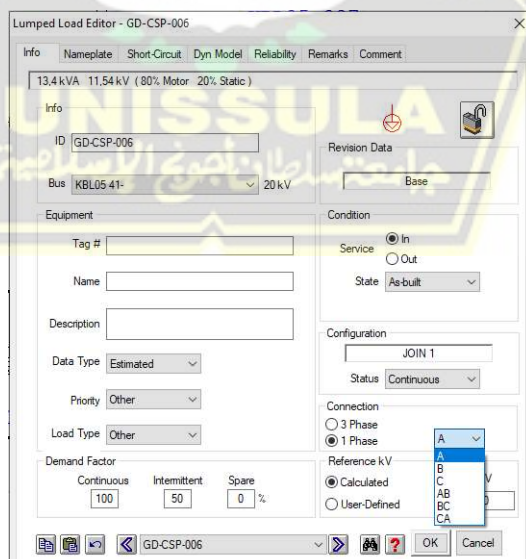
Tabel 4.11 Rencana Pemindahan Beban Trafo CSP

NO	FEEDER	Section		NO GARDU	NO TIANG/	BEBAN (A)	ALAMAT	MERK	Sambungan		KVA
		I	II						Existing	Rencana	
1	KBL 05	KBL05 02	KBL05 42	GD-CSP-0001	KBL 05 029	1,070	MERSI	VOLTRA	T	S	50
2	KBL 05	KBL05 02	KBL05 42	GD-CSP-0004	KBL 05 035	1,824	POLTEKES	VOLTRA	T	S	50
3	KBL 05	KBL05 02	KBL05 42	GD-CSP-0006	KBL 05 041	1,158	POLTEKES	SINTRA	R	S	50
4	KBL 05	KBL05 42	KBL05 90	GD-CSP-0015B	KBL 05 081	0,608		TRAFINDO	R	T	50
5	KBL 05	KBL05 90	KBL05 142	GD-CSP-0025	KBL 05 120	1,864	KARANG SARI	SINTRA	S	T	50
6	KBL 05	KBL05 142	KBL05 283	GD-CSP-0031	KBL 05 143	1,354	LARANGAN	TRAFINDO	S	R	50
7	KBL 05	KBL05 142	KBL05 283	GD-CSP-0034	KBL 05 198	1,844	SUMBANG	TRAFINDO	S	R	50
8	KBL 05	KBL05 142	KBL05 283	GD-CSP-0037	KBL 05 216	1,506	CIBEREM	BD	S	R	50
9	KBL 05	KBL05 142	KBL05 283	GD-CSP-0039	KBL 05 225	1,440	CIBEREM	BD	T	R	50
10	KBL 05	KBL05 142	KBL05 283	GD-CSP-0047	KBL 05 401	0,254	BATURADEN	VOLTRA	T	R	50
11	KBL 06	KBL05 283	KBL05 350	GD-CSP-0061	KBL 06 232	1,540	BATURRADEN	BD	T	R	50

- Pemindahan baban Jaringan 1 Phasa

Tabel 4.12 Rencana Pemindahan Beban Jaringan 1 Phasa

No	SECTION		NO TIANG	BEBAN (A)	SAMBUINGAN	
	I	II			SEBELUM	SESUDAH
1	KBL05-42	KBL05-90	KBL05 060 B001	3,90	R	T
2	KBL05-42	KBL05-90	KBL05 088 U001	4,80	R	T
3	KBL05-90	KBL05-142	KBL05 102 U001	11,20	R	T
4	KBL05-225	KBL05-350	KBL05 316 B01	4,30	R	S
5	KBL05-225	KBL05-350	KBL05 331 U01	22,20	T	R



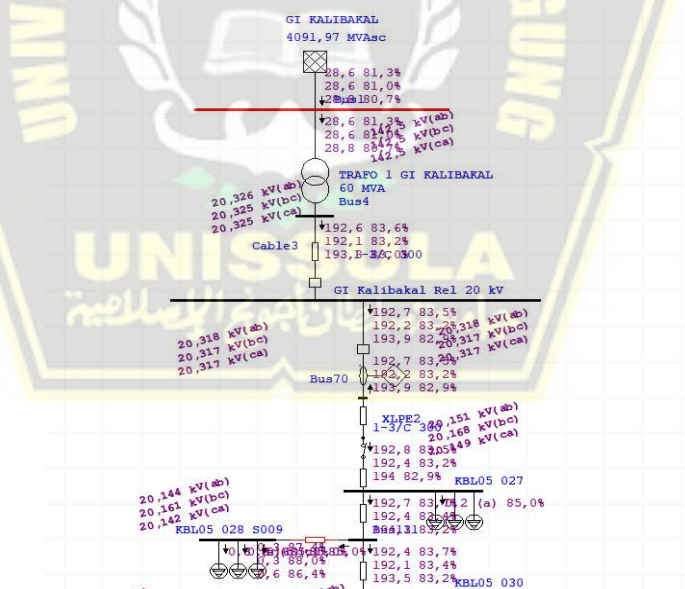
Gambar 4.19 Lump Load Editor

- Beban Per Section setelah Pemindahan Beban

Tabel 4.13 Ketidakseimbangan Beban Per Section

No	Section Awal	Section Akhir	Beban (A)			[Ir]	[Is]	[Ib]	%Ub
			R	S	T				
1	PMT KBL05	RECLOSER KBL5 42	5,6	5,2	6,2	0,99	0,92	1,09	6,27%
2	ABSW KBL42	ABSW KBL5 90	46,3	46	46,9	1,00	0,99	1,01	0,72%
3	ABSW KBL5 90	ABSW KBL5 142	24	26,6	22,1	0,99	1,10	0,91	6,51%
4	ABSW KBL5 142	ABSW KBL5 225	84,6	35,9	38,3	1,60	0,68	0,72	39,88%
5	ABSW KBL5 225	ABSW KBL5 350	16,6	59,2	40,6	0,43	1,53	1,05	38,14%
6	ABSW KBL5 350	ABSW KBL5 402	2,6	2,9	32,6	0,20	0,23	2,57	104,46%
7	ABSW KBL5 402	ABSW KBL6 283	2,8	2,3	2,8	1,06	0,87	1,06	8,44%
8	ABSW KBL6 283	Ujung	10,2	14,1	4,4	1,07	1,47	0,46	36,00%
Total			192,7	192,2	193,9	1,00	1,00	1,01	0,33%

5. Nilai Susut Daya Pada Penyalang KBL05 kondisi Rencana



Gambar 4.20 Hasil Running Unbalanced Load Analysis 2

Tabel 4.14 Summary of total Generation , loading & Demand 2

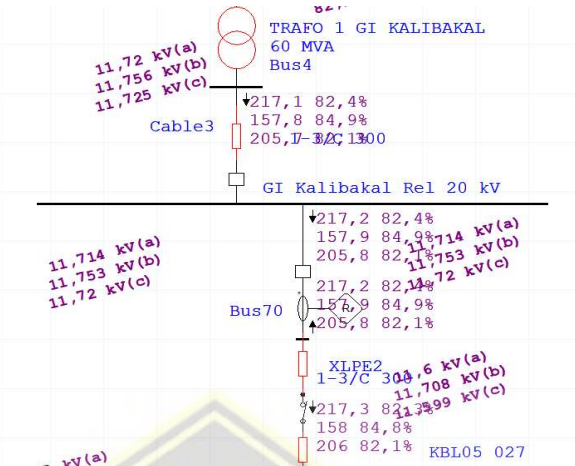
SUMMARY OF TOTAL GENERATION, LOADING & DEMAND						
	Phase	MW	Mvar	MVA	% PF	
Source (Swing)	A	1,914	1,371	2,355	81,30	Lagging
	B	1,902	1,379	2,349	80,97	Lagging
	C	1,913	1,399	2,370	80,71	Lagging
Source (Non-Swing)	A	0	0	0		
	B	0	0	0		
	C	0	0	0		
Total Demand:	A	1,914	1,371	2,355	81,30	Lagging
	B	1,902	1,379	2,349	80,97	Lagging
	C	1,913	1,399	2,370	80,71	Lagging
Apparent Losses:	A	0,084	0,237			
	B	0,086	0,253			
	C	0,063	0,253			
System Mismatch:		0,000	0,000			

$$\begin{aligned}
 \text{Susut (%)} &= \frac{(\text{Losses A} + \text{Losses B} + \text{Losses C})}{(\text{Demand A} + \text{Demand B} + \text{Demand C})} \times 100 \% \\
 &= \frac{(0,084 + 0,086 + 0,063) \text{ Mega Watt}}{(1,914 + 1,902 + 1,913) \text{ Mega Watt}} \times 100 \% \\
 &= \frac{0,233 \text{ Mega Watt}}{5,729 \text{ Mega Watt}} \times 100 \% \\
 &= 4,070 %
 \end{aligned}$$

4.7 Hasil Simulasi Drop Tegangan

Jatuh tegangan merupakan selisih antara tegangan pangkal pengiriman dan tegangan ujung penerimaan. Jatuh tegangan disebabkan oleh Impedansi dan arus yang besarnya tergantung dari impedansi saluran serta faktor daya. Dengan menggunakan *software* ETAP, dapat dilihat nilai tegangan pangkal pengiriman dan tegangan ujung penerimaan pada penghantar KBL05. Besarnya nilai tegangan pangkal dan ujung dapat dilihat pada gambar 4.22 di bawah ini.

a. Perhitungan Jatuh Tegangan Section Pertama pada Kondisi Existing



Gambar 4.21 Pembebatan Pangkal KBL05 Kondisi Eksisting

$$Z = \sqrt{R^2 + X^2} = \sqrt{0,1344^2 + 0,3158^2} = 0,3432 \Omega$$

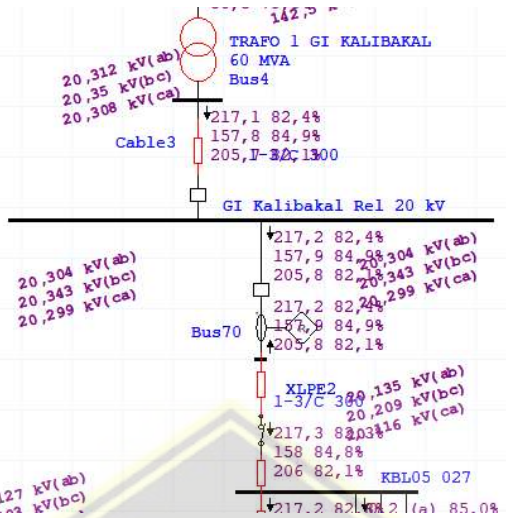
$$Z_{Total} = l \times Z_{Total} = 0,3432 \Omega \times 0,25 Km = 0,0858 \Omega$$

$$\begin{aligned} \Delta V_R &= I_R \times Z_{Total} = 214 A \times 0,0858 \Omega \\ &= 18,36 Volt \end{aligned}$$

$$\begin{aligned} \Delta V_S &= I_S \times Z_{Total} = 156,1 A \times 0,0858 \Omega \\ &= 13,39 Volt \end{aligned}$$

$$\begin{aligned} \Delta V_T &= I_T \times Z_{Total} = 205,1 A \times 0,0858 \Omega \\ &= 17,59 Volt \end{aligned}$$

b. Perhitungan Jatuh Tegangan Komulatif pada kondisi eksisting



Gambar 4.22 Tegangan Pangkal KBL05 Kondisi Eksisting



Gambar 4.23 Tegangan Ujung KBL05 Kondisi Eksisting

$$\Delta V = V_s - V_r \\ Phasa R$$

$$\Delta VR = 11,714 \text{ kV} - 10,937 \text{ kV} = 0,777 \text{ kV}$$

$$\text{Persentase Drop Tegangan} = \frac{0,777 \text{ kV}}{11,714 \text{ kV}} \times 100\% \\ = 6.63 \%$$

Phasa S

$$\Delta VR = 11,753 \text{ kV} - 11,187 \text{ kV} = 0,566 \text{ kV}$$

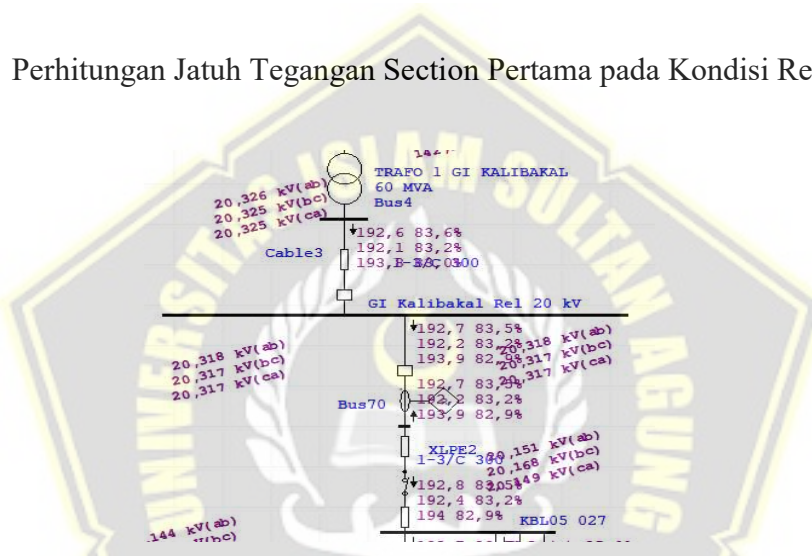
$$\text{Persentase Drop Tegangan} = \frac{0,566 \text{ kV}}{11,753 \text{ kV}} \times 100\% = 4,82 \%$$

Phasa T

$$\Delta VR = 11,720 \text{ kV} - 10,218 \text{ kV} = 1,502 \text{ kV}$$

$$\text{Persentase Drop Tegangan} = \frac{1,502 \text{ kV}}{11,720 \text{ kV}} \times 100\% = 12,85 \%$$

c. Perhitungan Jatuh Tegangan Section Pertama pada Kondisi Rencana



Gambar 4.24 Pembebanan Pangkal KBL05 Kondisi Rencana

$$Z = \sqrt{R^2 + X^2} = \sqrt{0,1344^2 + 0,3158^2} = 0,3432 \Omega$$

$$Z \text{ Total} = l \times Z \text{ Total} = 0,3432 \Omega \times 0,25 \text{ Km} = 0,0858 \Omega$$

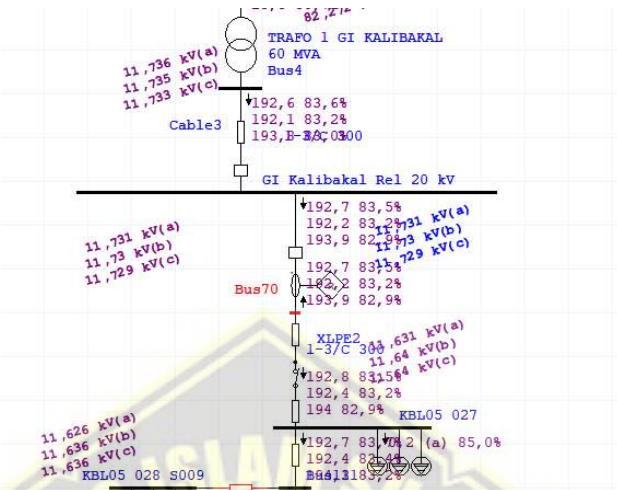
$$\Delta V_R = I_R \times Z = 192,7 \text{ A} \times 0,0858 \Omega = 16,53 \text{ Volt}$$

$$\Delta V_S = I_S \times Z \text{ Total} = 192,2 \text{ A} \times 0,0858 \Omega = 16,49 \text{ Volt}$$

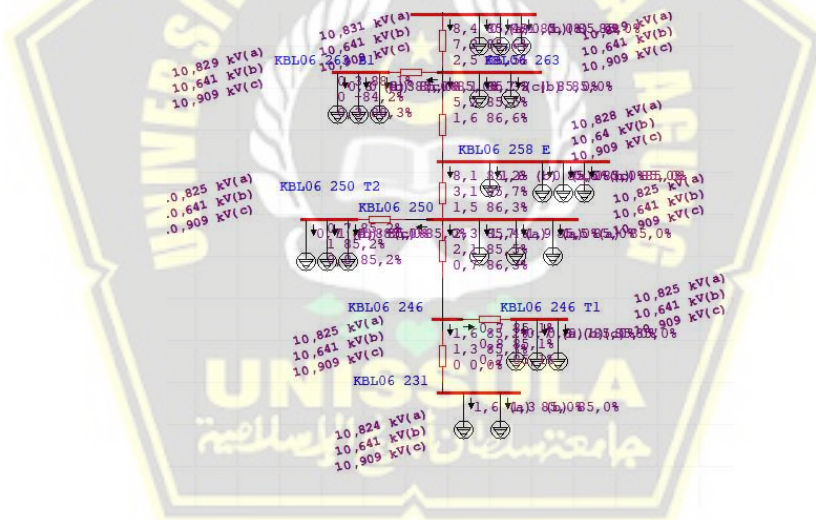
$$\Delta V_T = I_T \times Z \text{ Total} = 193,9 \text{ A} \times 0,0858 \Omega = 16,63 \text{ Volt}$$

d. Perhitungan Jatuh Tegangan Komulatif pada kondisi Rencana

Gambar 4.25 Tegangan Pangkal KBL05 Kondisi Rencana



Gambar 4.26 Tegangan Ujung KBL05 Kondisi Rencana



$$\Delta V = V_s - V_r$$

Phasa R

$$\Delta V_R = 11,730 \text{ kV} - 10,641 \text{ kV} = 1,089 \text{ kV}$$

Phasa S

$$\Delta V_S = 11,730 \text{ kV} - 10,641 \text{ kV} = 1,089 \text{ kV}$$

Phasa S

$$\Delta V_T = 11,729 \text{ kV} - 10,909 \text{ kV} = 0,820 \text{ kV}$$

4.8 Perbandingan Data Sebelum dan Sesudah Penyeimbangan Beban.

a. Perbandingan Ketidakseimbangan beban sebelum dan Sesudah

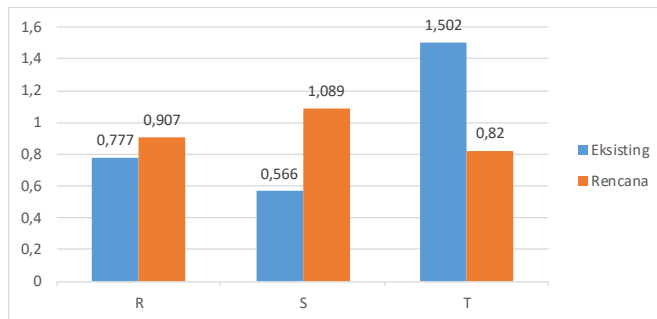
Tabel 4.15 : Tabel Perbandingan Sebelum dan Sesudah Rencana Penyeimbangan Beban

No	Section Awal	Section Akhir	%Ub	
			Eksisting	Rencana
1	PMT KBL05	RECLOSER KBL5 42	51,55%	6,27%
2	ABSW KBL42	ABSW KBL5 90	13,10%	0,72%
3	ABSW KBL5 90	ABSW KBL5 142	37,27%	6,51%
4	ABSW KBL5 142	ABSW KBL5 225	26,92%	39,88%
5	ABSW KBL5 225	ABSW KBL5 350	40,14%	38,14%
6	ABSW KBL5 350	ABSW KBL5 402	109,86%	104,46%
7	ABSW KBL5 402	ABSW KBL6 283	4,44%	8,44%
8	ABSW KBL6 283	Ujung	24,91%	36,00%
	Total		12,39%	0,33%

b. Perbandingan Drop Tegangan sebelum dan sesudah penyeimbangan.

Tabel 4.16 Perbandingan Drop Tegangan

No	Phasa	Tegangan Pangkal		Delta V		Tegangan Ujung			
		Eksisting (kV)	Rencana (kV)	Eksisting (kV)	Rencana (kV)	Eksisting (kV)	Persentase	Rencana (kV)	Persentase
1	R	11,714	11,731	0,777	0,907	10,937	6,63%	10,824	7,73%
2	S	11,753	11,73	0,566	1,089	11,187	4,82%	10,641	9,28%
3	T	11,72	11,729	1,502	0,82	10,218	12,82%	10,909	6,99%

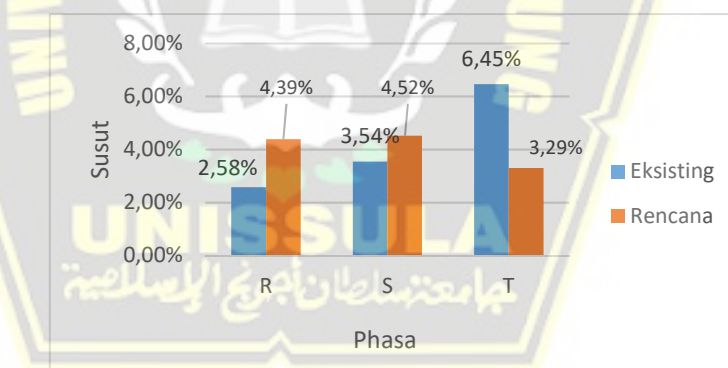


Gambar 4.27 Perbandingan Drop Tegangan

c. Perbandingan Susut Teknis sebelum dan sesudah penyeimbangan.

Tabel 4.17 Perbandingan Susut Teknis sebelum dan sesudah penyeimbangan

No	Phasa	Daya Pakai (Mega Watt)		Daya Hilang (Mega Watt)		Susut	
		Eksisting	Rencana	Eksisting	Rencana	Eksisting	Rencana
1	R	2,093	1,914	0,054	0,084	2,58%	4,39%
2	S	1,583	1,902	0,056	0,086	3,54%	4,52%
3	T	1,999	1,913	0,129	0,063	6,45%	3,29%
4	Total	5,675	5,729	0,239	0,233	4,21%	4,07%



Gambar 4.28 Perbandingan Susut Teknis sebelum dan sesudah penyeimbangan

BAB V KESIMPULAN

5.1 Kesimpulan

- a. Besarnya ketidakseimbangan pada sistem 3 Pasha 4 Kawat akan berdampak pada besarnya arus netral. Dengan Pembeban 214 A, 156 A, dan 205 A menghasilkan arus netral sebesar 63,79 A dengan Sudut 32.35 derajad dan Kedidakseimbangan beban sebesar 12,4 %
- b. Simulasi aliran daya pada Etab 12.6 dengan jenis konduktor AAC 240 mm² dan Panjang Jaringan 29.04 kms. Menghasilkan susut daya sebesar 4,21 % atau setara dengan 239 kWatt.
- c. Besarnya Arus dan Panjang Jaringan berdampak pada Penurunan Tegangan Phasa R 10,94 kV , Phasa S 11,19 kV dan Phasa T 10,2 kV dengan Delta Penurunan Tegangan masing masing Phasah 0,78 kV, 0,56 kV dan 1,50 kV.
- d. Sesuai dengan hasil simulasi penyeimbangan beban. penyulang KBL05 memiliki susut teknis sebesar 4.07 % atau setara dengan 233 kWatt dengan penurunan susut sebesar 0,14 %. Tegangan ujung penyulang meningkat dari 10,2 kV menjadi 10,6 kV dengan persentase drop tegangan turun dari 11,51% menjadi 9,28%

5.2 Saran

- a. Sifat Beban yang dimasukkan pada masing-masing beban Pelanggan dan Penyulang belum menginput besaran sifat beban sesuai dengan kondisi lapangan, Hal tersebut dikarenakan keterbatasan Alat Ukut yang digunakan. Power Faktor yang digunakan menggunakan nilai 85%.

- b. Perlu dilakukan monitoring terhadap ketidak seimbangan beban terutama saat melakunan penyambungan Trafo 1 Phasa baru di Jaringan 3 Phasa.
- c. Tegangan Jatuh masih diatas 5 % yaitu 9,28 %. Perlu dikalukan analisa pembagian beban dengan rekonfigurasi jaringan dan penambahan penyulang baru untuk pemecah beban penyulang KBL05.



DAFTAR PUSTAKA

- [1] Perusahaan Umum Listrik Negara, “SPLN 72 : 1987 Spesifikasi Desain untuk Jaringan Tegangan Menengah (JTM) dan Jaringan Tegangan Rendah (JTR), Lampiran Surat Keputusan Direksi PLN No.060/DIR/87 tanggal 4 Juli 1987,” *Dep. Pertamb. dan Energi*, p. 15, 1987, [Online]. Available: <http://www.pln-litbang.co.id/perpustakaan>.
- [2] E. Prasetio, “Rugi Rugi Daya Akibat Beban Tidak Seimbang Penyulang RWO 03 Gardu Induk Rawalo,” 2019.
- [3] E. Hadiyanto, “Reduksi Drop Voltage Penyulang JPR05 DAN JPR10 dengan Pembangunan Penyulang Baru.” 2020.
- [4] Z. Abdul Aziz, “Perhitungan Jatuh Tegangan Pda JTM dari TBL06 sampai ke Ujung dengan menggunakan Aplikasi ETAP di PT. PLN (PERSEERO) UP3 SEMARANG,” 2017.
- [5] Suhadi and T. Wrahatnolo, *Teknik Distribusi Tenaga Listrik*, vol. 53, no. 9. 2008.
- [6] Ir. Badruddin, *Modul II Sistem Distribusi*. Bengkulu, 2013.
- [7] Perusahaan Umum Listrik Negara, “Spln 64 : 1985 Petunjuk Pemilihan dan Penggunaan Pelebur pada Sistem Distribusi Tegangan Menengah,” *Dep. Pertamb. dan Energi*, p. 64, 1985, [Online]. Available: <http://www.pln-litbang.co.id/perpustakaan>.
- [8] Gassing and I. Jaya, “Optimalisasi pembebanan transformator distribusi dengan penyeimbangan beban,” *Pros. Has. Penelit. Fak. Tek. Univ. Hasanuddin*, vol. 7, pp. 978–979, 2013.
- [9] Willian D. Stevenson. JR, *Analisa Sistem Tenaga edisi ke 4*. Jakarta: Erlangga, 1996.
- [10] PT. PLN, “SPLN 1 : 1995 Standar-Standar Tegangan,” *Standar Perusah. List. Negara*, p. 5, 1995.

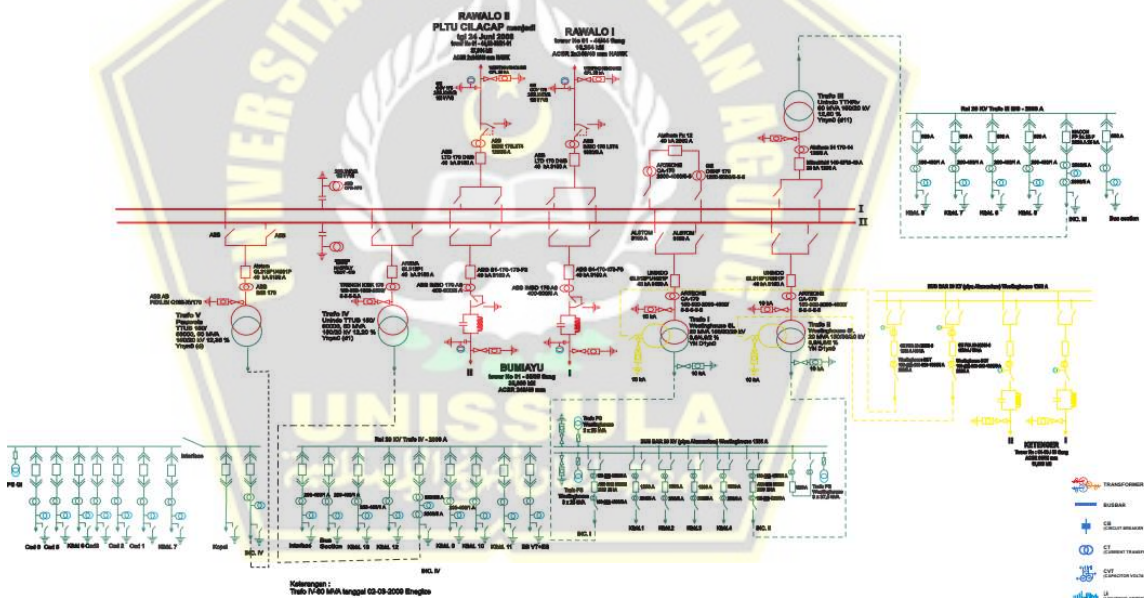
- [11] B. L. Tobing, *Peralatan Tegangan Tinggi Edisi 1*. PT. Gramedia Pustaka Utama, 2003.
- [12] H. Eirene Patoding, *Energi dan Operasi Tenaga Listrik dengan ETAP*. CV. Budi Utama, 2019.



LAMPIRAN LAMPIRAN

No.	Bus	GI/GITET	UP2B	TEG	Impedansi Urutan Positif		Impedansi Urutan Negatif		Impedansi Urutan Nol		Arus Hubung Singkat	
				kV	R1(pu)	X1(pu)	R2(pu)	X2(pu)	R0(pu)	X0(pu)	1ph(kA)	3ph(kA)
585	1	GODEAN	UP2B Jawa Tengah & DIY	150	0,0084	0,0540	0,0084	0,0541	0,0253	0,1138	5,62	7,73
586	2	GODEAN	UP2B Jawa Tengah & DIY	150	0,0084	0,0540	0,0084	0,0541	0,0253	0,1138	5,62	7,73
587	I	GOMBONGS	UP2B Jawa Tengah & DIY	150	0,0101	0,0388	0,0101	0,0401	0,0199	0,0887	7,36	10,54
588	II	GOMBONGS	UP2B Jawa Tengah & DIY	150	0,0101	0,0388	0,0101	0,0401	0,0199	0,0887	7,36	10,54
589	1	GONDANGREJO	UP2B Jawa Tengah & DIY	150	0,0063	0,0421	0,0063	0,0421	0,0163	0,0740	7,88	9,92
590	2	GONDANGREJO	UP2B Jawa Tengah & DIY	150	0,0063	0,0421	0,0063	0,0421	0,0163	0,0740	7,88	9,92
591	1	JAJAR	UP2B Jawa Tengah & DIY	150	0,0022	0,0303	0,0022	0,0303	0,0077	0,0385	12,69	13,91
592	2	JAJAR	UP2B Jawa Tengah & DIY	150	0,0022	0,0303	0,0022	0,0303	0,0077	0,0385	12,69	13,91
593	1	JEKULOS	UP2B Jawa Tengah & DIY	150	0,0028	0,0205	0,0030	0,0208	0,0091	0,0408	15,16	20,37
594	2	JEKULOS	UP2B Jawa Tengah & DIY	150	0,0028	0,0205	0,0030	0,0208	0,0091	0,0408	15,16	20,37
595	1	JELOK	UP2B Jawa Tengah & DIY	150	0,0055	0,0298	0,0055	0,0300	0,0089	0,0310	13,63	13,94
596	2	JELOK	UP2B Jawa Tengah & DIY	150	0,0055	0,0298	0,0055	0,0300	0,0089	0,0310	13,63	13,94
597	1	JEPARA	UP2B Jawa Tengah & DIY	150	0,0028	0,0175	0,0028	0,0177	0,0080	0,0309	18,74	23,73
598	2	JEPARA	UP2B Jawa Tengah & DIY	150	0,0028	0,0175	0,0028	0,0177	0,0080	0,0309	18,74	23,73
599	1	KALIBAKAL	UP2B Jawa Tengah & DIY	150	0,0037	0,0266	0,0036	0,0275	0,0030	0,0284	15,25	15,75
600	2	KALIBAKAL	UP2B Jawa Tengah & DIY	150	0,0037	0,0266	0,0036	0,0275	0,0030	0,0284	15,25	15,75
601	1	KALISARI	UP2B Jawa Tengah & DIY	150	0,0024	0,0188	0,0024	0,0194	0,0052	0,0219	20,76	22,26
602	2	KALISARI	UP2B Jawa Tengah & DIY	150	0,0024	0,0188	0,0024	0,0194	0,0052	0,0219	20,76	22,26
603	1	KALIWUNGU	UP2B Jawa Tengah & DIY	150	0,0042	0,0233	0,0042	0,0238	0,0104	0,0353	14,98	17,79
604	2	KALIWUNGU	UP2B Jawa Tengah & DIY	150	0,0042	0,0233	0,0042	0,0238	0,0104	0,0353	14,98	17,79
605	1	KEBASEN	UP2B Jawa Tengah & DIY	150	0,0144	0,0556	0,0143	0,0561	0,0364	0,1488	4,72	7,36
606	2	KEBASEN	UP2B Jawa Tengah & DIY	150	0,0065	0,0559	0,0067	0,0588	0,0249	0,1279	5,17	7,52
607	1	KEBUMEN	UP2B Jawa Tengah & DIY	150	0,0170	0,0594	0,0172	0,0614	0,0324	0,1442	4,64	6,84
608	1	KEDUNG OMBO	UP2B Jawa Tengah & DIY	150	0,0102	0,0444	0,0102	0,0446	0,0166	0,0908	6,91	9,28
609	2	KEDUNG OMBO	UP2B Jawa Tengah & DIY	150	0,0102	0,0444	0,0102	0,0446	0,0166	0,0908	6,91	9,28
610	1	KENTUNGAN	UP2B Jawa Tengah & DIY	150	0,0040	0,0412	0,0040	0,0412	0,0160	0,0752	7,96	10,23
611	2	KENTUNGAN	UP2B Jawa Tengah & DIY	150	0,0040	0,0412	0,0040	0,0412	0,0160	0,0752	7,96	10,23

Lampiran 1 : Arus Hubung Singkat GI/GITET Sistem Jawa Bali Semester 1 Tahun 2020



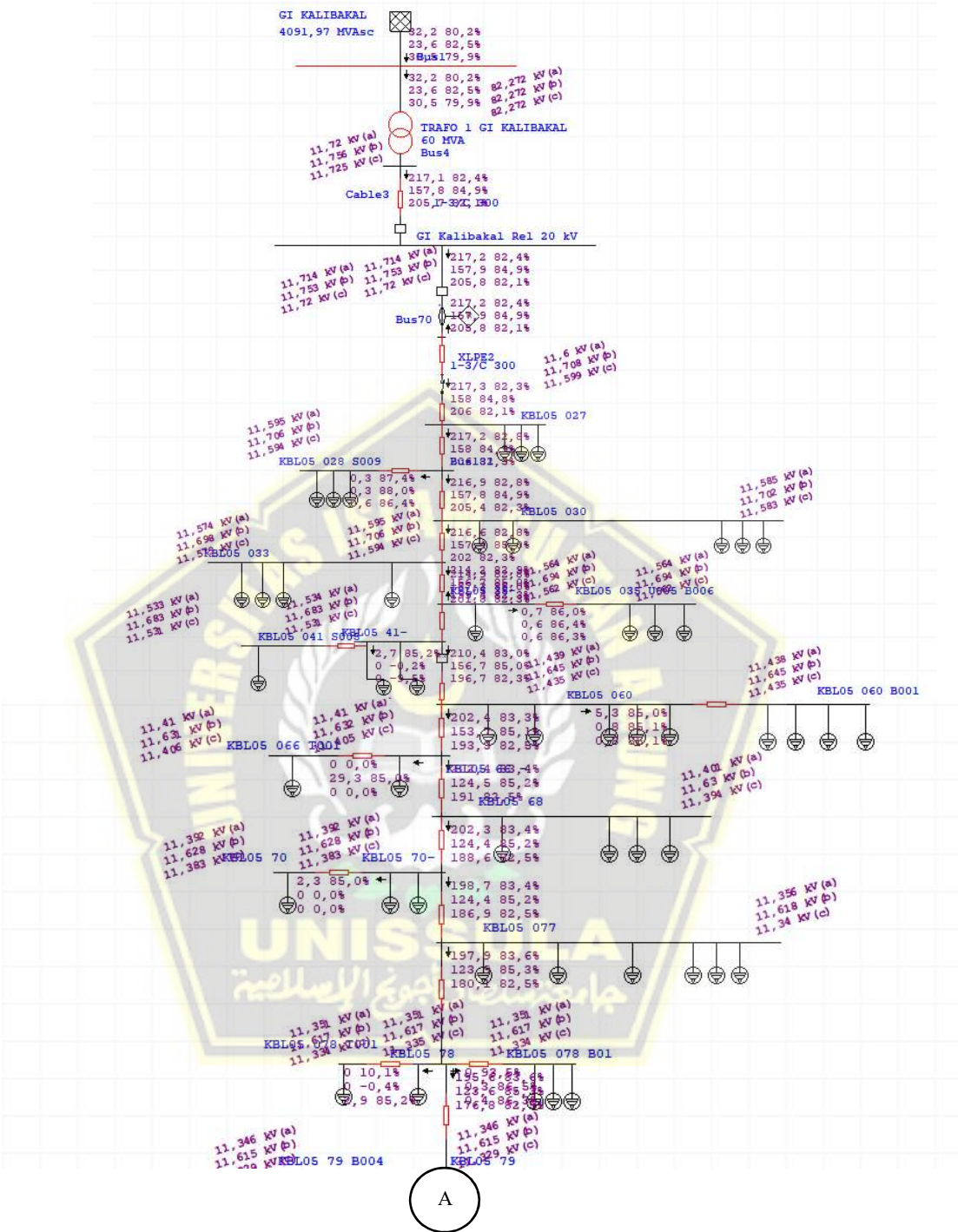
Lampiran 2 : Single Line Diagram Gardu Induk Kalibakal

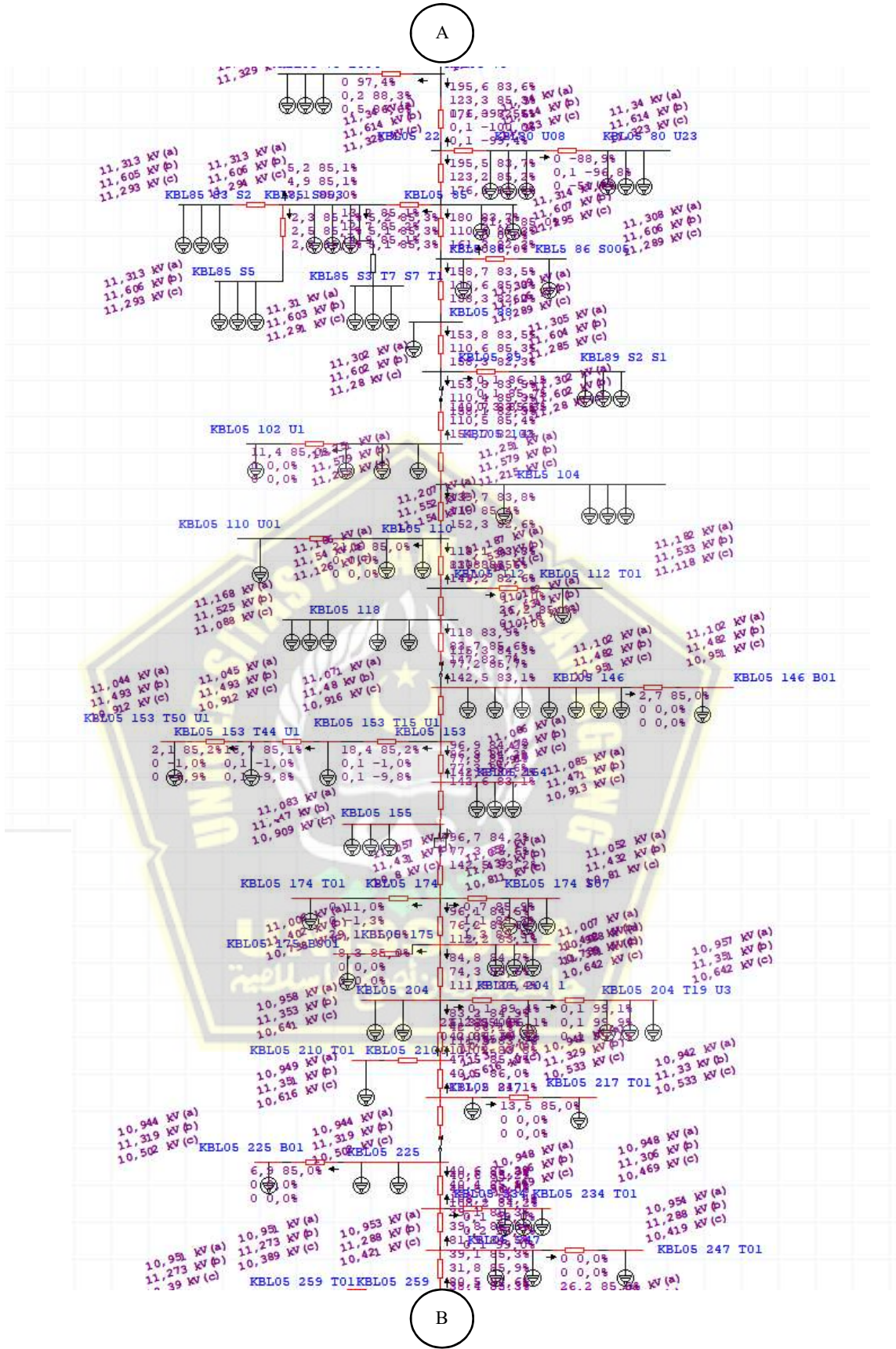


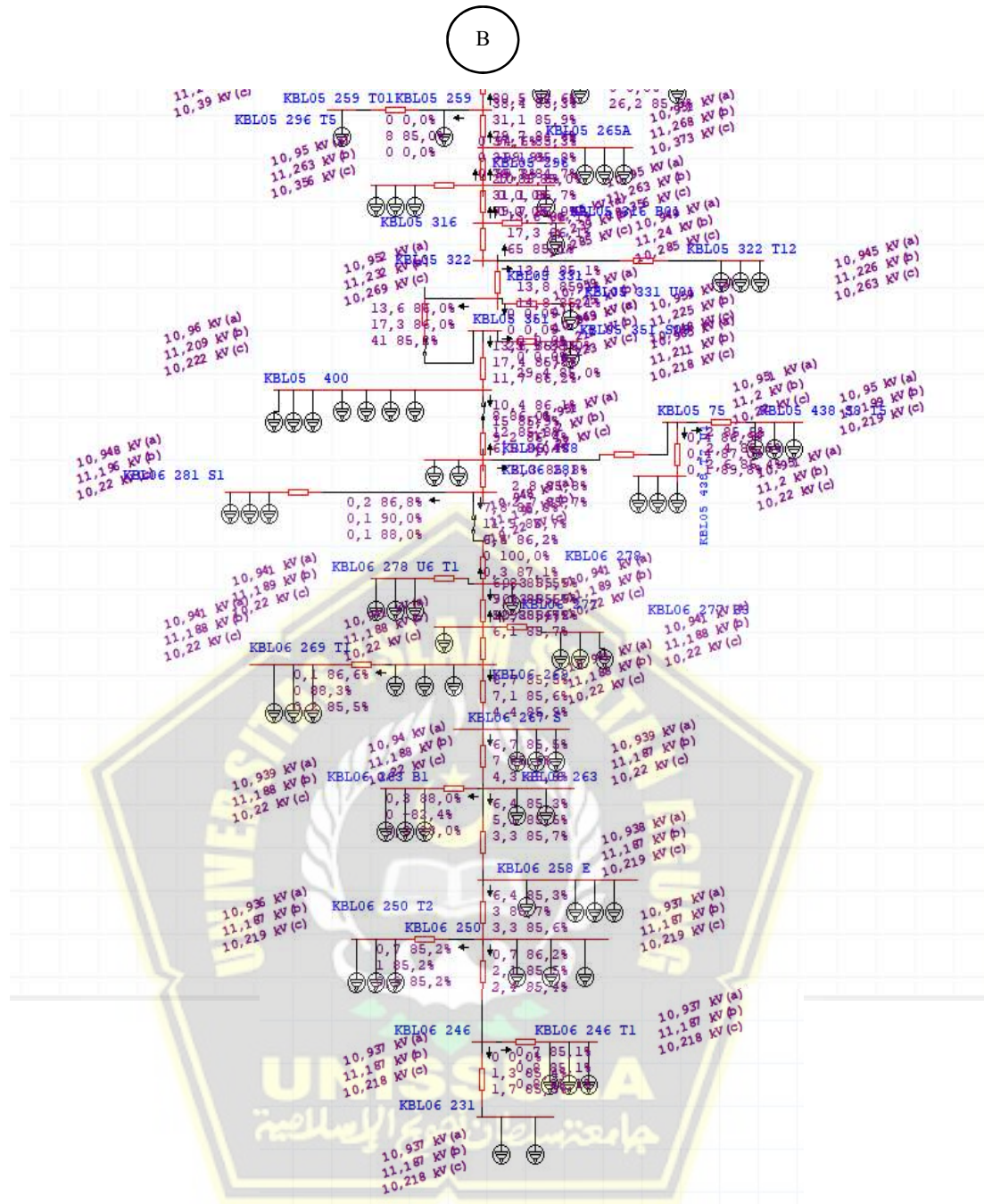
Lampiran 3 : Trafo Tenaga 60 MVA



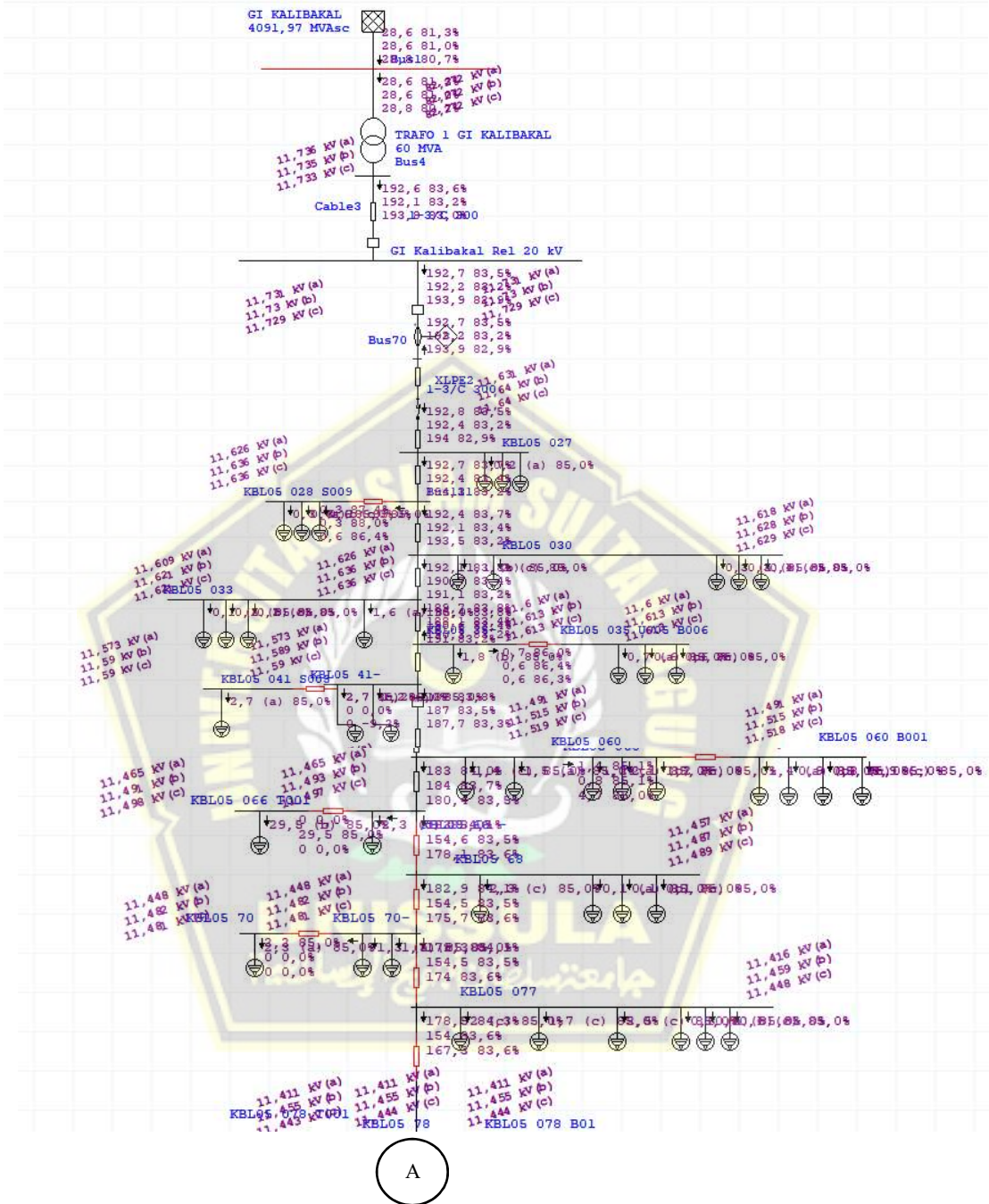
Lampiran 3 : Namplate Trafo Tenaga 60 MVA

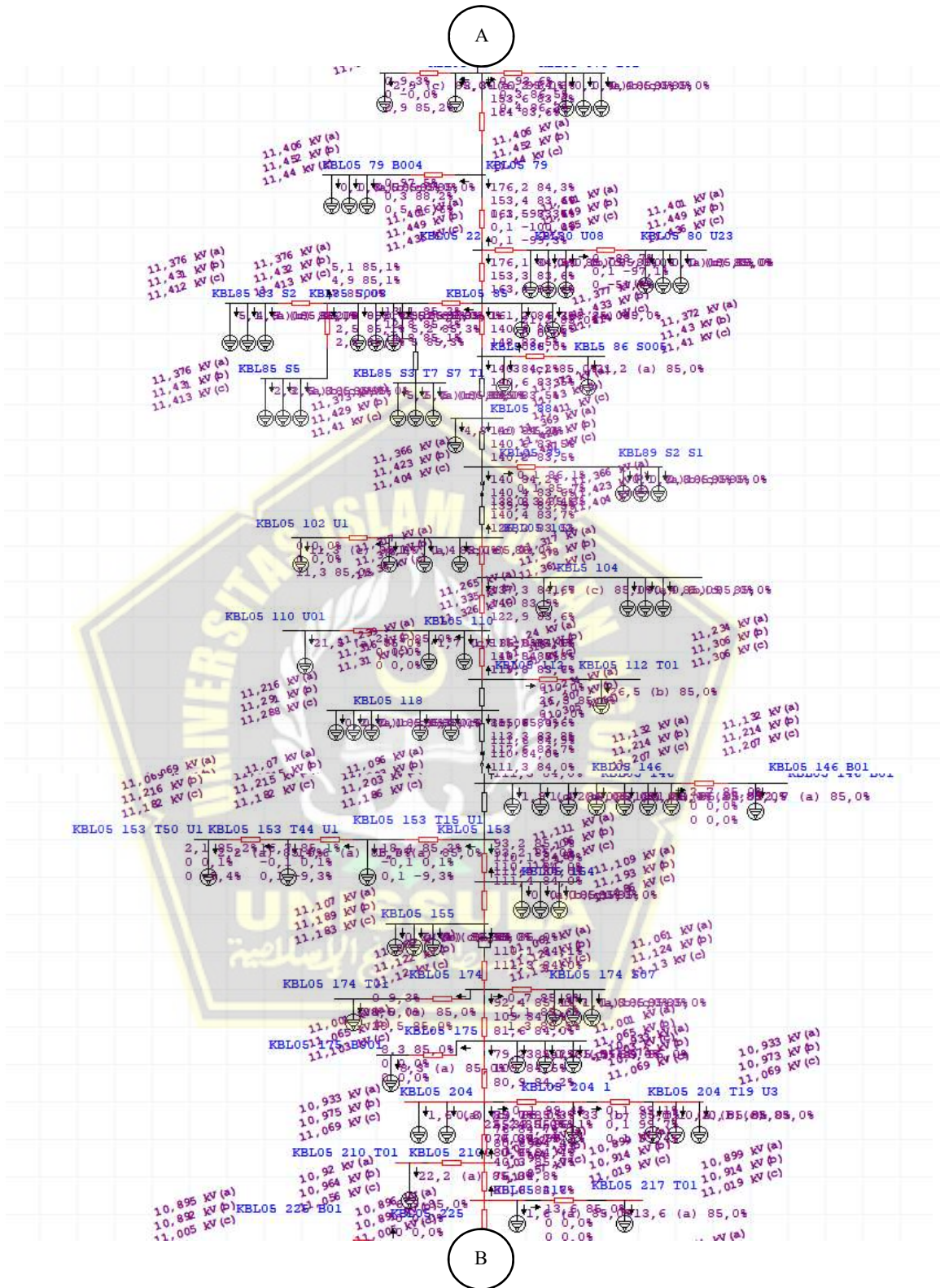


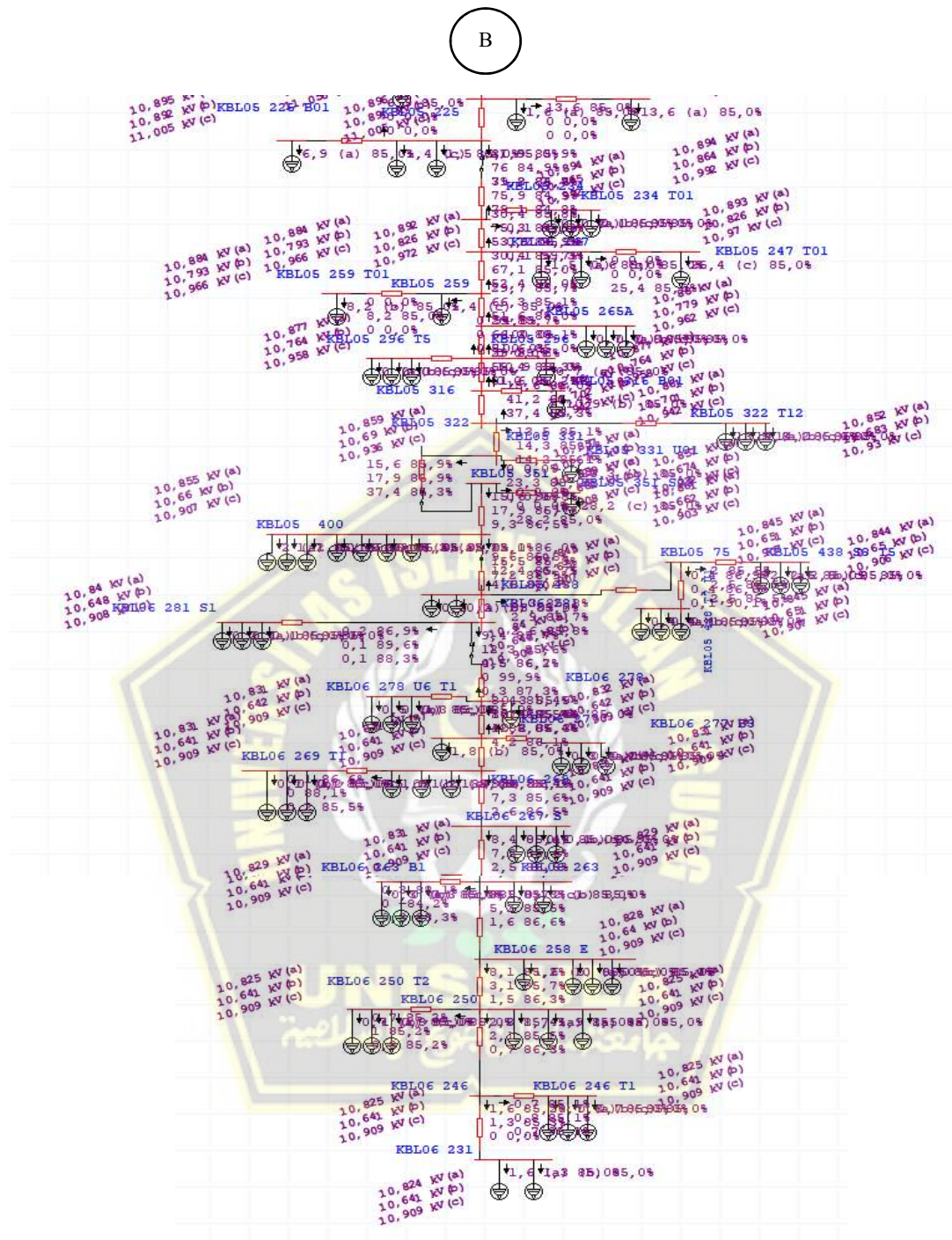




LAMPIRAN 5 : Unbalance Load Flow Analisis Sebelum Penyeimbangan







LAMPIRAN 6 : Unbalance Load Flow Analisis Remcana Penyeimbangan